

Chapter 5

مجموع کانولوشن

$$y[n] = \sum_{k=-\infty}^{+\infty} x[k] h[n-k]$$

خارجی سیستم \rightarrow $x[k]$
 داخلی سیستم \rightarrow $h[n-k]$
 پاسخ ضربه \rightarrow $h[n-k]$

فصل پنجم: کانولوشن و تبدیل سیستم های LTI :
Transform Analysis

$\xrightarrow{\text{تبدیل } Z}$ $Y(z) = X(z) H(z)$ تابع سیستم system function

DTFT $\xrightarrow{\text{تبدیل فورييه}}$ $Y(e^{j\omega}) = X(e^{j\omega}) H(e^{j\omega})$

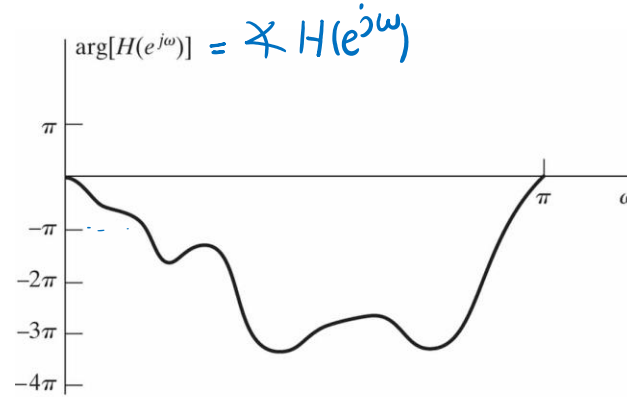
\rightarrow پاسخ فرکانسی

5.1: پاسخ فرکانسی سیستم های LTI:

اندازه $|Y(e^{j\omega})| = |H(e^{j\omega})| |X(e^{j\omega})|$
 فاز $\angle Y(e^{j\omega}) = \angle H(e^{j\omega}) + \angle X(e^{j\omega})$

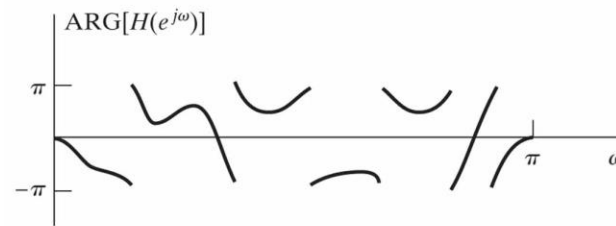
Figure 5.1 (a) Continuous-phase curve for a system function evaluated on the unit circle. (b) Principal value of the phase curve in part (a). (c) Integer multiples of 2π to be added to $\text{ARG}[H(e^{j\omega})]$ to obtain $\arg[H(e^{j\omega})]$.

فاز پیوسته



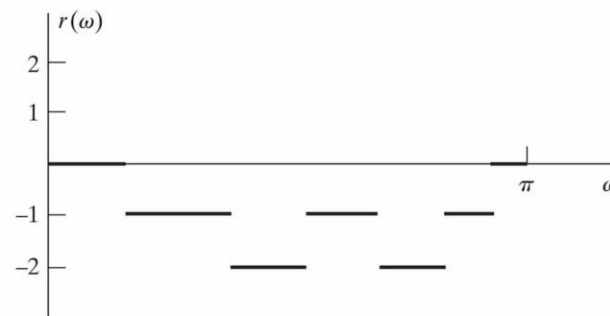
(a)

$$\angle H(e^{j\omega}) = \text{ARG}[H(e^{j\omega})] + 2\pi r(\omega)$$



(b)

$$-\pi \leq \text{ARG}[H(e^{j\omega})] < \pi$$



(c)

group delay

تأخیر گروهی: Group Delay

$$\tau(\omega) = \text{grad}[H(e^{j\omega})] = -\frac{d}{d\omega} \left\{ \arg[H(e^{j\omega})] \right\}$$

$$|H(e^{j\omega})| = 1$$

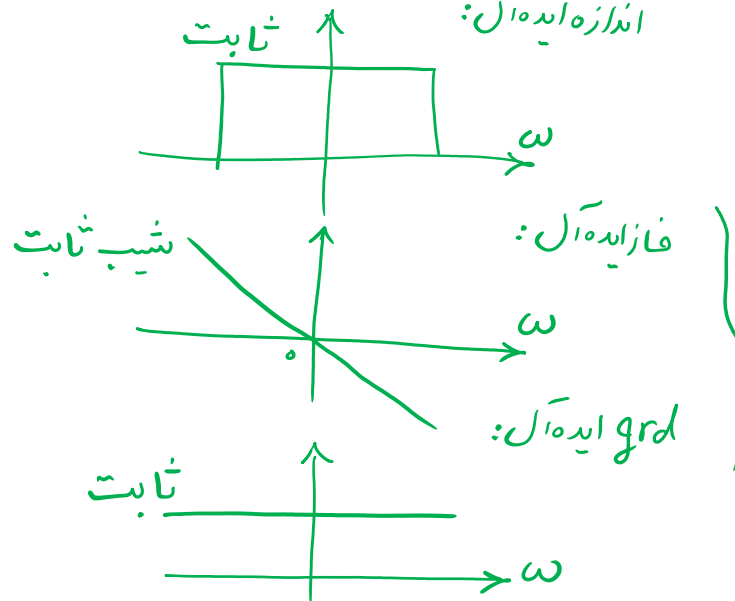
مثال: سیستم تأخیر ایده‌آل: $h_{id}[n] = \delta[n - n_d]$

$$H(e^{j\omega}) = e^{-j\omega n_d} \rightarrow \angle H(e^{j\omega}) = -\omega n_d$$

$$\tau(\omega) = -\frac{d}{d\omega} (-\omega n_d) = \underline{n_d} \quad \text{واحد: Samples نموده}$$

اندازه ایده‌آل:

سیستم ایده‌آل:



آنالیز $H(z)$: این فصل
 پیاده سازی $H(z)$: فصل ۶
 طراحی $H(z)$: فصل ۷

مثال: سیستم $LT I$ با $H(z)$ رابطه زیر:

نمودار صفر و قطب:

$$H(z) = \underbrace{\left(\frac{(1 - .98e^{j.8\pi} z^{-1})(1 - .98e^{-j.8\pi} z^{-1})}{(1 - .8e^{j.4\pi} z^{-1})(1 - .8e^{-j.4\pi} z^{-1})} \right)}_{H_1(z)} \prod_{k=1}^4 \underbrace{\left(\frac{(c_k^* - z^{-1})(c_k - z^{-1})}{(1 - c_k z^{-1})(1 - c_k^* z^{-1})} \right)^2}_{H_2(z)} \quad (15)$$

$$c_k = 0.95 e^{j(0.15\pi + 0.2\pi k)} \quad k=1,2,\dots,4$$

Figure 5.2 Pole-zero plot for the filter in the example of Section 5.1.2. (The number 2 indicates double-order poles and zeroes.)

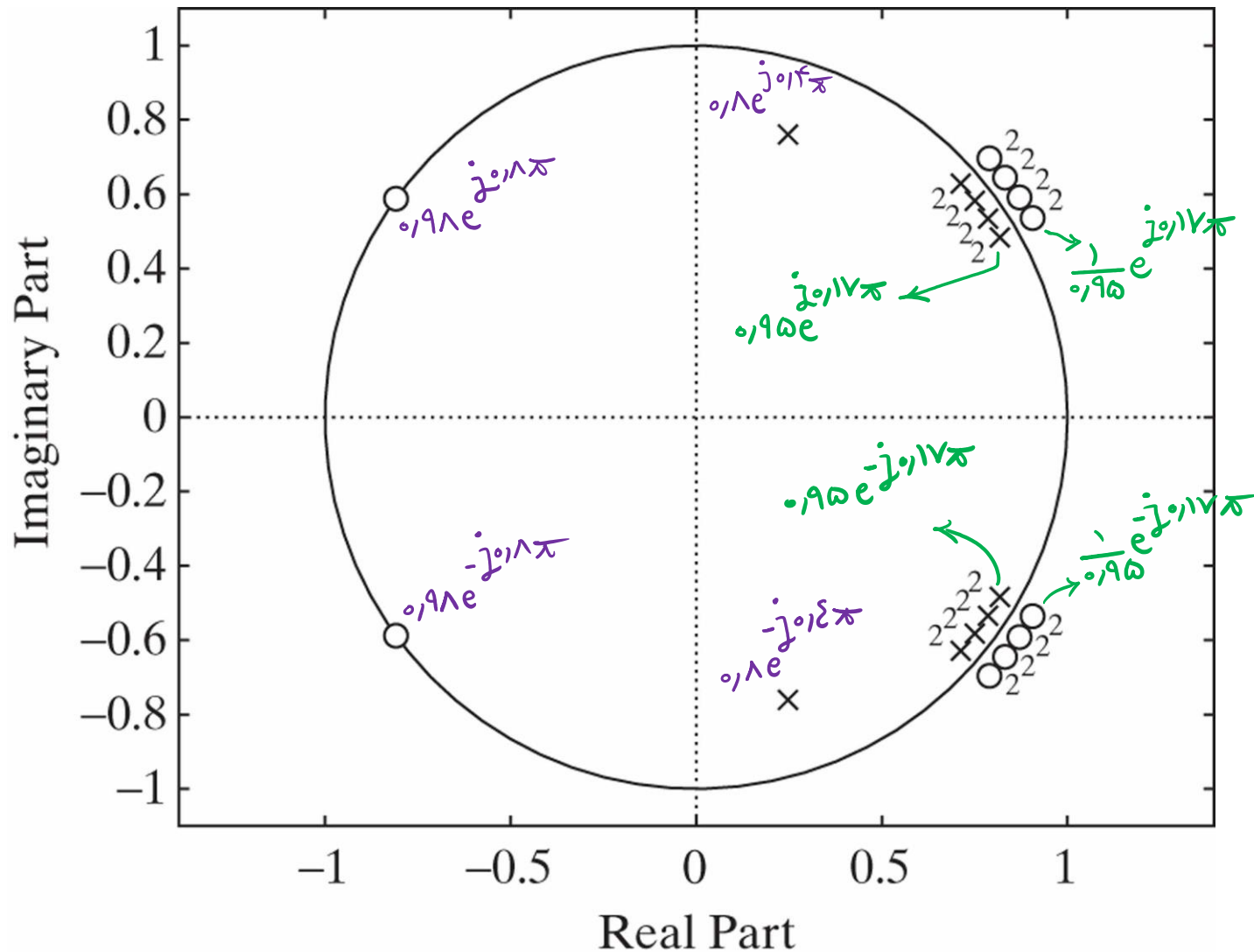
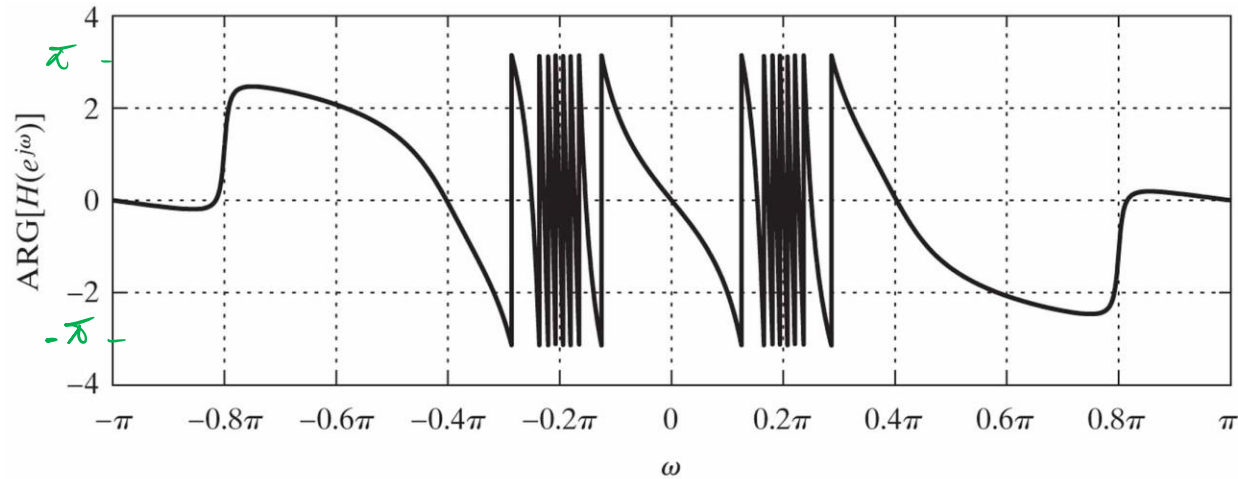
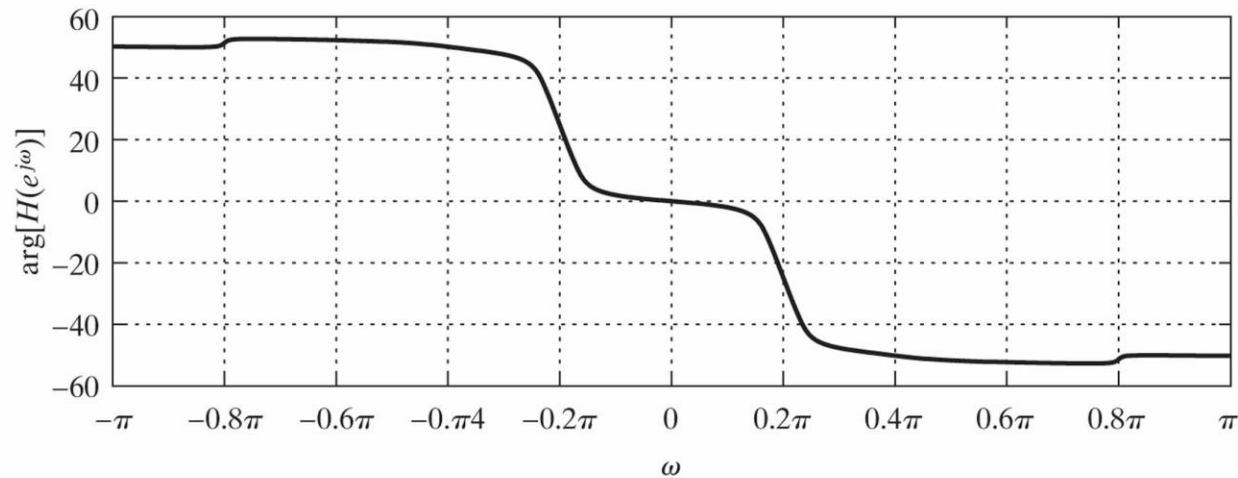


Figure 5.3 Phase response functions for system in the example of Section 5.1.2; (a) Principal value phase, $\text{ARG}[H(e^{j\omega})]$, (b) Continuous phase $\arg[H(e^{j\omega})]$.

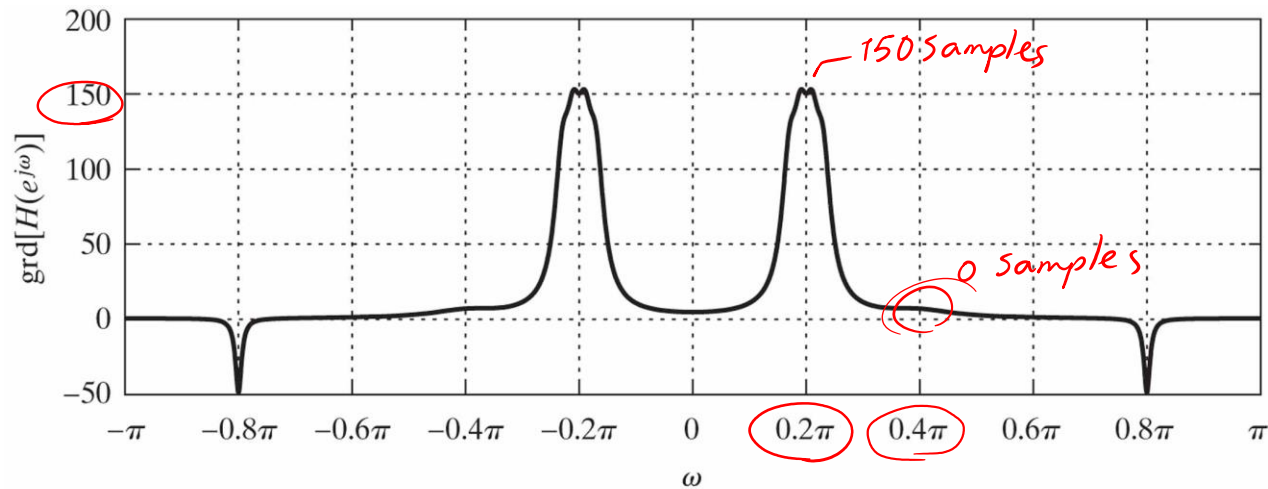


(a) Principle Value of Phase Response

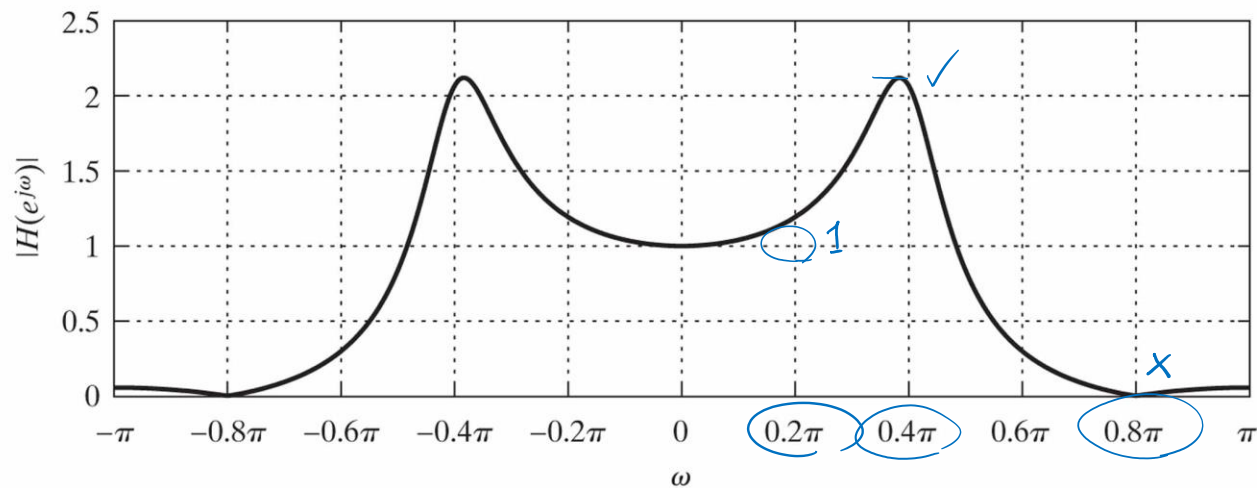


(b) Unwrapped Phase Response

Figure 5.4 Frequency response of system in the example of Section 5.1.2; (a) Group delay function, $\text{grd}[H(e^{j\omega})]$, (b) Magnitude of frequency response, $|H(e^{j\omega})|$.



(a) Group delay of $H(z)$



(b) Magnitude of Frequency Response

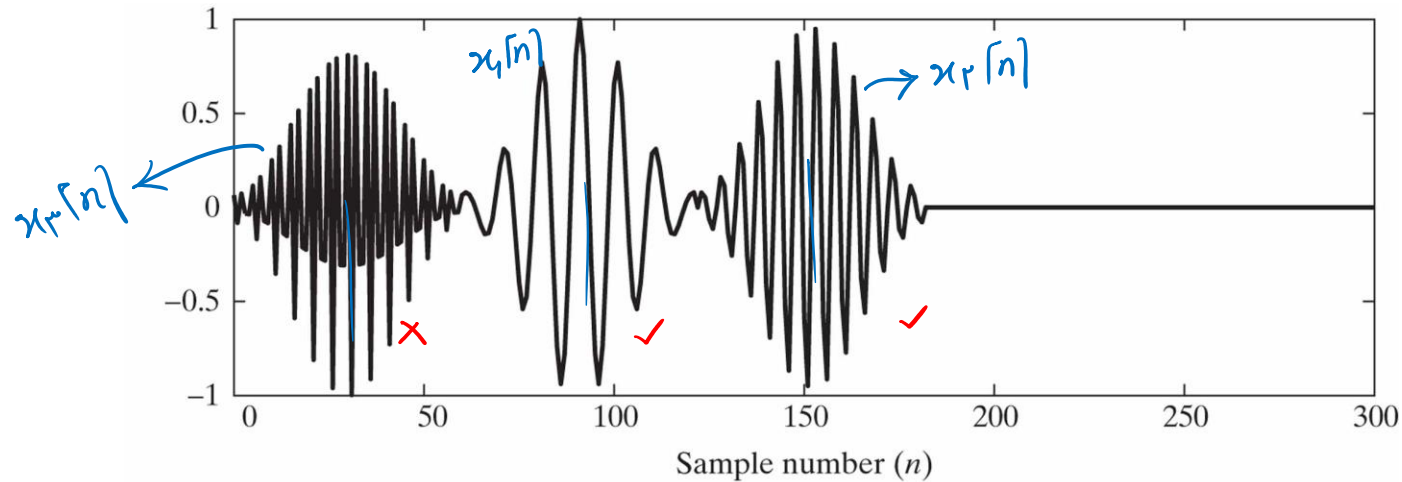
تأخیر گروهی
 $\text{grd}[H(e^{j\omega})]$

$|H(e^{j\omega})|$

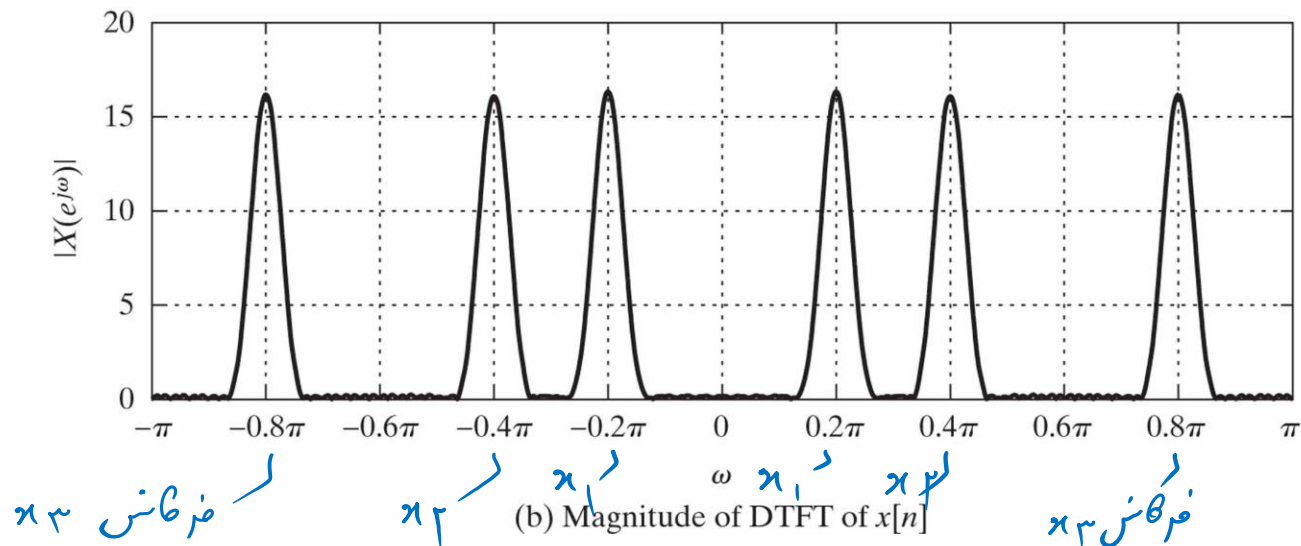
$$x_1[n] = w[n] \cos(0.1\pi n) \quad , \quad x_2[n] = w[n] \cos(0.18\pi n + \frac{\pi}{6})$$

$$x_3[n] = w[n] \cos(0.2\pi n - \frac{\pi}{6})$$

Figure 5.5 Input signal for example of Section 5.1.2; (a) Input signal $x[n]$, (b) Corresponding DTFT magnitude $|X(e^{j\omega})|$.

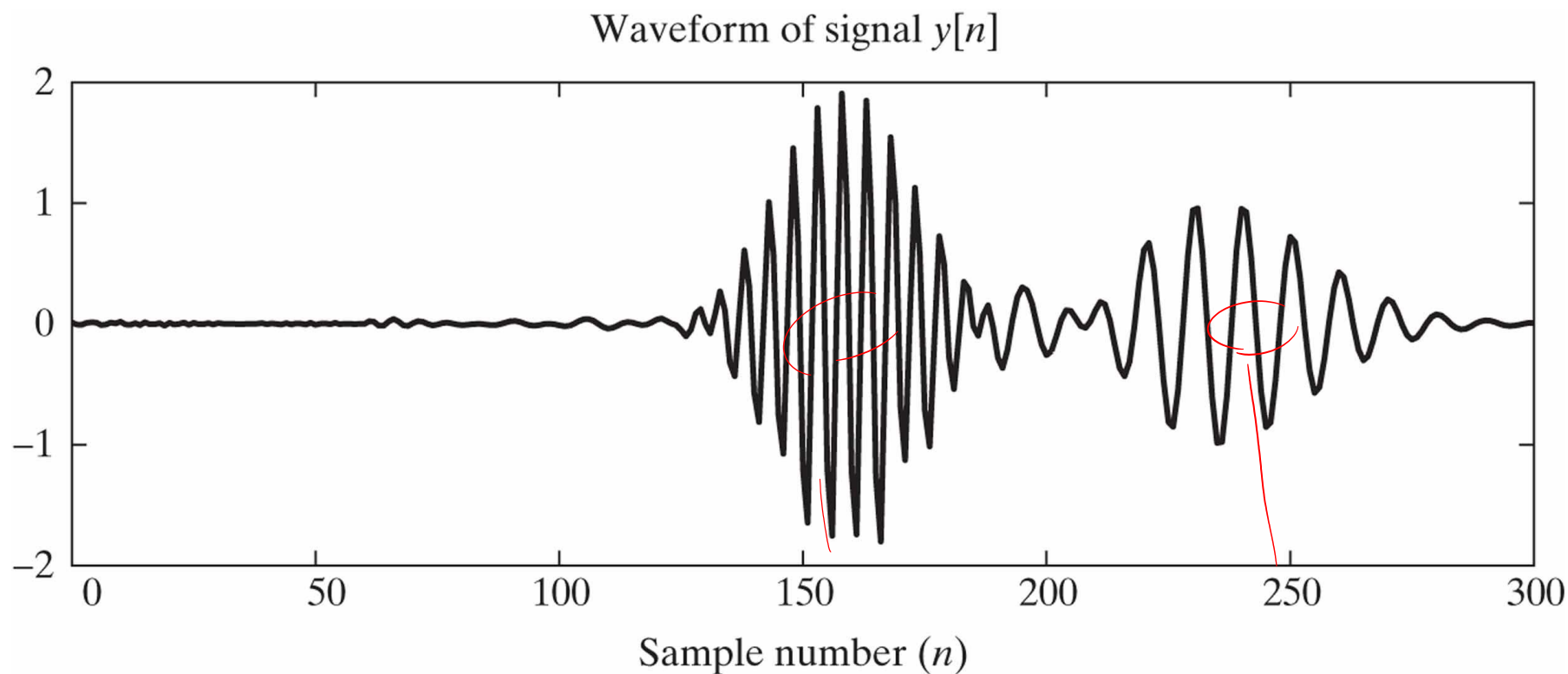


(a) Waveform of signal $x[n]$



(b) Magnitude of DTFT of $x[n]$

Figure 5.6 Output signal for the example of Section 5.1.2.



5.2 سیستم‌های توصیف شونده با معادلات تفاضلی خطی با ضرایب ثابت :

$$\sum_{k=0}^{\infty} a_k y[n-k] = \sum_{k=0}^M b_k x[n-k]$$

$$\xrightarrow{\mathcal{Z}} H(z) = \frac{Y(z)}{X(z)} = \frac{\sum_{k=0}^M b_k z^{-k}}{\sum_{k=0}^{\infty} a_k z^{-k}}$$

$$= \left(\frac{b_0}{a_0} \right) \frac{\prod_{k=1}^M (1 - c_k z^{-1})}{\prod_{k=1}^{\infty} (1 - d_k z^{-1})}$$

$$H(z) = \frac{(1+z^{-1})^2}{(1-\frac{1}{r}z^{-1})(1+\frac{r}{\lambda}z^{-1})} = \frac{Y(z)}{X(z)}$$

$$\frac{1+r z^{-1} + z^{-2}}{1+\frac{1}{r}z^{-1} - \frac{r}{\lambda}z^{-2}} = \frac{Y(z)}{X(z)}$$

$$\xrightarrow{z^{-1}} y[n] + \frac{1}{r}y[n-1] - \frac{r}{\lambda}y[n-2] = x[n] + rx[n-1] + x[n-2]$$

5.2.1 پایداری و علی بودن :

پایداری $\sum_{n=-\infty}^{+\infty} |h[n]| < \infty$

دایره واحد $\rightarrow |z|=1$

بسیل z $\sum_{n=-\infty}^{+\infty} |h[n] z^{-n}| < \infty$

– شرط پایداري: ROC تابع سیستم شامل دایره واحد باشد.

– شرط علی بودن: ROC راسته راستی باشد (خارج از بیرونی ترین قطب)

علی و پایدار \leftarrow اگر تمام قطبهای سیستم داخل دایره واحد باشد.

Figure 5.7 Pole-zero plot for Example 5.2.

Unit circle

Im

z-plane

$$y[n] - \frac{\omega}{r} y[n-1] + y[n-2] = x[n]$$

مش:

z

$$H(z) = \frac{1}{1 - \frac{\omega}{r} z^{-1} + z^{-2}}$$

$$= \frac{1}{(1 - \frac{1}{r} z^{-1})(1 - rz^{-1})}$$

ROC:

پایین: $\frac{1}{r} < |z| < r$
 علی: $|z| > r$

نمی تواند علی و پایدار باشد زیرا
 قطب خارج از دایره واحد دارد.

$\frac{1}{2}$

2

Re

$$H(z) = \frac{z^2}{z^2 - \frac{\omega}{r} z + 1}$$

صفرها $\Rightarrow z = 0^*$

قطبها $\Rightarrow z = r, \frac{1}{r}$

2.2 سیستم‌های معکوس:

$$\text{همانی} \quad G(z) = H(z)H_i(z) = 1$$

$$H_i(z) = \frac{1}{H(z)}$$

$$g[n] = h[n] * h_i[n] = \delta[n]$$

$$H_i(e^{j\omega}) = \frac{1}{H(e^{j\omega})}$$

Coq اندازه، فاز، و تأخیر گروهی برای سیستم وارون، منفی این مقدار برای سیستم اصلی است.

$$H(z) = \left(\frac{b_0}{a_0}\right) \frac{\prod_{k=1}^M (1 - c_k z^{-1})}{\prod_{k=1}^N (1 - d_k z^{-1})}$$

علی

$$\rightarrow H_i(z) = \left(\frac{a_0}{b_0}\right) \frac{\prod_{k=1}^N (1 - d_k z^{-1})}{\prod_{k=1}^M (1 - c_k z^{-1})}$$

قطبها به صفر و

صفرها به قطب

تبدیل می شوند.

$$ROC: |z| > \max_k |d_k|$$

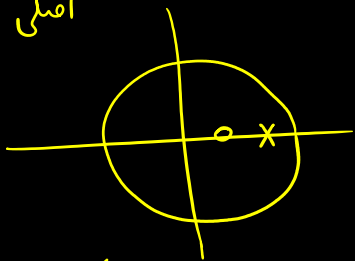
ROC: هر ناحیه گمگونی که با ROC سیستم اصلی هم پوشانی داشته باشد.

مثال:

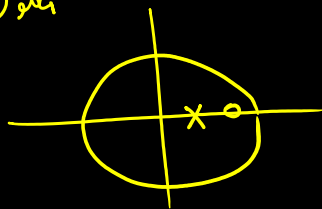
علی و پایدار $|z| > 0.9$;

$$H(z) = \frac{1 - 0.5z^{-1}}{1 - 0.9z^{-1}}$$

اصلی



مکسوس



$$H_i(z) = \frac{1 - 0.9z^{-1}}{1 - 0.5z^{-1}}$$

علی و پایدار $|z| > 0.5$;

$$h_i[n] = (0.5)^n u[n] - 0.9(0.5)^{n-1} u[n-1]$$

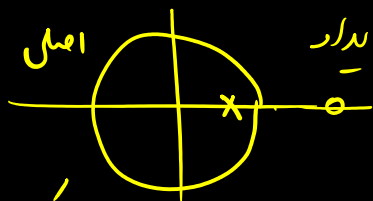
مثال:

$|z| > 0.9$;

$$H(z) = \frac{z^{-1} - 0.5}{1 - 0.9z^{-1}}$$

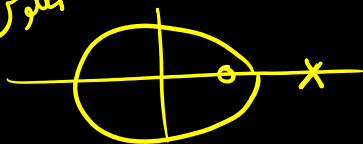
علی و پایدار

اصلی



علی و پایدار

مکسوس



$$H_i(z) = \frac{1 - 0.9z^{-1}}{z^{-1} - 0.5}$$

$$|z| > 2 \rightarrow h_i[n] = -2(2)^n u[n] + 1.8(2)^{n-1} u[n-1]$$

$$H_i(z) = \frac{-2 + 1.8z^{-1}}{1 - 2z^{-1}} \leftarrow x=2$$

$$|z| < 2 \rightarrow h_i[n] = 2(2)^n u[-n-1] - 1.8(2)^{n-1} u[-n]$$

غیر علی و پایدار

نکته مهم: برای اینکه سیستم مکسوس علی و پایدار باشد باید صفوهای سیستم اصل نیز داخل دایره واحد باشند.

سَم minimum-phase کمینه فاز :

سَمی است که هم خود سَم و هم وارون آن علی و باید در باشند.

شرح : هم صفرها و قطبهای سَم باید داخل دایره واحد باشند

5.2.3 پایخ ضربه تابع سیستم های گویا :

$$H(z) = \sum_{r=0}^{M-N} B_r z^{-r} + \sum_{k=1}^N \frac{A_k}{1 - d_k z^{-k}} \quad \text{دسته سیستم های IIR : نامتناهی}$$

$$z^{-1} \rightarrow h[n] = \sum_{r=0}^{M-N} B_r \delta[n-r] + \sum_{k=1}^N A_k d_k^n u[n]$$

جمعه اول تنها زمانی محدود شود $M > N$ باشد

دسته سیستم های FIR : محدود

$$H(z) = \sum_{k=0}^M b_k z^{-k}$$

$$z^{-1} \rightarrow h[n] = \sum_{k=0}^M b_k \delta[n-k] = \begin{cases} b_n ; & 0 \leq n \leq M \\ 0 ; & \text{o.w.} \end{cases}$$

همواره پایدار

شکل از FIR :

$$h[n] = \begin{cases} a^n & ; \quad 0 \leq n \leq M \\ 0 & ; \quad \text{o.w.} \end{cases}$$

$$\mathcal{Z} \rightarrow H(\mathcal{Z}) = \sum_{n=0}^M a^n \mathcal{Z}^{-n} = \frac{1 - a^{M+1} \mathcal{Z}^{-M-1}}{1 - a \mathcal{Z}^{-1}}$$

$$\mathcal{Z}^{M+1} = a \quad \rightarrow \quad \mathcal{Z}_k = a e^{j \frac{2\pi k}{M+1}} \quad ; \quad k=0, 1, 2, \dots, M$$

مقرها : ریشه های صریح :

صفر در $\mathcal{Z} = a$ با قطب در $\mathcal{Z} = a$ حذف می شود.

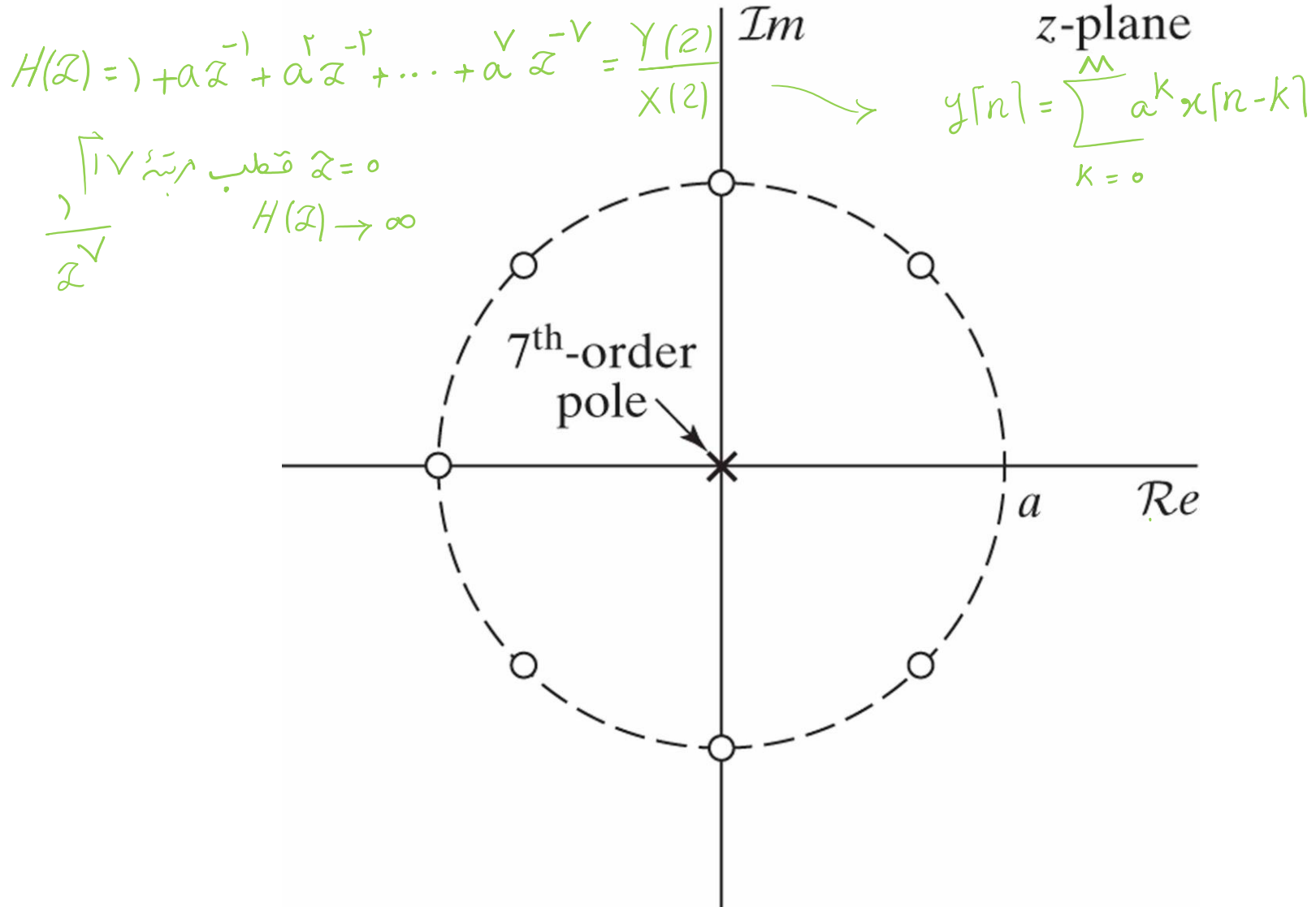
در نتیجه M صفر خواهیم داشت.

شکل برای $M=7$ است.

$$\text{و به } \begin{cases} y[n] - a y[n-1] = x[n] - a^{M+1} x[n-M-1] \\ y[n] = \sum_{k=0}^M a^k x[n-k] \end{cases}$$

سیستم FIR به استی قطب در صفر یا ∞ ، قطب دیگری ندارد.

Figure 5.8 Pole-zero plot for Example 5.5.



5.3: پاسخ فرکانسی برای تابع سیستم گویا:

$$H(e^{j\omega}) = \frac{\sum_{k=0}^M b_k e^{-j\omega k}}{\sum_{k=0}^N a_k e^{-j\omega k}} = \left(\frac{b_0}{a_0}\right) \frac{\prod_{k=1}^M (1 - c_k e^{-j\omega})}{\prod_{k=1}^N (1 - d_k e^{-j\omega})}$$

اندازه مقیاس $\rightarrow |H(e^{j\omega})| = \left|\frac{b_0}{a_0}\right| \frac{\prod_{k=1}^M |1 - c_k e^{-j\omega}|}{\prod_{k=1}^N |1 - d_k e^{-j\omega}|}$

مربع اندازه $\rightarrow |H(e^{j\omega})|^2 = H(e^{j\omega}) H^*(e^{j\omega}) = \left(\frac{b_0}{a_0}\right)^2 \frac{\prod_{k=1}^M (1 - c_k e^{-j\omega})(1 - c_k^* e^{j\omega})}{\prod_{k=1}^N (1 - d_k e^{-j\omega})(1 - d_k^* e^{j\omega})}$

Gain در dB $\rightarrow 20 \log_{10} |H(e^{j\omega})|$

$$= 20 \log_{10} \left|\frac{b_0}{a_0}\right| + \sum_{k=1}^M 20 \log_{10} |1 - c_k e^{-j\omega}| - \sum_{k=1}^N 20 \log_{10} |1 - d_k e^{-j\omega}|$$

$$\text{فاز پیوسته} \rightarrow \arg[H(e^{j\omega})] = \arg\left(\frac{b_0}{a_0}\right) + \sum_{k=1}^M \arg[1 - c_k e^{-j\omega}] - \sum_{k=1}^N \arg[1 - d_k e^{-j\omega}]$$

$$\text{grad}[H(e^{j\omega})] = \sum_{k=1}^N \frac{d}{d\omega} (\arg[1 - d_k e^{-j\omega}]) - \sum_{k=1}^M \frac{d}{d\omega} (\arg[1 - c_k e^{-j\omega}])$$

در اسلاید (53) برای grad

قطب: برای $H(z)$ لری از روی نمودار صفر و قطب می توانیم پاسخ فرکانسی را از روی دایره زبر

$$\begin{cases} 20 \log_{10} |H(e^{j\omega})| = \text{ثبت} + \sum_{k=1}^{\text{تعداد صفرهای متناهی}} 20 \log_{10} |v_z(k, \omega)| - \sum_{k=1}^{\text{تعداد قطبهای متناهی}} 20 \log_{10} |v_p(k, \omega)| \\ \angle H(e^{j\omega}) = \text{ثبت} + \sum_{k=1}^{\text{تعداد صفرهای متناهی}} \angle v_z(k, \omega) - \sum_{k=1}^{\text{تعداد قطبهای متناهی}} \angle v_p(k, \omega) \end{cases}$$

بر روی دایره واحد $e^{j\omega}$ روی دایره واحد
 $v_z(k, \omega)$ صفر
 $v_p(k, \omega)$ قطب

نتایج : ۱- صفربا قطب در ∞ اثری در اندازۀ و فاز با ω جزئیاتی ندارند. (آهسته گفته شده برای صفربا قطبهای متناهی)

$$\cos 1 = 0$$

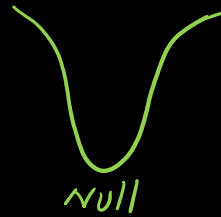


۲- صفربا قطب در مبدأ اثری در اندازۀ ندارند.

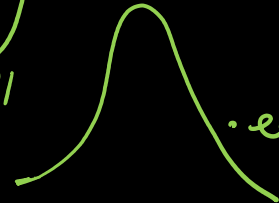
۳- صفربا مبدأ فاز خطی $\omega +$ ایادی کند.

قطب در مبدأ فاز خطی $\omega -$ ایادی کند.

{ صفربا قطب در
مبدأ در
اثری ندارند.
(فاز ایدۀ آن)



۴- با نزدیک شدن به صفربا، اندازۀ کم می شود. peak



با نزدیک شدن به قطب، اندازۀ زیاد می شود.

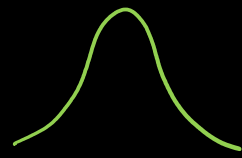


۵- در محل صفربا دایرۀ واحد: ∞ dB : اندازۀ

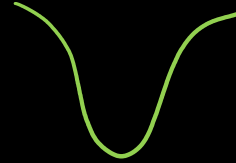


در محل قطب دایرۀ واحد: ∞ dB : اندازۀ

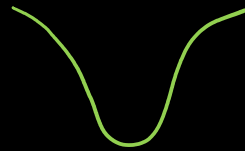
۶- اثرات ردی g_{rd} :



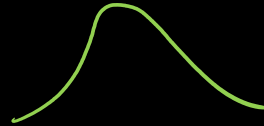
صفر بیرون دایره واحد



صفر داخل دایره واحد



قطب بیرون دایره واحد



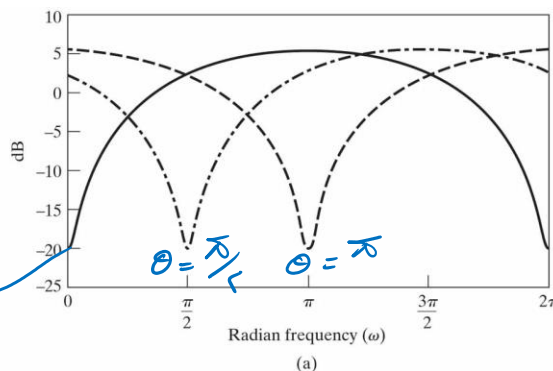
قطب داخل دایره واحد

در هر چه صفر و قطب به دایره واحد نزدیکتر شوند پیک در نان شد بزرگتر شود.

سیستم با فقط یک صفر

Figure 5.9 Frequency response for a single zero, with $r = 0.9$ and the three values of θ shown. (a) Log magnitude. (b) Phase. (c) Group delay.

اندازه باغ فرکانسی بر حسب dB
 $|H(e^{j\omega})|$
 $\theta = 0$

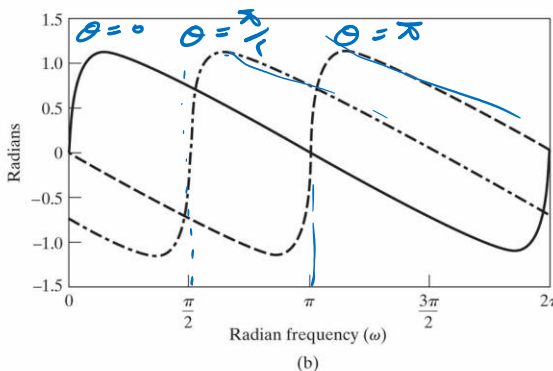


$$(1 - re^{j\omega} e^{-j\theta})$$

صفر: $re^{j\omega}$

به ازای θ های متفاوت
 $r = 0.9$

فاز $\angle H(e^{j\omega})$
 $r = 0.9$ نزدیک به صفر



تاخیر گروهی $\text{grad}[H(e^{j\omega})]$

صفر داخل دایره واحد
 $r = 0.9$
 null

— $\theta = 0$
 - - - $\theta = \frac{\pi}{2}$
 - . - $\theta = \pi$

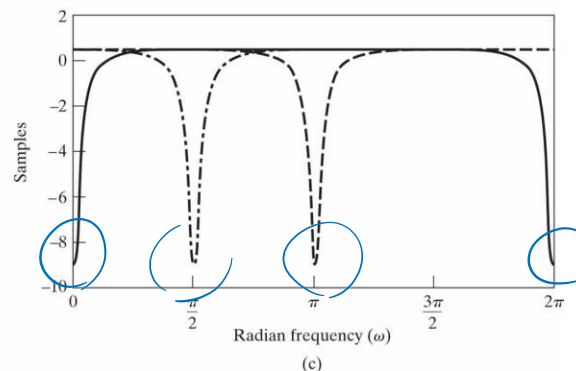


Figure 5.10 z -plane vectors for a 1st-order system function evaluated on the unit circle, with $r < 1$.

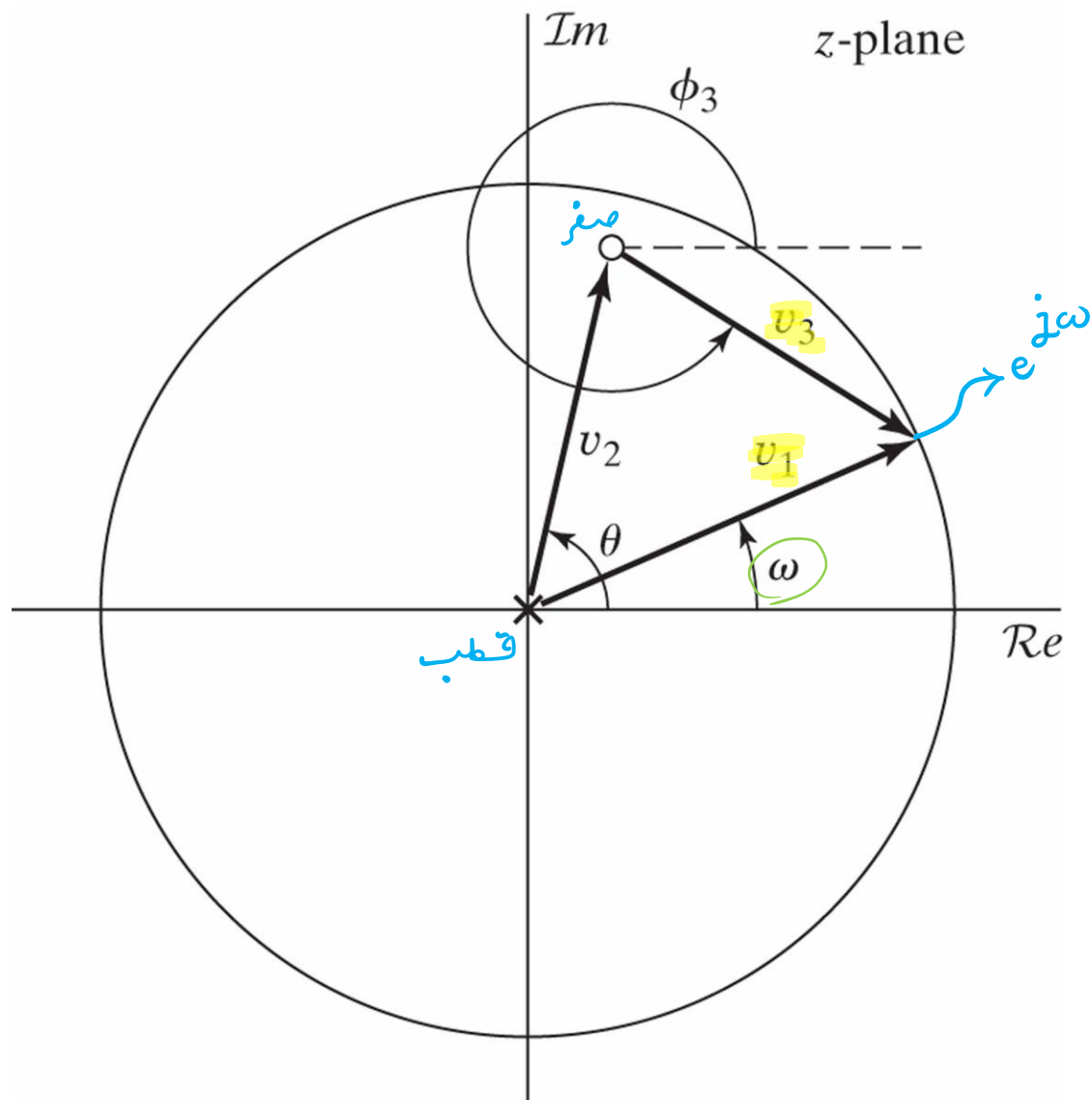
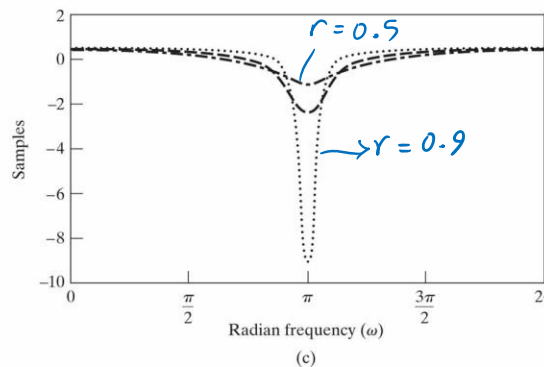
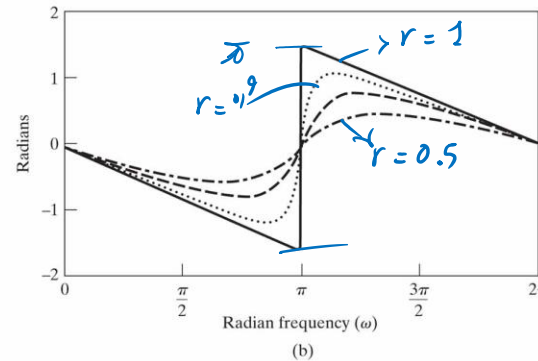
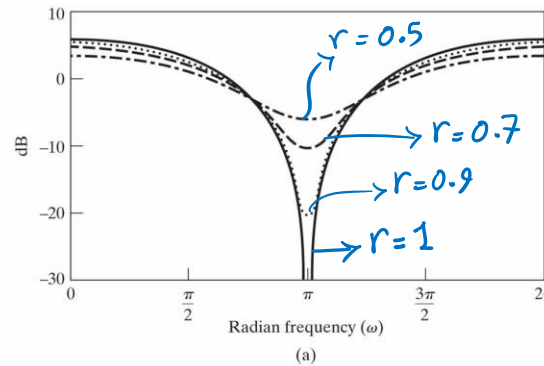


Figure 5.11 Frequency response for a single zero, with $\theta = \pi$, $r = 1, 0.9, 0.7$, and 0.5 . (a) Log magnitude. (b) Phase. (c) Group delay for $r = 0.9, 0.7$, and 0.5 .

اندازه
 $r=1$: صفردی دایره واحد

سیستم با قطب یک صف
 $\theta = \pi$
 به ازای r های مختلف



فاز
 $r=1$: صفردی دایره واحد
 تغییر فاز به اندازه π

grd
 $r=1$: تعریف نشده : نمی توان اندازه شده

--- $r = 0.5$
 --- $r = 0.7$
 $r = 0.9$
 — $r = 1$

دو صفر در مبدا
در قطب در
 $re^{\pm j\theta}$

شکل:

$$H(z) = \frac{1}{(1 - re^{j\theta}z^{-1})(1 - re^{-j\theta}z^{-1})} = \frac{1}{1 - 2r \cos \theta z^{-1} + r^2 z^{-2}}.$$

$$\begin{aligned} 20 \log_{10} |H(e^{j\omega})| &= -10 \log_{10}[1 + r^2 - 2r \cos(\omega - \theta)] \\ &\quad - 10 \log_{10}[1 + r^2 - 2r \cos(\omega + \theta)], \end{aligned}$$

$$\angle H(e^{j\omega}) = -\arctan \left[\frac{r \sin(\omega - \theta)}{1 - r \cos(\omega - \theta)} \right] - \arctan \left[\frac{r \sin(\omega + \theta)}{1 - r \cos(\omega + \theta)} \right],$$

and

$$\text{grd}[H(e^{j\omega})] = -\frac{r^2 - r \cos(\omega - \theta)}{1 + r^2 - 2r \cos(\omega - \theta)} - \frac{r^2 - r \cos(\omega + \theta)}{1 + r^2 - 2r \cos(\omega + \theta)}.$$

Figure 5.12 Pole-zero plot for Example 5.6.

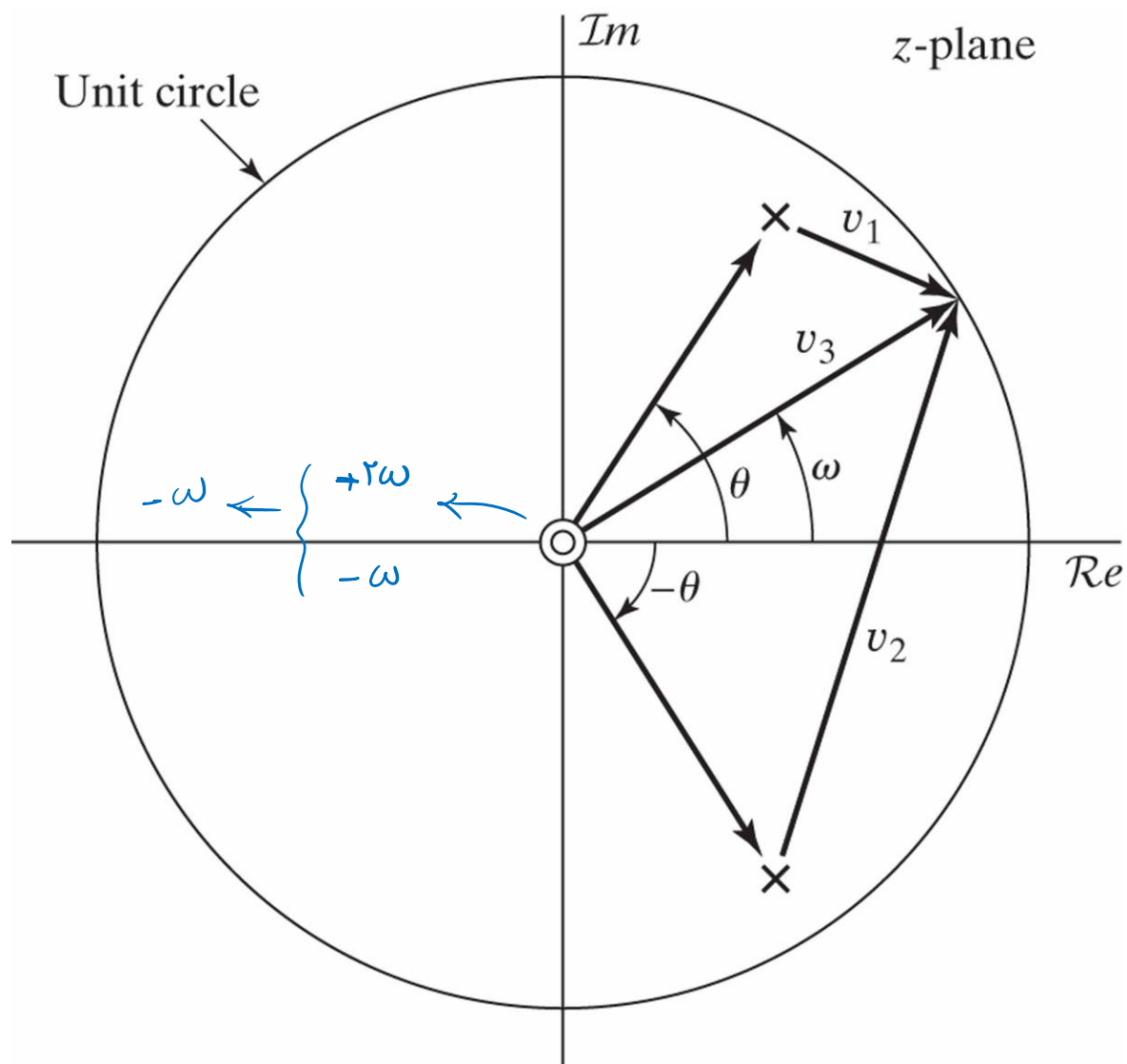


Figure 5.13 Frequency response for a complex-conjugate pair of poles as in Example 5.6, with $r = 0.9$, $\theta = \pi/4$. (a) Log magnitude.

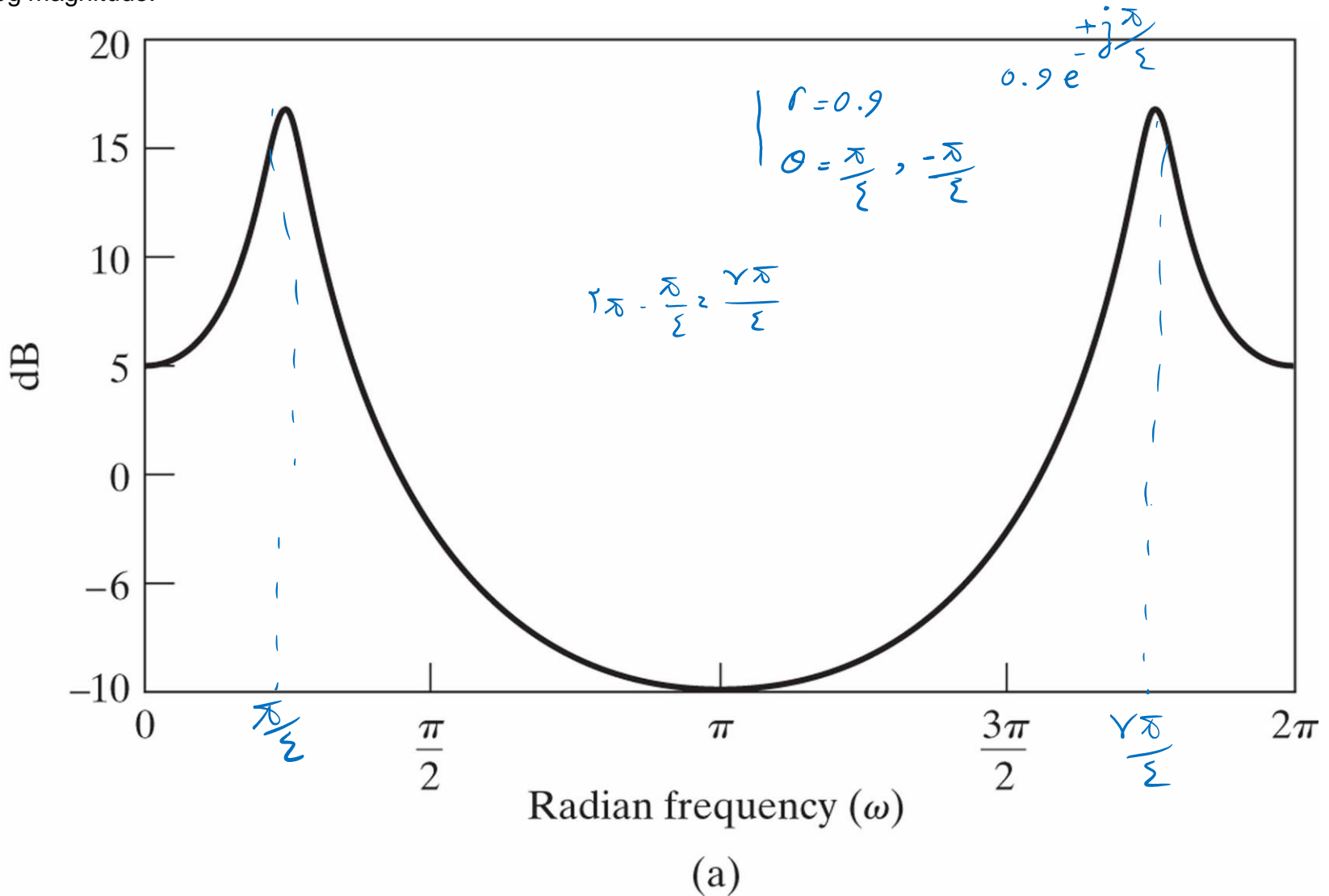
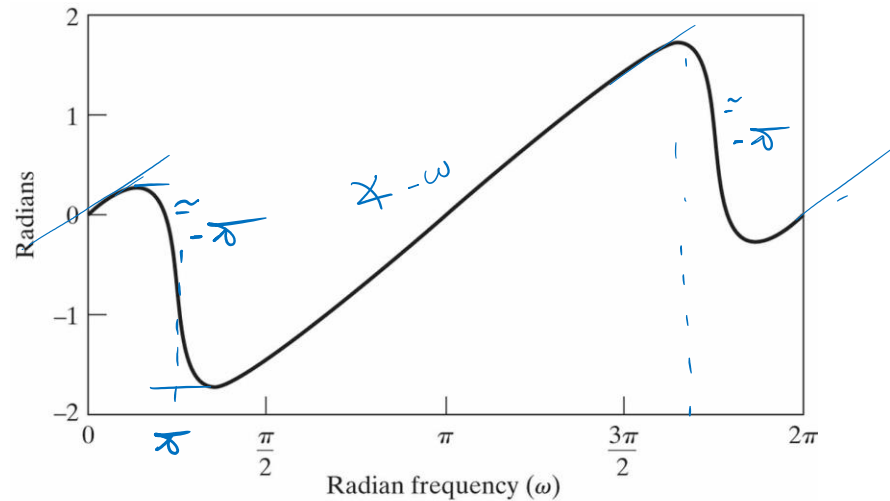
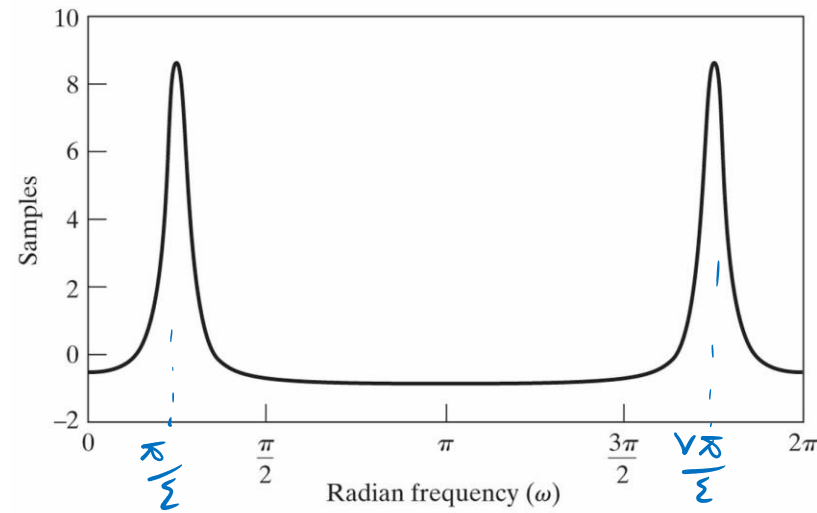


Figure 5.13 (continued) Frequency response for a complex-conjugate pair of poles as in Example 5.6, with $r = 0.9$, $\theta = \pi/4$. (b) Phase. (c) Group delay.



(b)



(c)

$$H(z) = \frac{0.05634(1 + z^{-1})(1 - 1.0166z^{-1} + z^{-2})}{(1 - 0.683z^{-1})(1 - 1.4461z^{-1} + 0.7957z^{-2})}, \quad (67)$$

Radius	Angle
1	π rad
1	± 1.0376 rad (59.45°)

Radius	Angle
0.683	0
0.892	± 0.6257 rad (35.85°)

Figure 5.14 Pole–zero plot for the lowpass filter of Example 5.8.

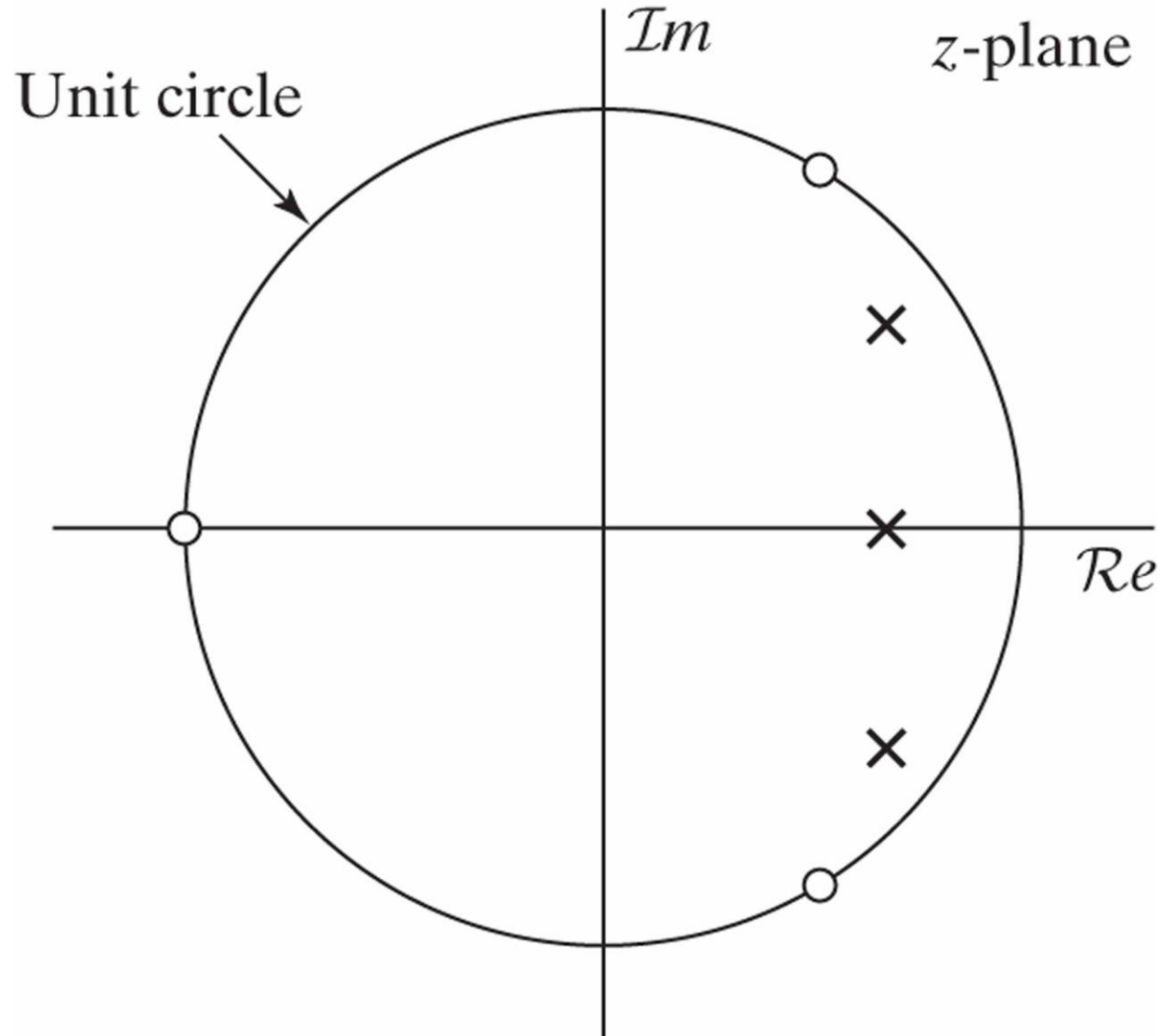
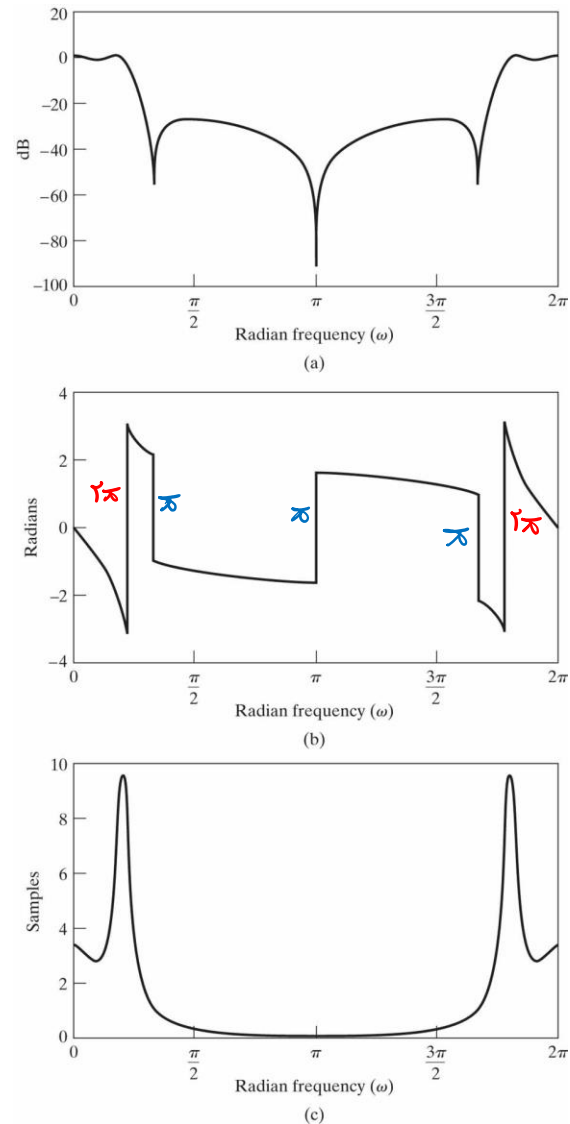


Figure 5.15 Frequency response for the lowpass filter of Example 5.8. (a) Log magnitude. (b) Phase. (c) Group delay.



5.4 رابطه بین اندازه و فاز :

فرض: $|H(e^{j\omega})|$ داده شده و $H(z)$ را بیابیم $|H(e^{j\omega})|$ مرتباً پیدا می‌کند $H(z)$ کسری است.

مسئله: آیا می‌توانیم $H(z)$ را پیدا کنیم؟

به چه روشی؟

آیا پاسخ یکتا است؟

$$|H(e^{j\omega})| \rightarrow H(z) \rightarrow H(e^{j\omega})$$

↓

$$\nrightarrow H(e^{j\omega})$$

$$|H(e^{j\omega})| \rightarrow H(z)$$

بی شمار

توجه: کمترین تعداد صفر و قطب

در حالت کلی این امکان وجود ندارد.

در حالت $H(z)$ کسری می‌توانیم کار را انجام داد.

((اندازه پاسخ فرکانسی ← متناوباً صفر و قطب ها ← و لزوماً خاص ایامی کند))

قضیه: تعداد سیستم‌های LTI باید برابر $H(z)$ کسری که دارای $|H(e^{j\omega})|$ یکسان و عدد کمینه صفر و قطب هستند (با مخرج ضرب $e^{j\omega}$) متناهی است و همه این‌ها را می‌توان با داشتن فقط $|H(e^{j\omega})|$ به دست آورد.

$$|H(e^{j\omega})|$$

$$\downarrow$$

$$|H(e^{j\omega})|^2$$

$$= \overbrace{H(z)H^*\left(\frac{1}{z^*}\right)}^{C(z)} \Big|_{e^{j\omega} = z}$$

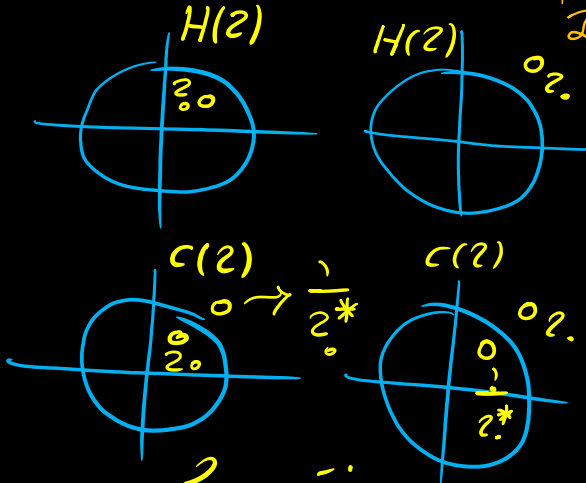
آلگوریتم برای به دست آوردن $H(z)$:

صفر و قطب‌های $C(z)$ را به دست می‌آوریم
و نمودار صفر و قطب را رسم می‌کنیم

↓
از هر جفت صفر و قطب یکی را انتخاب می‌کنیم.

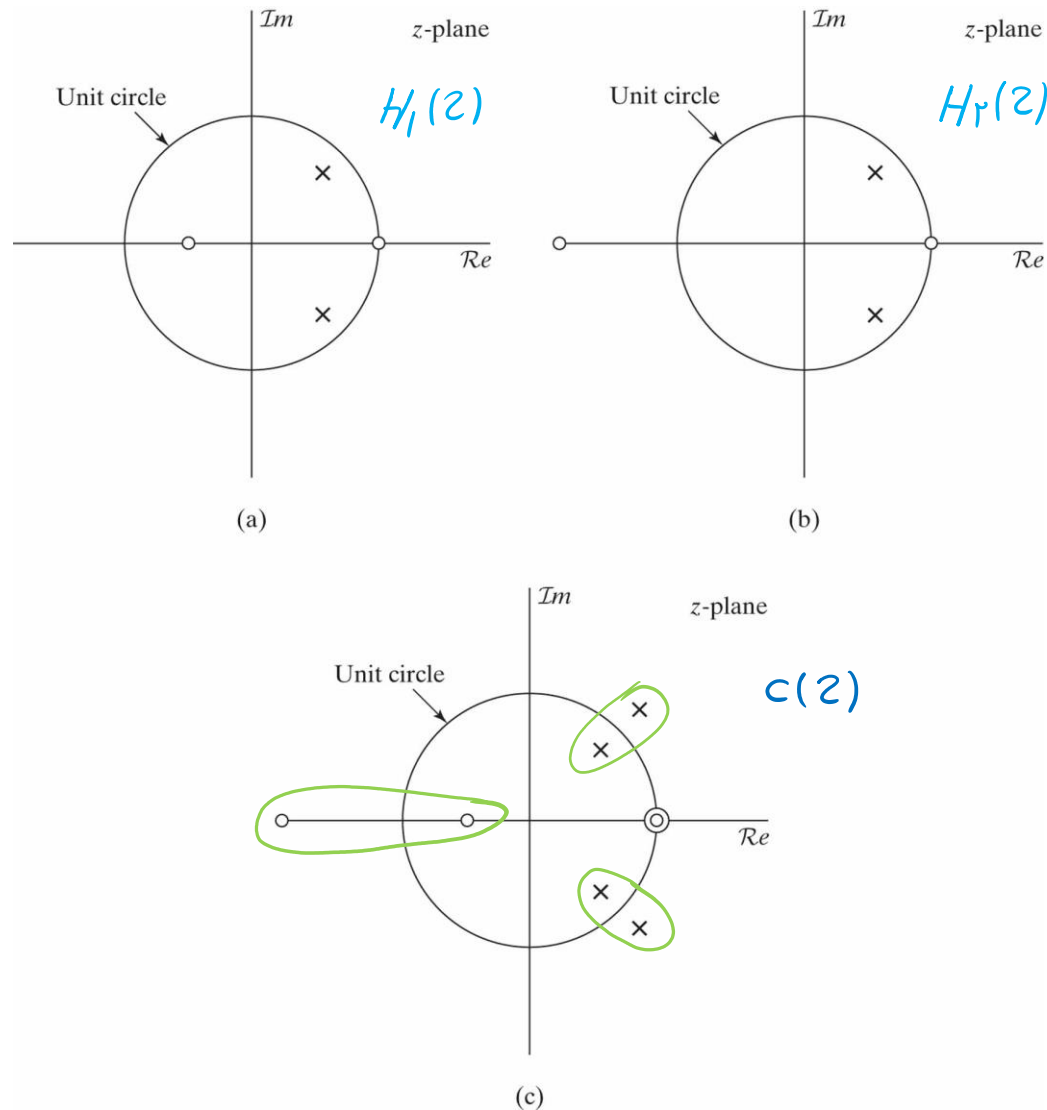
و به صفر و قطب‌های $H(z)$ می‌رسیم.

$$H(z)H^*\left(\frac{1}{z^*}\right) \Big|_{z=e^{j\omega}} = H(e^{j\omega})H^*(e^{j\omega}) = |H(e^{j\omega})|^2$$



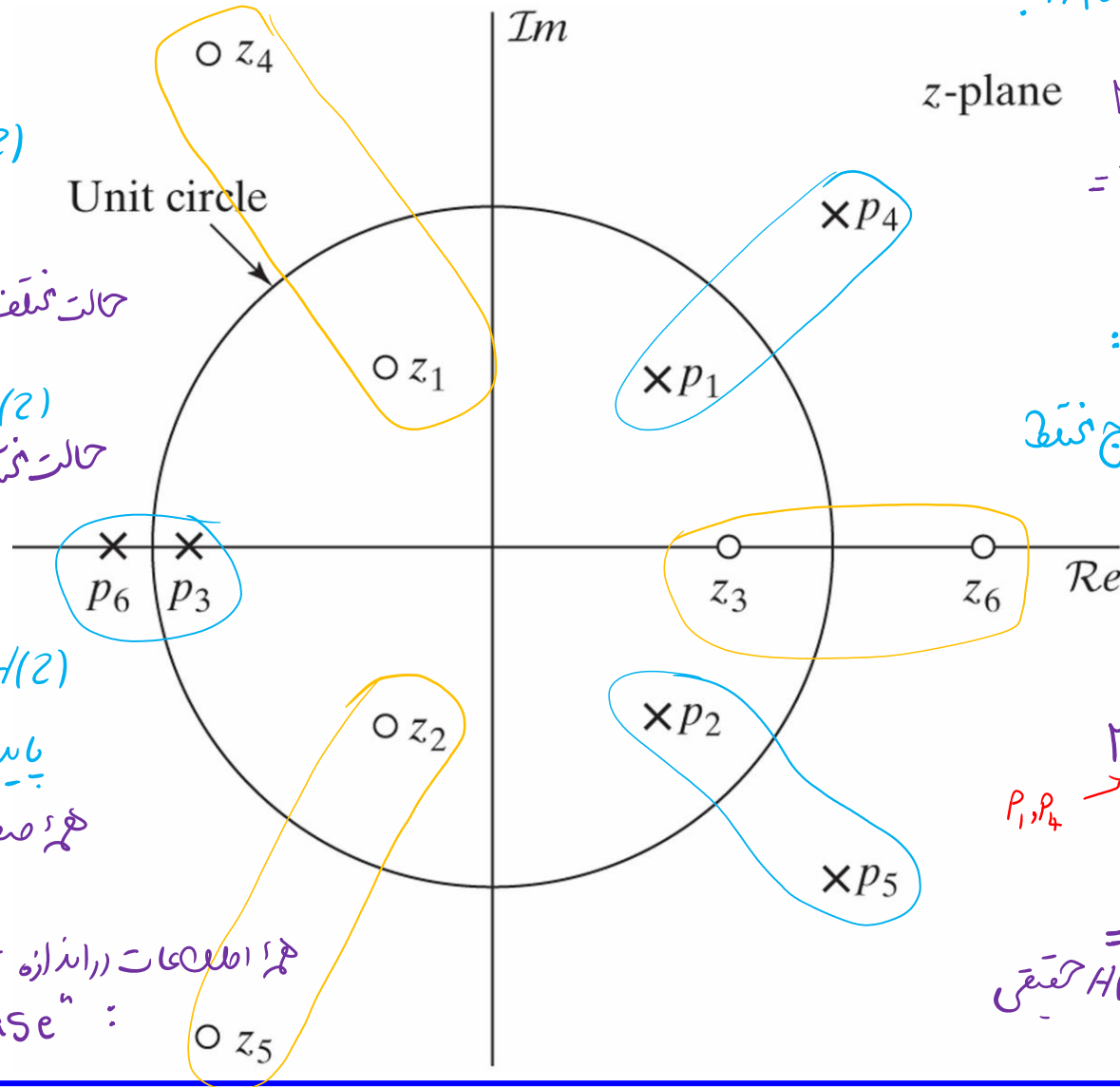
نکته: برای پیدا کردن $C(z)$ ، دو $H(z)$ متناظر داریم.

Figure 5.16 Pole-zero plots for two system functions and their common magnitude-squared function. (a) $H_1(z)$. (b) $H_2(z)$. (c) $C_1(z)$. $C_2(z)$.



$$|H(e^{j\omega})| \rightarrow C(z)$$

Figure 5.17 Pole-zero plot for the magnitude-squared function in Example 5.10.



مثال:

چند جواب مختلف برای $H(z)$ ؟

z-plane $2 \times 2 \times 2 \times 2 \times 2 \times 2$

حالت مختلف $2^6 = 64 = H(z)$

$H(z)$ با ضرایب حقیقی:

صفر و قطب های مزدج فقط

اگر p_1 انتخاب شود باید مزدج مقلات p_2 نیز انتخاب شود.

~~$2 \times 2 \times 2 \times 2 \times 2 \times 2$~~
 p_1, p_4 p_3, p_6 z_1, z_4 z_2, z_5 z_3, z_6

$2^4 = 16$
 حالت مختلف برای $H(z)$ حقیقی

$H(z)$ علی و پایدار:

p_3, p_6, p_1

حالت مختلف $2 \times 2 \times 2 = 2^3 = 8$ مفرد

$H(z)$ حقیقی و علی و پایدار:

حالت مختلف $2 \times 2 = 2^2 = 4$

$H(z)$ و داشتن آن هر دو علی و

پایدار باشند:

همه صفر و قطبها داخل دایره واحد

همه اقلیات در اندازه 1 حالت: یکت

"minimum phase":

$$H_{ap}(z) = \frac{z^{-1} - a^*}{1 - az^{-1}}$$

$$H_{ap}(e^{j\omega}) = \frac{e^{-j\omega} - a^*}{1 - ae^{-j\omega}}$$

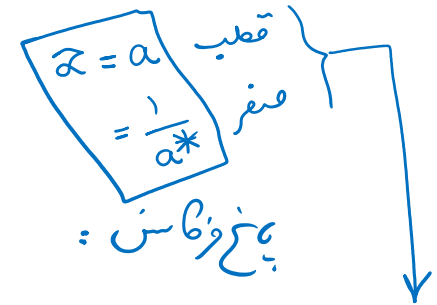
$$= e^{-j\omega} \frac{1 - a^* e^{j\omega}}{1 - ae^{-j\omega}}$$

$$\begin{aligned} |e^{-j\omega}| &= 1 \\ |1 - a^* e^{j\omega}| &= |1 - ae^{-j\omega}| \end{aligned}$$

* مزدوج

$$\rightarrow |H_{ap}(e^{j\omega})| = 1$$

سیستمی که پاسخ فرکانسی آن برای تمام فرکانس‌ها ثابت باشد سیستم تمام‌گذر نامیده می‌شود.



conjugate reciprocal
صفر، قطب
مزدوج متضاد

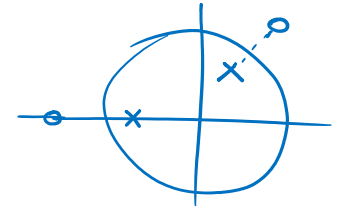


Figure 5.18 Typical pole-zero plot for an all-pass system.

در جفت صفر و قطب : conjugate reciprocal

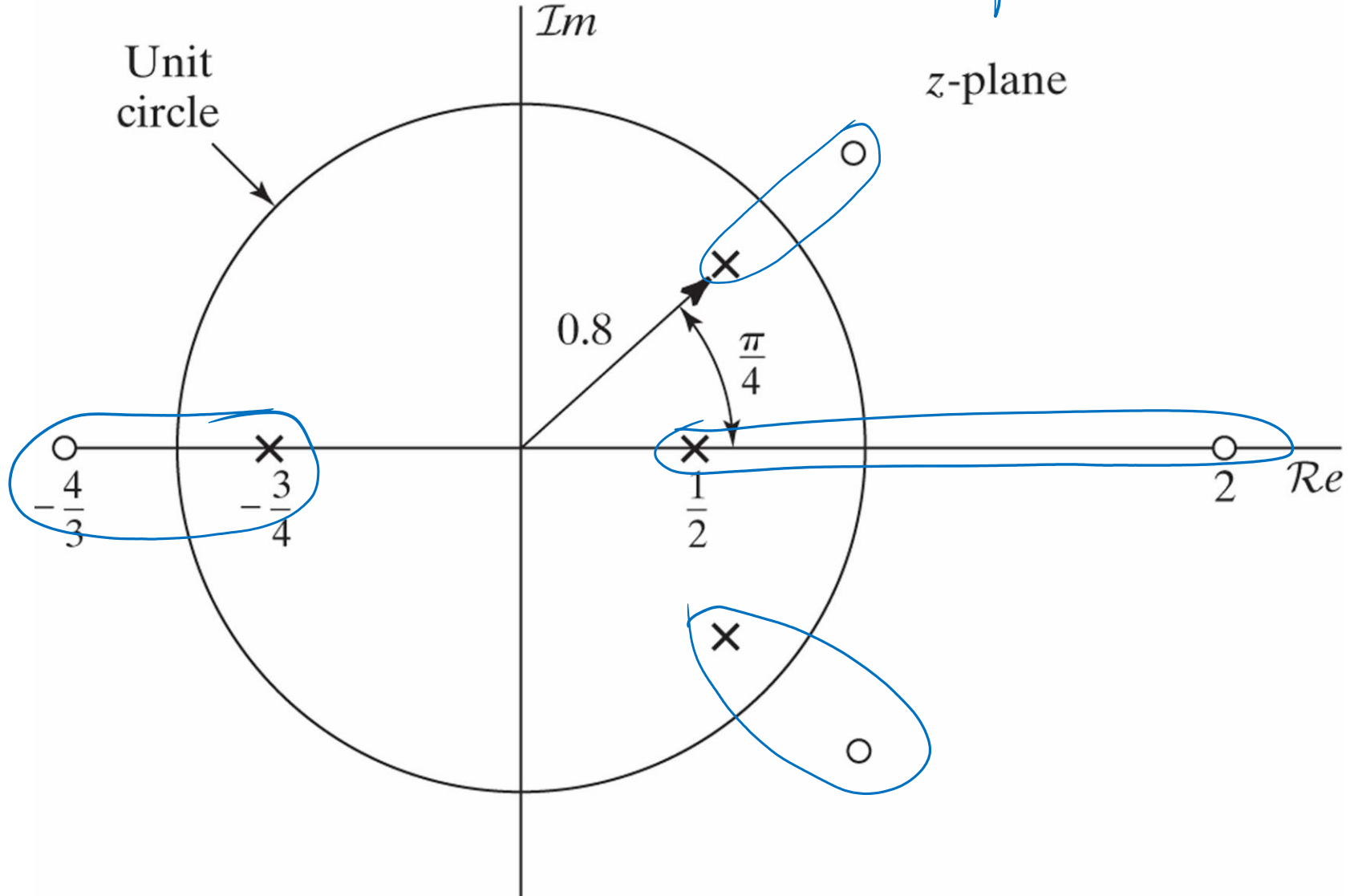
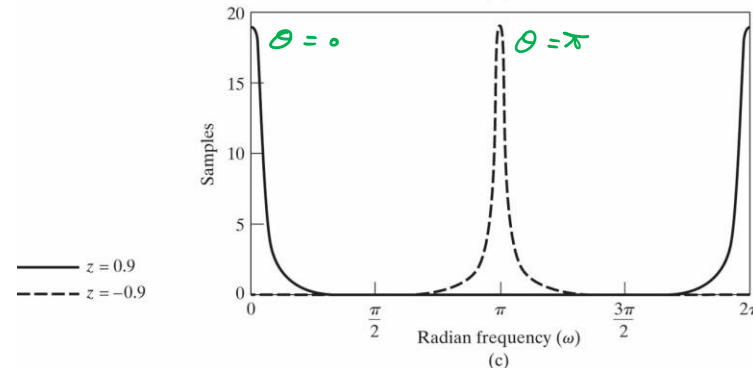
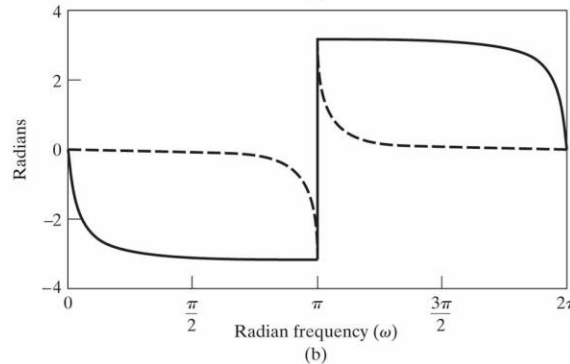
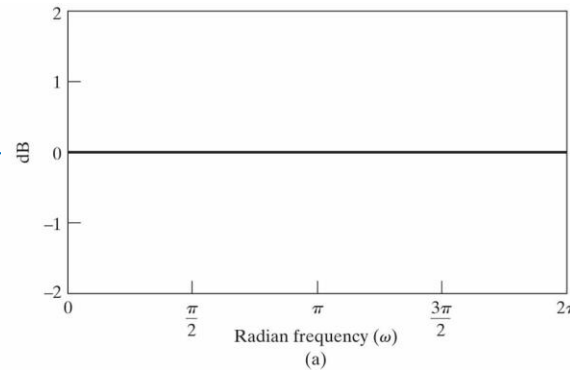


Figure 5.19 Frequency response for all-pass filters with real poles at $z = 0.9$ (solid line) and $z = -0.9$ (dashed line).
 (a) Log magnitude. (b) Phase (principal value). (c) Group delay.

$$|H(e^{j\omega})| = 1$$

$$0 \text{ dB}$$



سہ سہ آکر
مرتبہ اول

قطب:

$$r = 0.9$$

$$\theta = 0$$

خفاہیوہ: $z = 0.9$

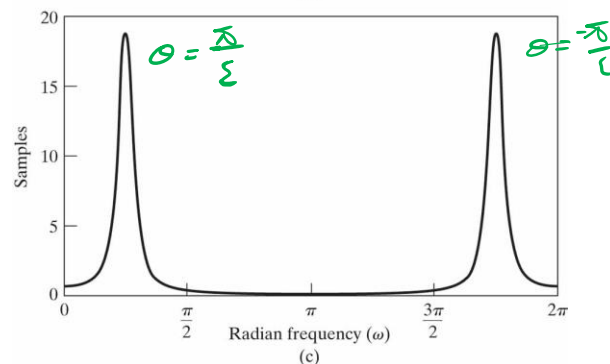
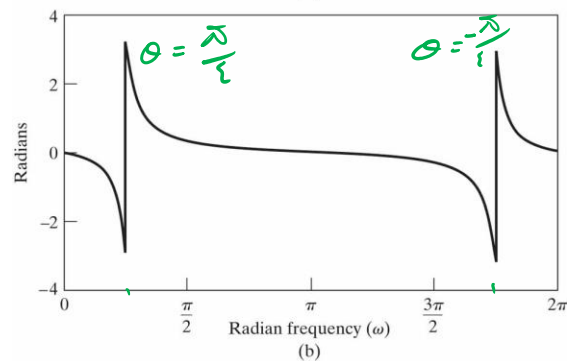
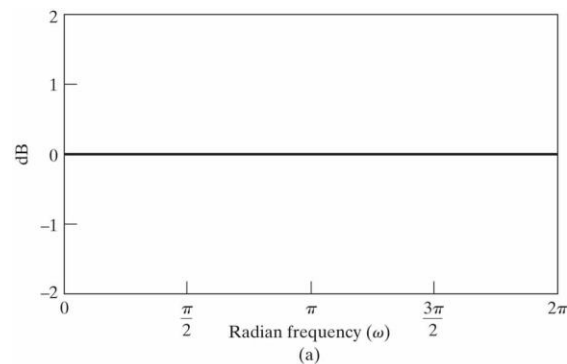
خفاہین: $z = -0.9$

$$r = 0.9$$

$$\theta = \pi$$

Figure 5.20 Frequency response of 2nd-order all-pass system with poles at $z = 0.9e^{\pm j\pi/4}$. (a) Log magnitude. (b) Phase (principal value). (c) Group delay.

$$|H(e^{j\omega})| = 1 \rightarrow 0 \text{ dB}$$



$$z = 0.9 e^{\pm j\frac{\pi}{4}}$$

$$z = 0.9 e^{\pm j\frac{\pi}{4}}$$

Figure 5.21 Frequency response for an all-pass system with the pole–zero plot in Figure 5.18. (a) Log magnitude. (b) Phase (principal value). (c) Group delay.

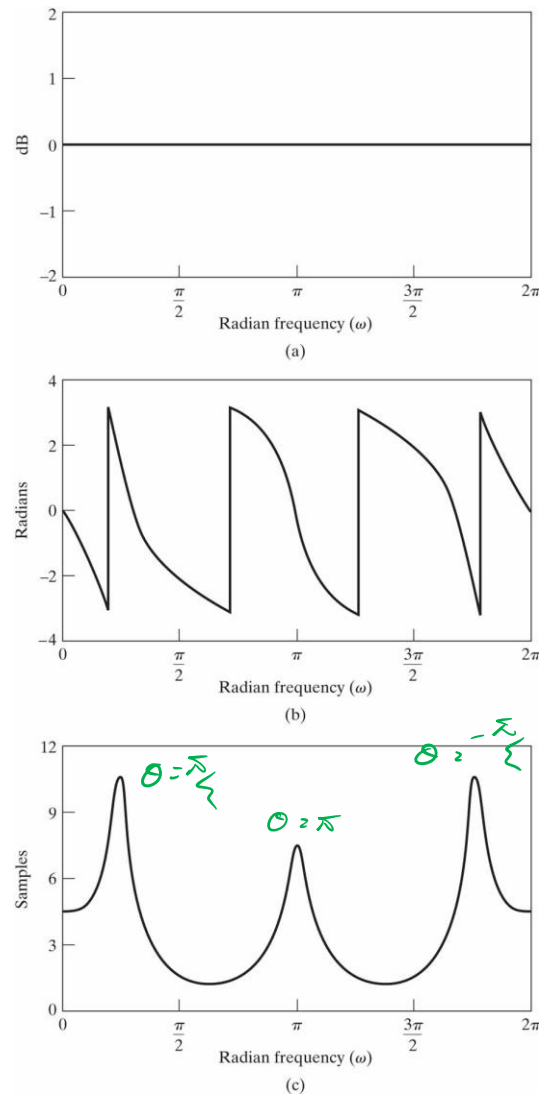


Fig 5.18

5.6: سیستم‌های کمینه فاز : Minimum Phase Systems

به سیستم‌هایی که هم حلقه، هم دارد نشان علی و پدیدار باشند کمینه فاز گفته می‌شود.

برای سیستم کمینه فاز، همه صفر و قطب‌های سیستم داخل دایره واحد هستند.

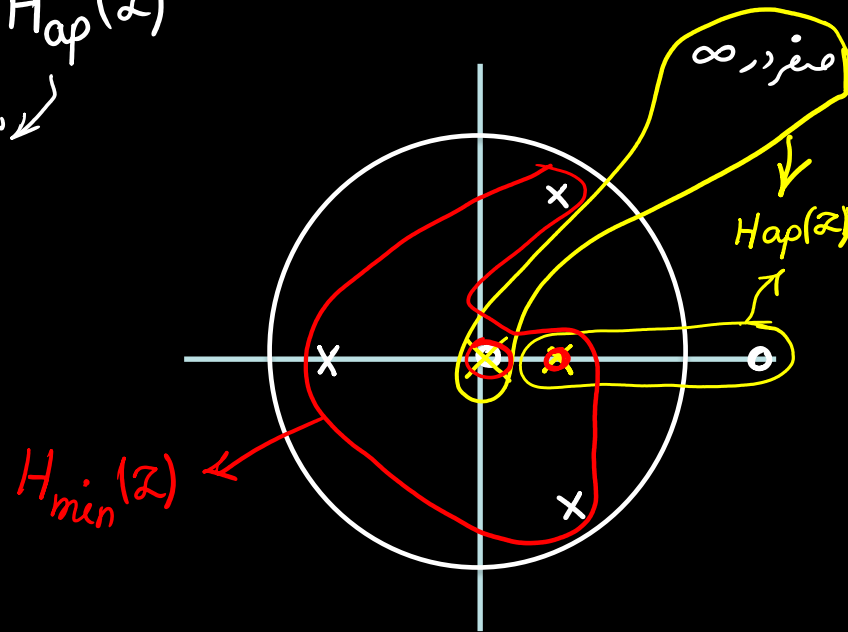
قضیه: هر $H(z)$ کسری بدون صفر و قطب روی دایره واحد را می‌توان به صورت زیر تجزیه کرد و نمایش داد.

$$H(z) = H_{\min}(z) H_{\text{ap}}(z)$$

← تمام آدنز ← کمینه فاز

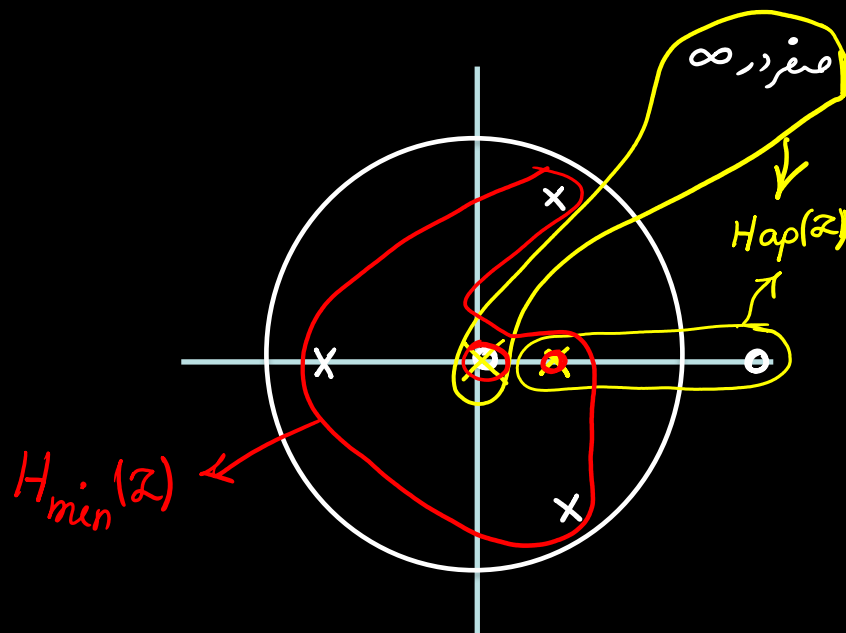
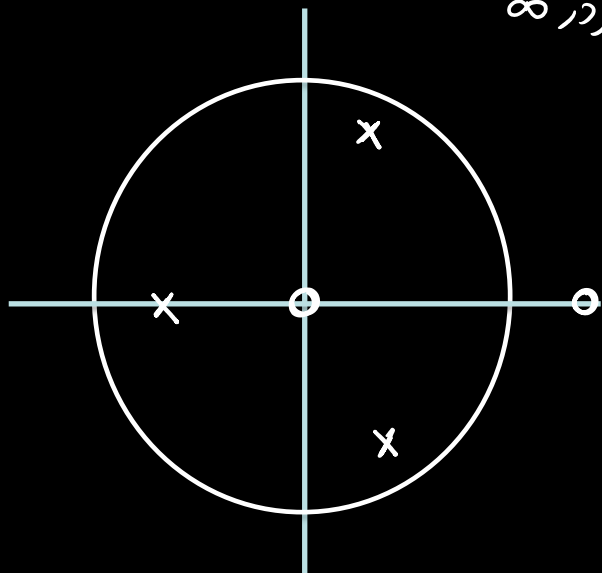
← صفر و قطب‌ها داخل دایره واحد

هر جفت صفر و قطب متقابل
conjugate reciprocal



$H(z)$:

صفر در ∞

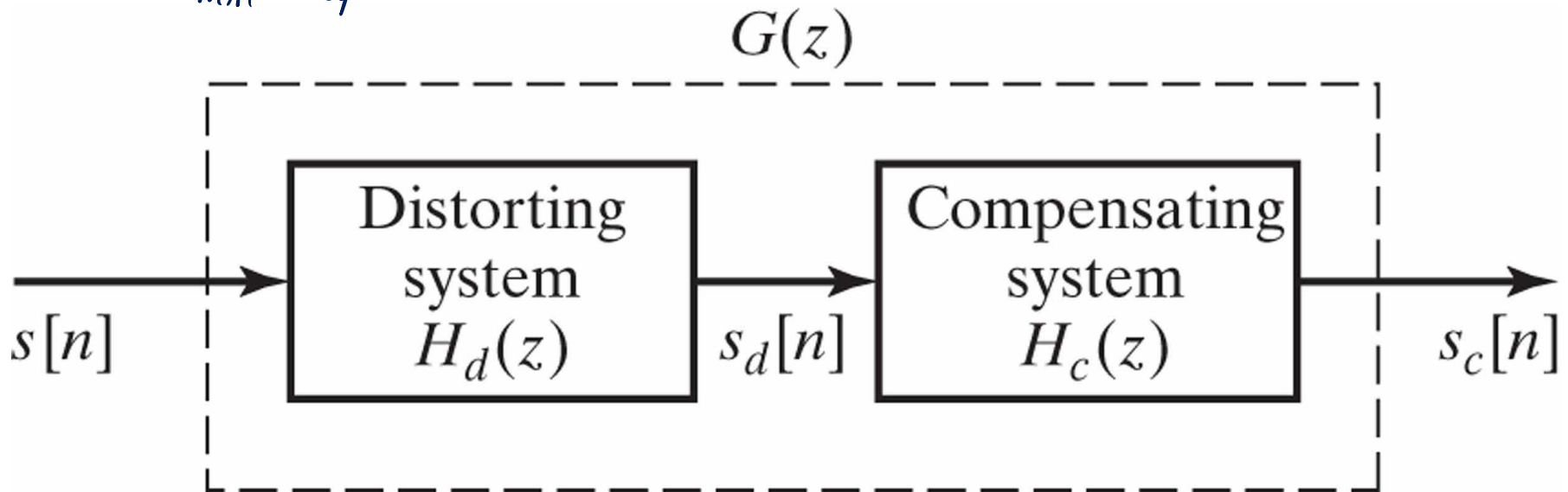


2-6: جبران پاسخ فرکانسی سیستم‌های غیرکمینه فاز:

Figure 5.22 Illustration of distortion compensation by linear filtering.

برای جبران سزای کامل، $H_c(z)$ باید معکوس $H_d(z)$ باشد. اگر شرط علی ویا مدار بودن برای هر دو سیستم در نظر گرفته شود، تنها در حالتی این جبران سزای امکان پذیر است که سیستم $H_d(z)$ کمینه فاز باشد.

$$H_d(z) = H_{dmin}(z) H_{ap}(z)$$



$$H_c(z) = \frac{1}{H_{dmin}(z)}$$

$$G(z) = H_d(z) H_c(z) = H_{ap}(z)$$

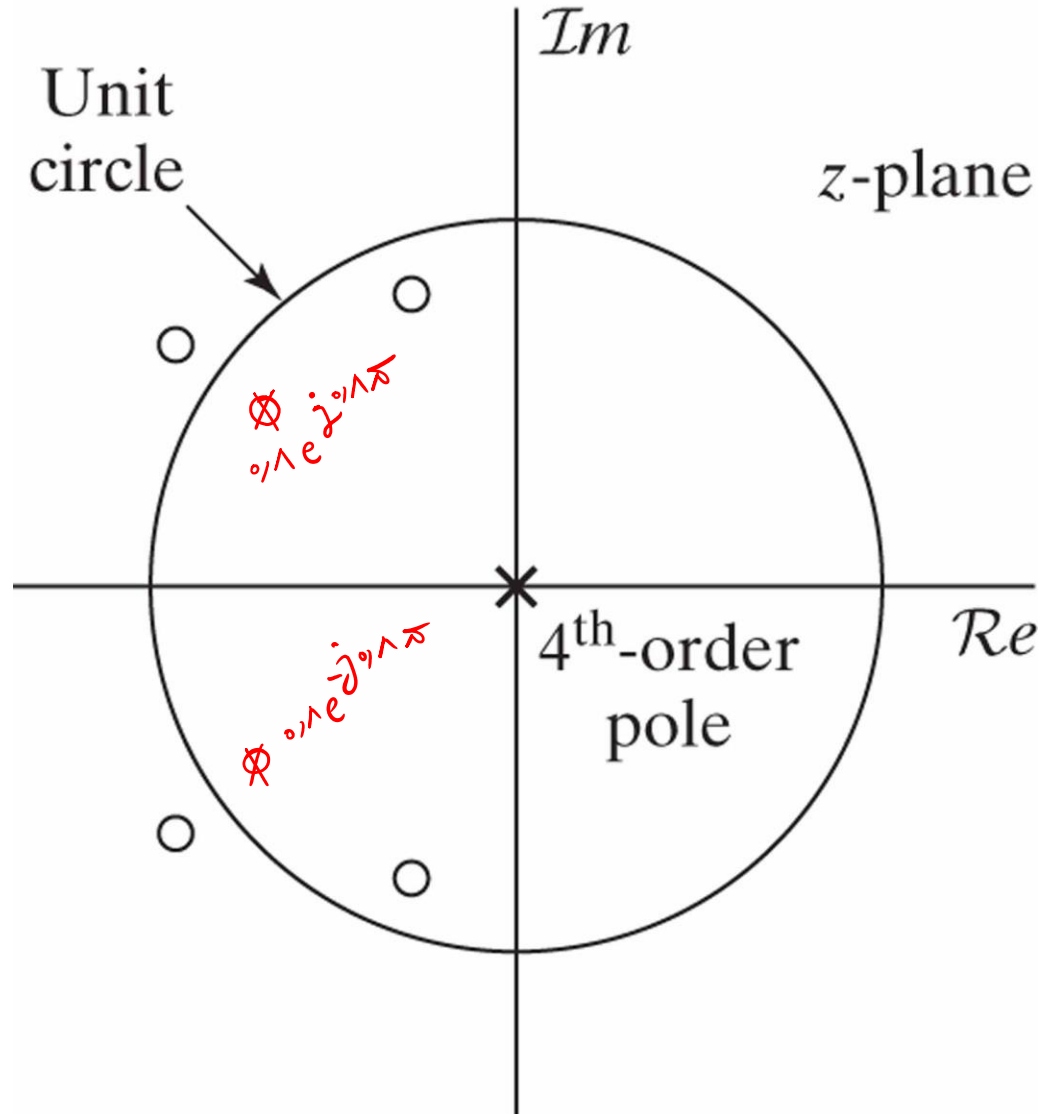
مثال: جبران سازی سیمپل : FIR

$$\begin{aligned}
 H_d(z) &= (1 - 0.9e^{j0.6\pi} z^{-1})(1 - 0.9e^{-j0.6\pi} z^{-1}) \\
 &\quad \times (1 - 1.2\omega e^{j0.8\pi} z^{-1})(1 - 1.2\omega e^{-j0.8\pi} z^{-1}) \\
 &= (1 - 0.9e^{j0.6\pi} z^{-1})(1 - 0.9e^{-j0.6\pi} z^{-1})(1.2\omega)^2 \\
 &\quad \times (z^{-1} - 0.1\omega e^{-j0.8\pi})(z^{-1} - 0.1\omega e^{j0.8\pi})
 \end{aligned}$$

$$\begin{aligned}
 H_{\text{min}}(z) &= (1.2\omega)^2 (1 - 0.9e^{j0.6\pi} z^{-1})(1 - 0.9e^{-j0.6\pi} z^{-1}) \\
 &\quad \times (1 - 0.1\omega e^{-j0.8\pi} z^{-1})(1 - 0.1\omega e^{j0.8\pi} z^{-1})
 \end{aligned}$$

$$H_{\text{ap}}(z) = \frac{(z^{-1} - 0.1\omega e^{-j0.8\pi})(z^{-1} - 0.1\omega e^{j0.8\pi})}{(1 - 0.1\omega e^{-j0.8\pi} z^{-1})(1 - 0.1\omega e^{j0.8\pi} z^{-1})}$$

Figure 5.23 Pole–zero plot of FIR system in Example 5.13.



باید ار ؟

علی ؟

سیستم علی و پدید
وکی کمپنیز فارست

Figure 5.24 Frequency response for FIR system with pole-zero plot in Figure 5.23. (a) Log magnitude. (b) Phase (principal value). (c) Group delay.

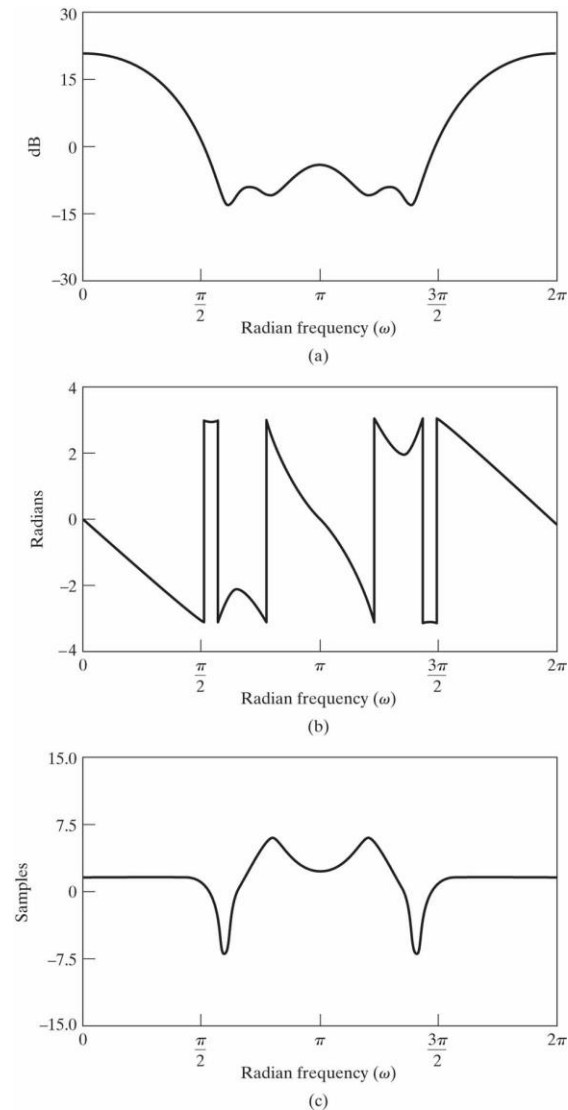


Figure 5.25 Frequency response for minimum-phase system in Example 5.13. (a) Log magnitude. (b) Phase. (c) Group delay.

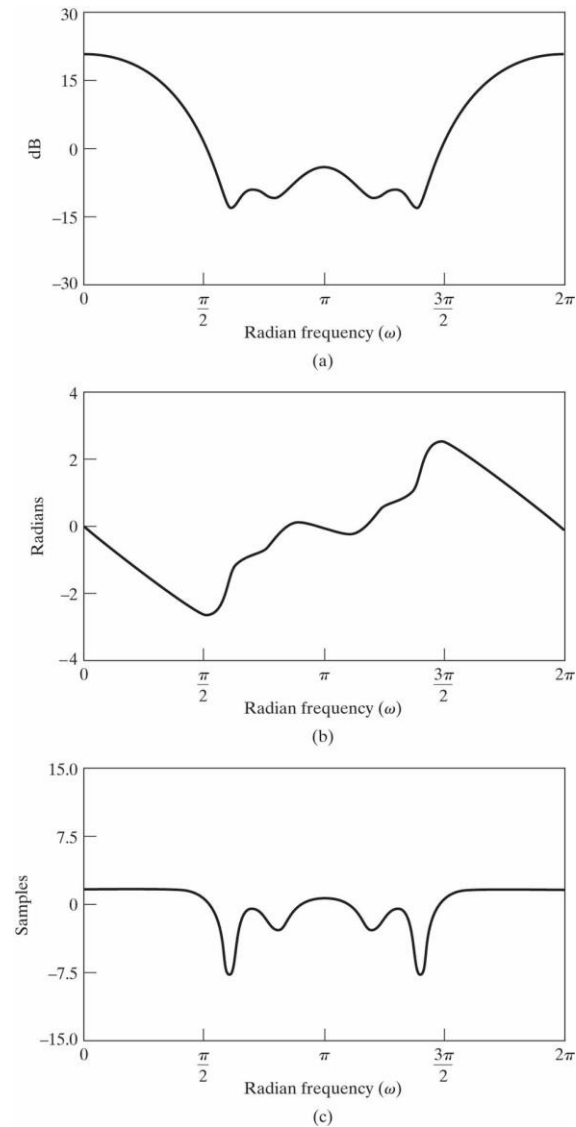
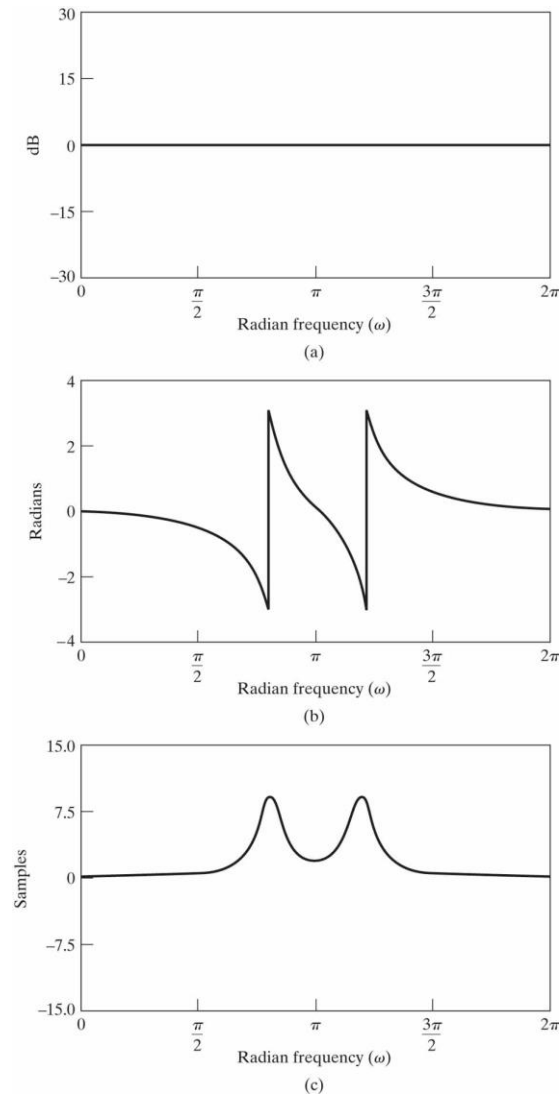


Figure 5.26 Frequency response of all-pass system of Example 5.13. (The sum of corresponding curves in Figures 5.25 and 5.26 equals the corresponding curve in Figure 5.24 with the sum of the phase curves taken modulo 2π .) (a) Log magnitude. (b) Phase (principal value). (c) Group delay.



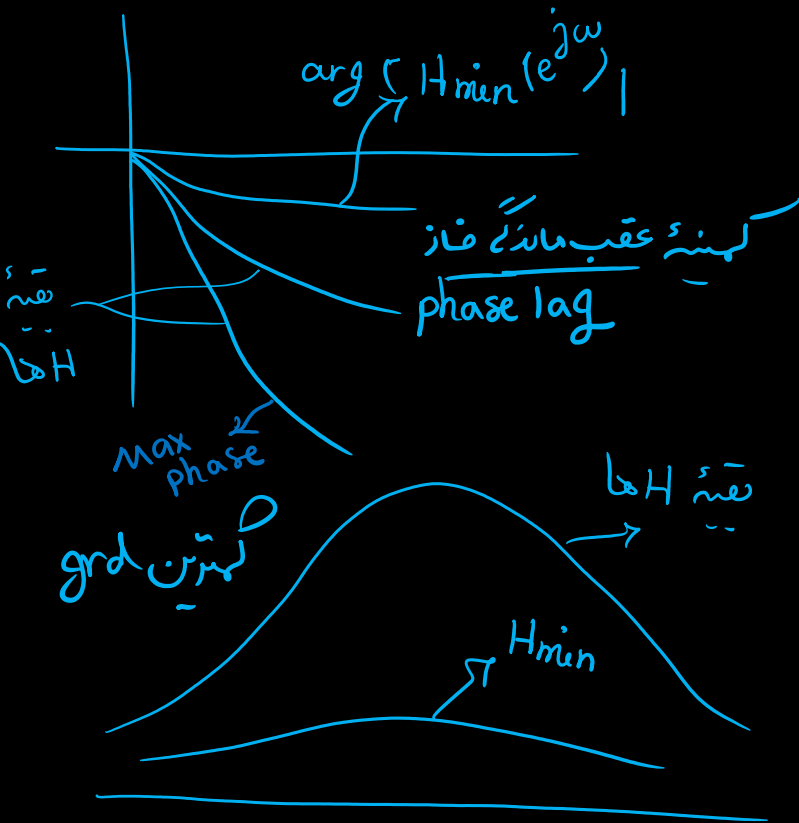
تفسیر: در بین تمام سیستم‌های LTI علی‌پایدار حقیقی و با کسری و بدون صفر و قطب روی واحد و با

$|H(e^{j\omega})|$ برابر $H_{min}(\omega)$ دارای ویژگی‌های زیر است:

$$1. \arg\{H(e^{j\omega})\} \leq \arg\{H_{min}(e^{j\omega})\}$$

$$2. \text{grad}\{H(e^{j\omega})\} \geq \text{grad}\{H_{min}(e^{j\omega})\}$$

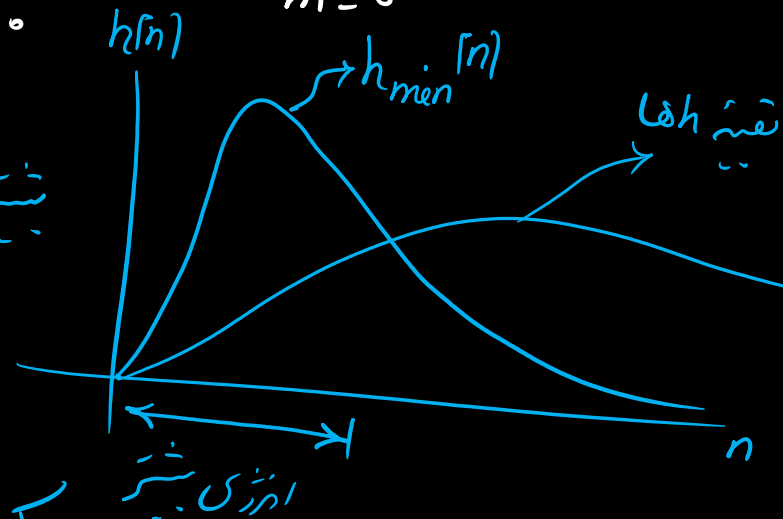
$$3. \sum_{m=0}^n |h[m]|^2 \leq \sum_{m=0}^n |h_{min}[m]|^2$$



مولفه‌های فرکانسی با کمترین تأخیر در سیستم H_{min}

کمترین تأخیر } عبور می‌کنند
بیشترین سرعت } کمینه فاز

بیشترین سرعت پاسخ



چهار سیستم با $|H(e^{j\omega})|$ برابر

Figure 5.27 Four systems, all having the same frequency-response magnitude. Zeros are at all combinations of the complex conjugate zero pairs $0.9e^{\pm j0.6\pi}$ and $0.8e^{\pm j0.8\pi}$ and their reciprocals.

کمینه فاز : همه صفرها داخل واحد واحد

بیشترین فاز
Maximum phase
همه صفرها خارج از واحد واحد

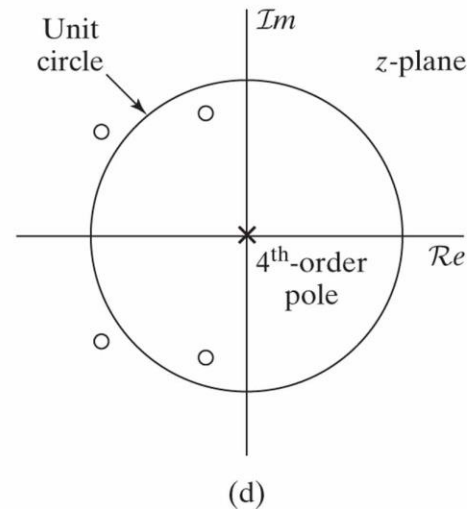
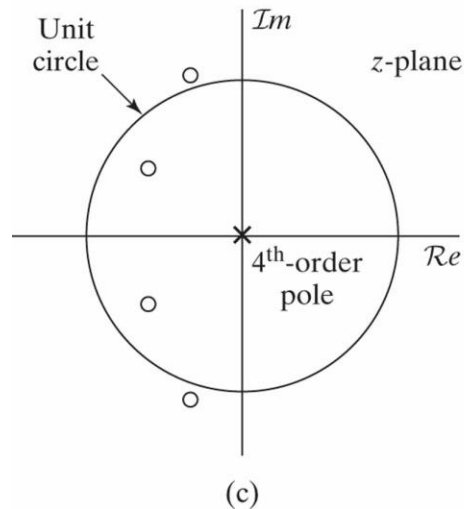
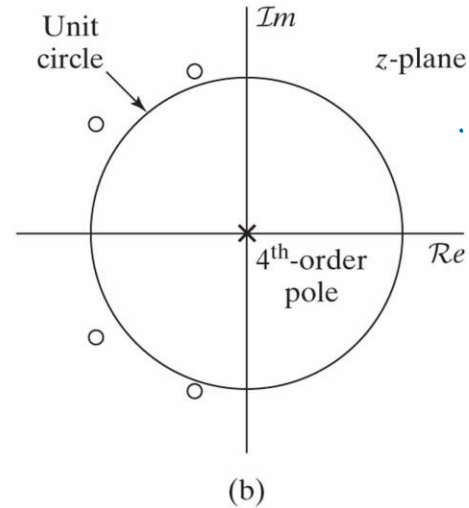
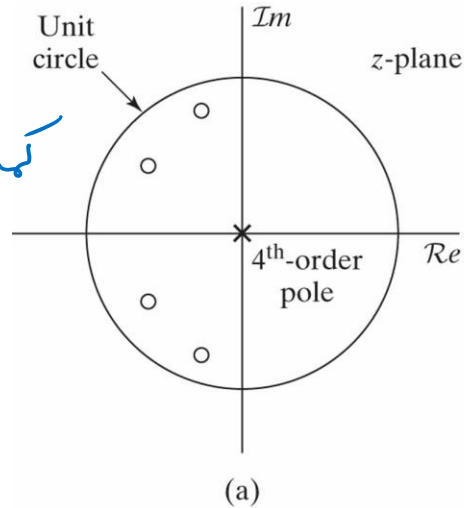
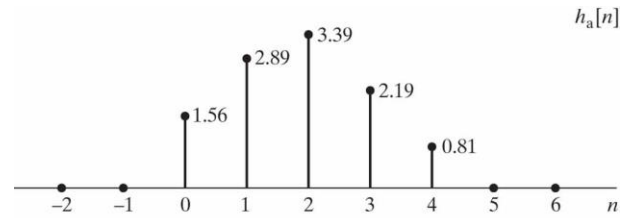
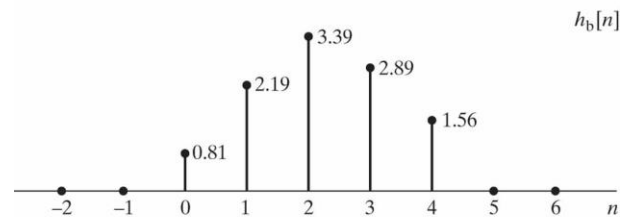


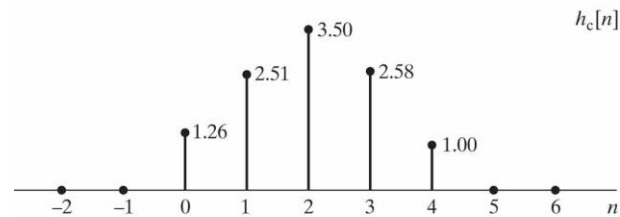
Figure 5.28 Sequences corresponding to the pole-zero plots of Figure 5.27.



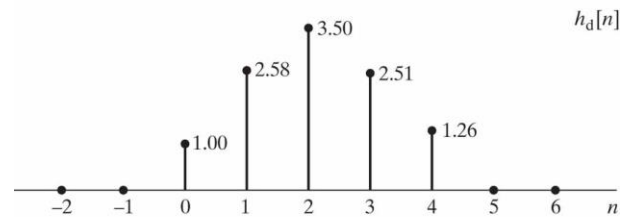
(a)



(b)

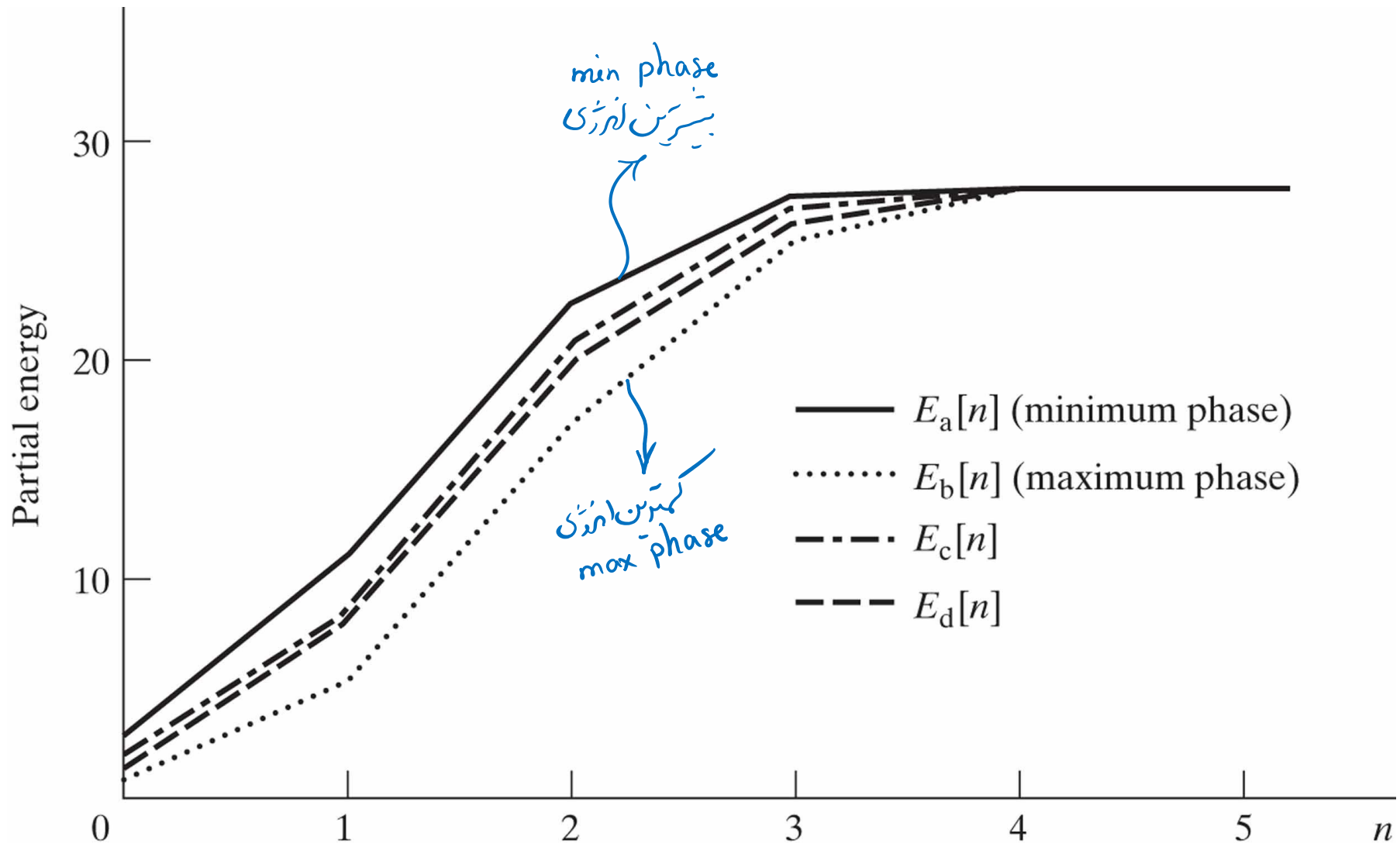


(c)



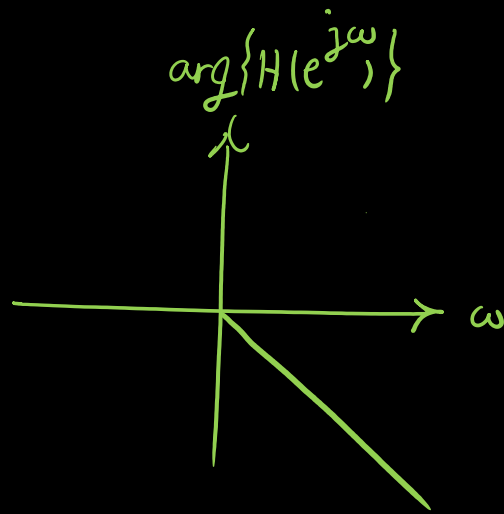
(d)

Figure 5.29 Partial energies for the four sequences of Figure 5.28. (Note that $E_a[n]$ is for the minimum-phase sequence $h_a[n]$ and $E_b[n]$ is for the maximum-phase sequence $h_b[n]$.)



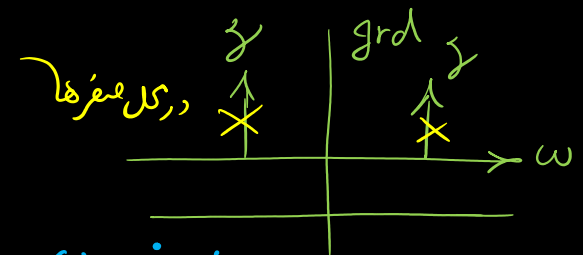
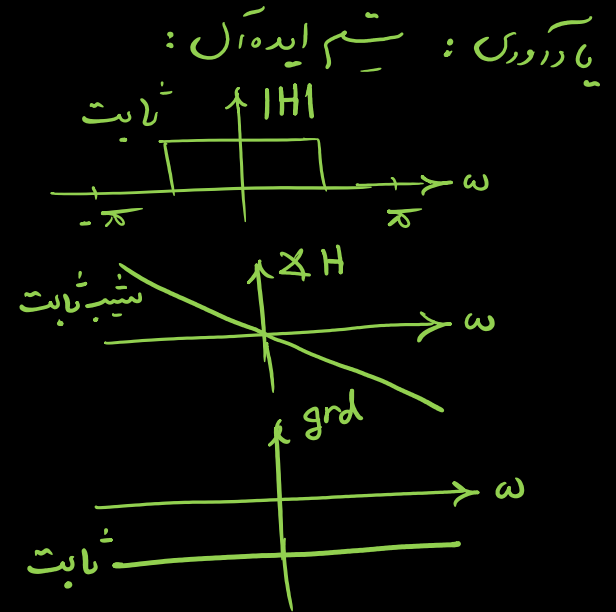
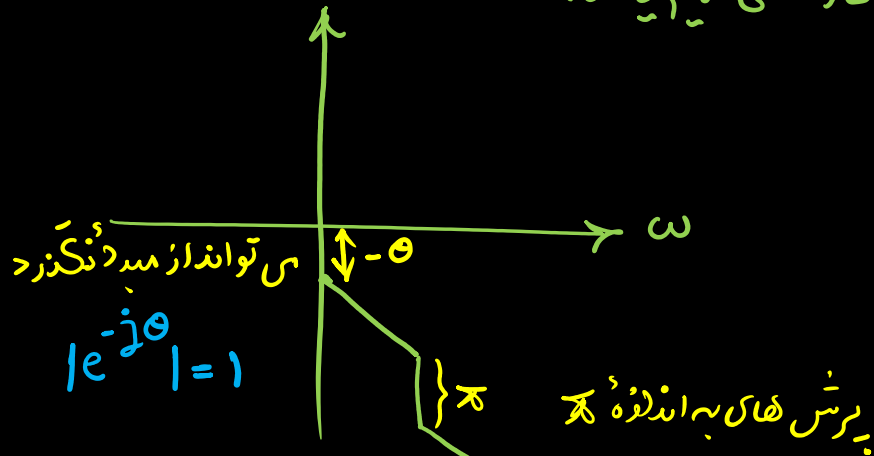
5.7 : سیم‌های خطی با فاز خطی تعمیم یافته :

Generalized Linear Phase



فاز خطی :

فاز خطی تعمیم یافته :



فاز خطی $\frac{\omega}{p} \rightarrow$ صفر روی دایره واحد

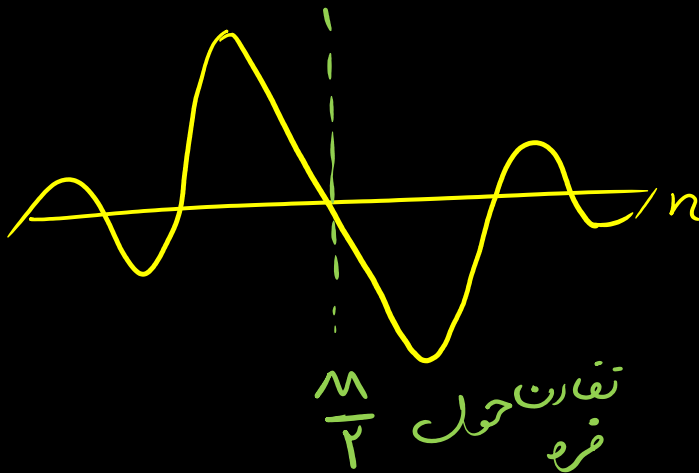
در فرکانس خودش که θ دارد $|H| = 1$ است و فقط عبور می‌کند.

قضیه: اگر $h[n] = e^{j\beta n} h^*[\alpha - n]$ باشد، آنگاه سیم دارای فاز خطی تقسیم یافته است.
 $\alpha, \beta \in \mathbb{R}$

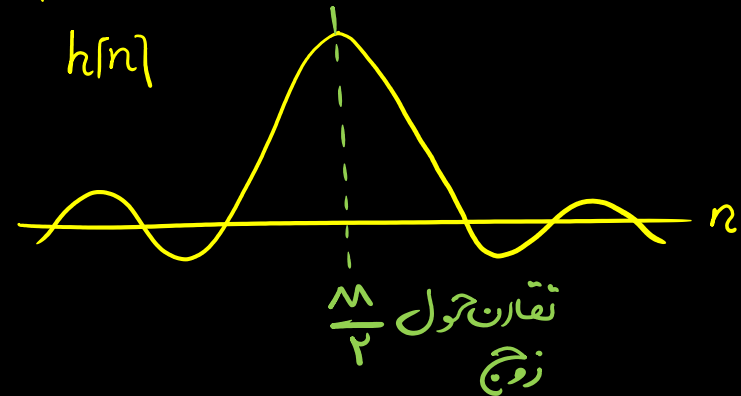
حالت تقارن در پاسخ ضربی: چهار حالت مختلف

مثال: $\beta = 0$
 $\alpha = M$ ثابت زوج مثبت
 حقیقی $h[n]$

$h[n] = -h[M-n]$



$h[n] = h[M-n]$



فاز ایده آل: $h[n]$ متقارن

نکته: در سیستم علی و حقیقی اگر $h[n] = h[M-n]$ باشد. آنگاه سیستم دارای ویژگیهای زیر است:

$$h[n] = -h[M-n]$$

۱- فاز خطی تلیم یافته (ایده آل)

۲- FIR (باصول گسسته): علی و تقارن

۳- پایدار: چون FIR

۴- هر قطبهای $H(z)$ در مبدأ $z=0$ یا $z=1$ یا $z=-1$ ~~زیرا علی است~~
 بهترین محل قطب

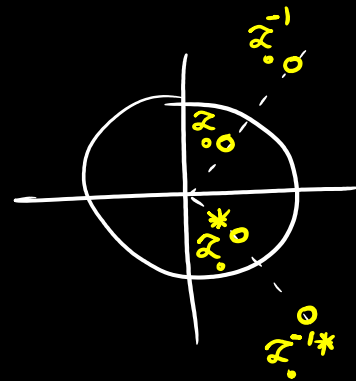
۵- صفرهای $H(z)$ متقارن در z ، z^* ، z^{-1} ، z^{-1*}

اثبات: $h[n] = \pm h[M-n]$ حقیقی

$$H(z) = \pm z^M H(z^{-1})$$

$$H(z) = H^*(z^*)$$

$$\begin{cases} H(z_0) = 0 \\ H(z_0^{-1}) = 0 \\ H(z_0^*) = 0 \\ H(z_0^{1*}) = 0 \end{cases}$$



چهار نوع مختلف سیم‌های علی و حقیقی با فاز حتمی تقسیم یافته :

$$\left\{ \begin{array}{ll} \text{Type I :} & h[n] = h[M-n] \quad \text{زوج و تقارن زوج} \\ \text{Type II :} & h[n] = h[M-n] \quad \text{زوج و تقارن زوج} \\ \text{Type III :} & h[n] = -h[M-n] \quad \text{زوج و تقارن فرد} \\ \text{Type IV :} & h[n] = -h[M-n] \quad \text{فرد و تقارن فرد} \end{array} \right.$$

Figure 5.30 Interpretation of noninteger delay in discrete-time systems.

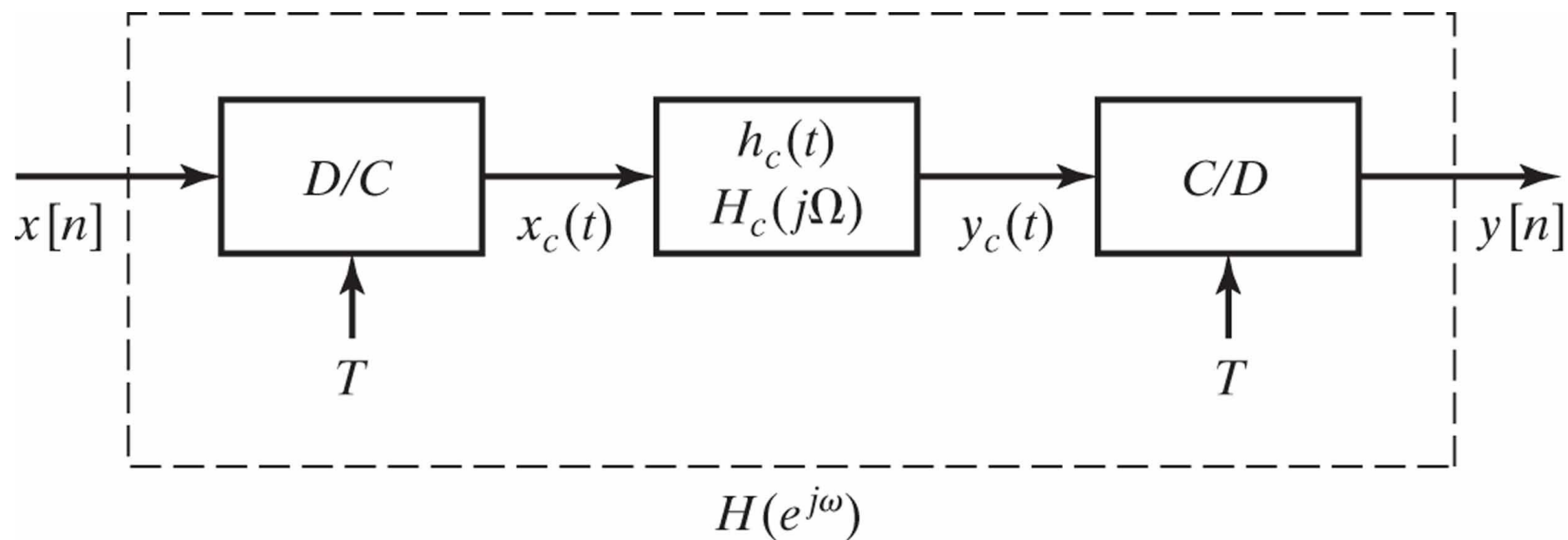


Figure 5.31 Representation of a linear-phase LTI system as a cascade of a magnitude filter and a time shift.

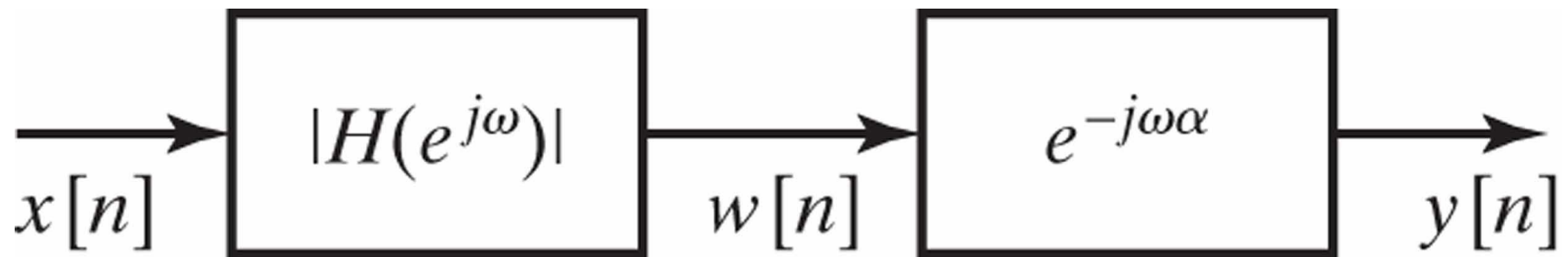
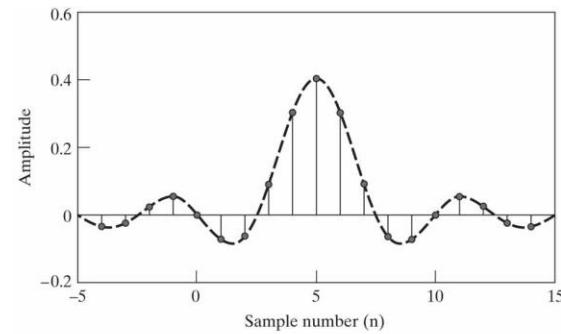
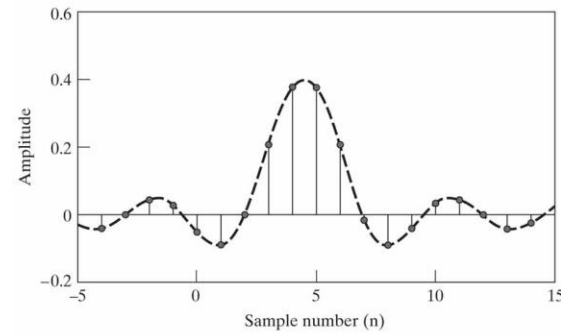


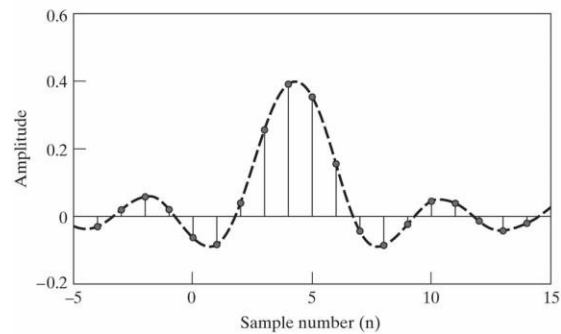
Figure 5.32 Ideal lowpass filter impulse responses, with $\omega_c = 0.4\pi$. (a) Delay = $\alpha = 5$. (b) Delay = $\alpha = 4.5$. (c) Delay = $\alpha = 4.3$.



(a)

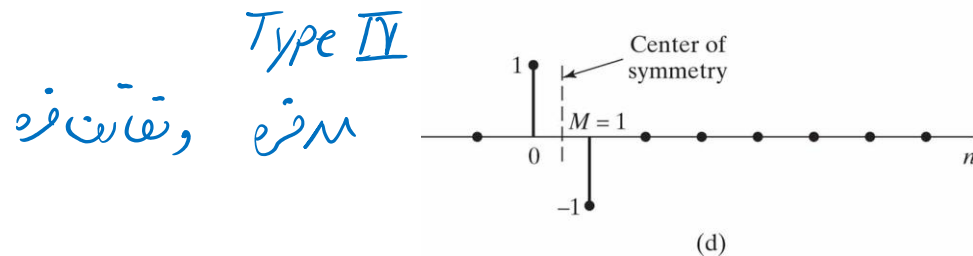
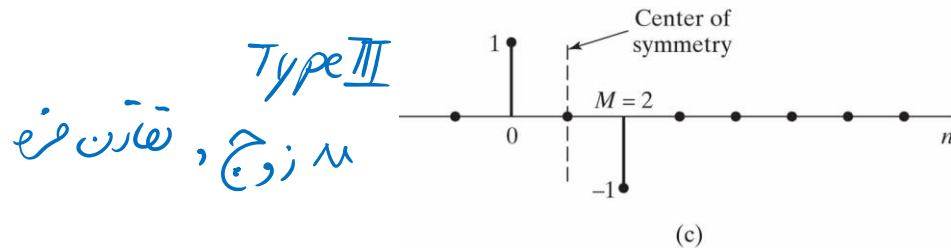
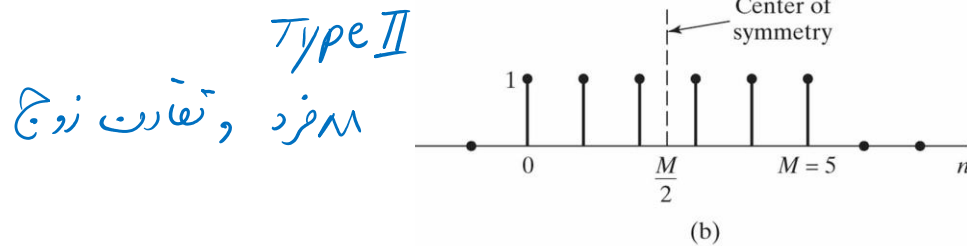
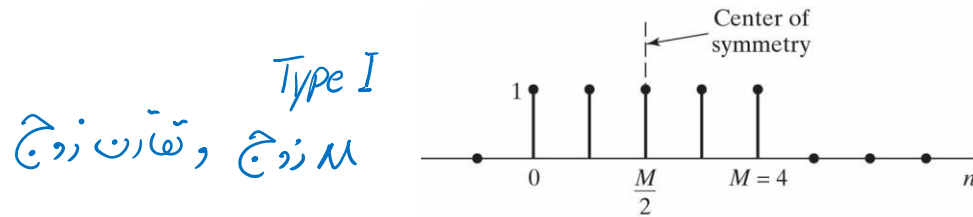


(b)



(c)

Figure 5.33 Examples of FIR linear-phase systems. (a) Type I, M even, $h[n] = h[M - n]$. (b) Type II, M odd, $h[n] = h[M - n]$. (c) Type III, M even, $h[n] = -h[M - n]$. (d) Type IV, M odd, $h[n] = -h[M - n]$.

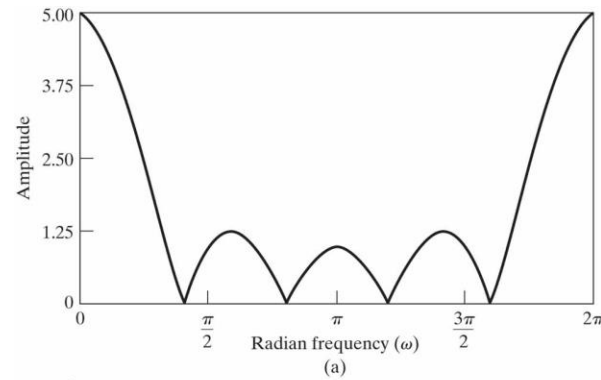


انواع مختلف :

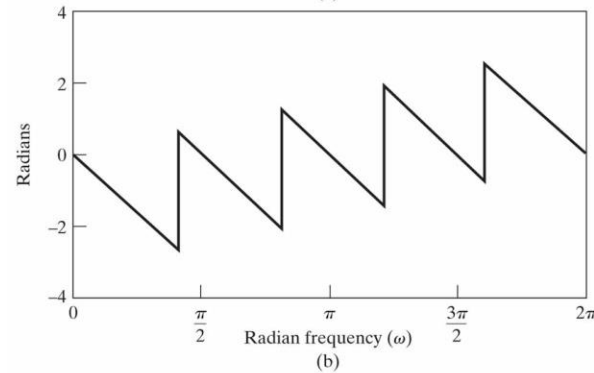
Figure 5.34 Frequency response of type I system of Example 5.15. (a) Magnitude. (b) Phase. (c) Group delay.

اندازه

نوع I، فرکانس



فازناپیوسته



grd

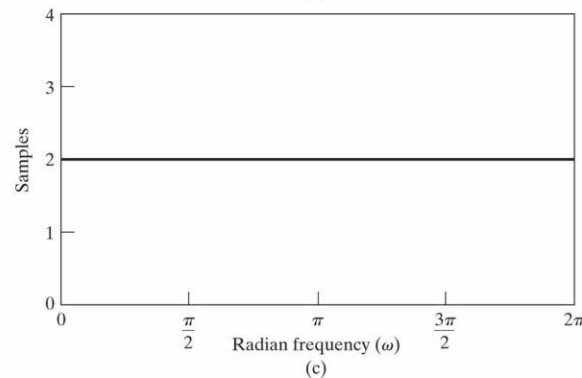
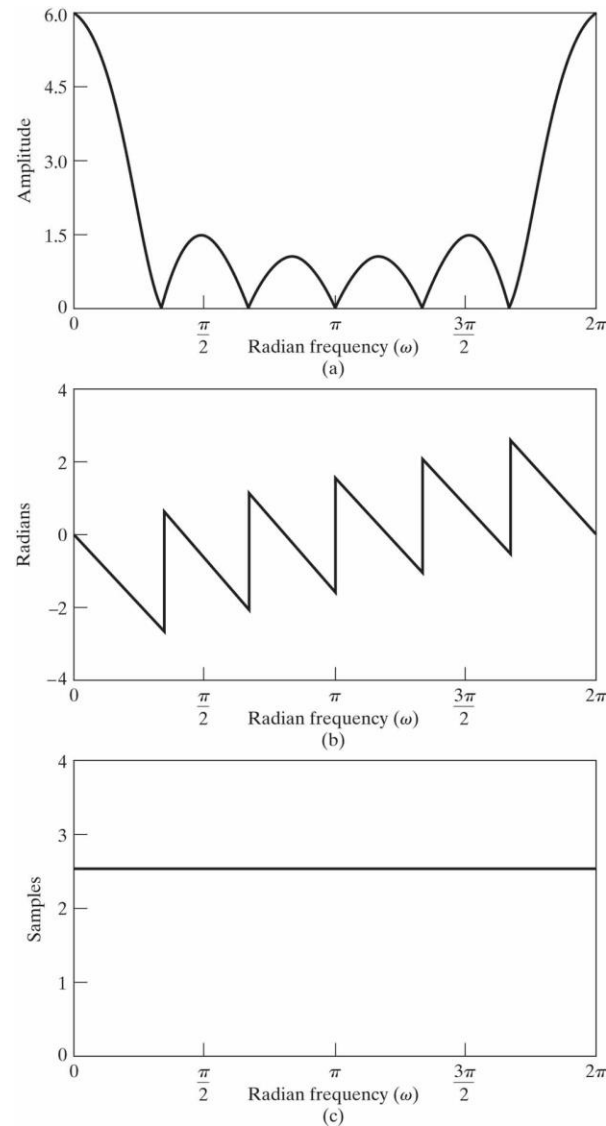
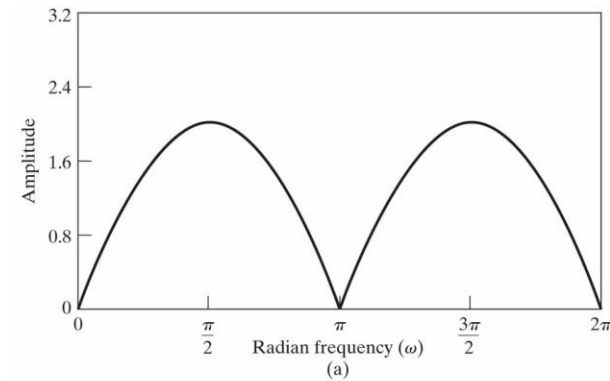


Figure 5.35 Frequency response of type II system of Example 5.16. (a) Magnitude. (b) Phase. (c) Group delay.

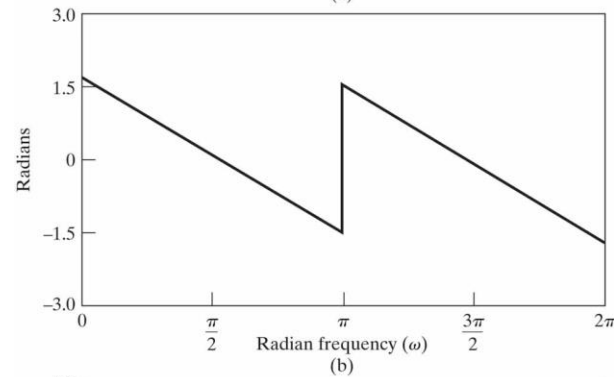


Type II,

Figure 5.36 Frequency response of type III system of Example 5.17. (a) Magnitude. (b) Phase. (c) Group delay.



: Type III



فاز خطی تقسیم یافته

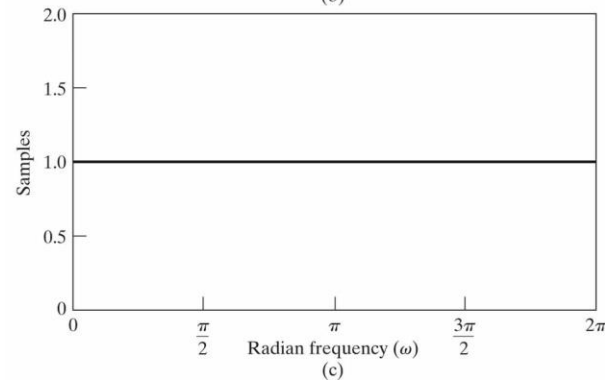
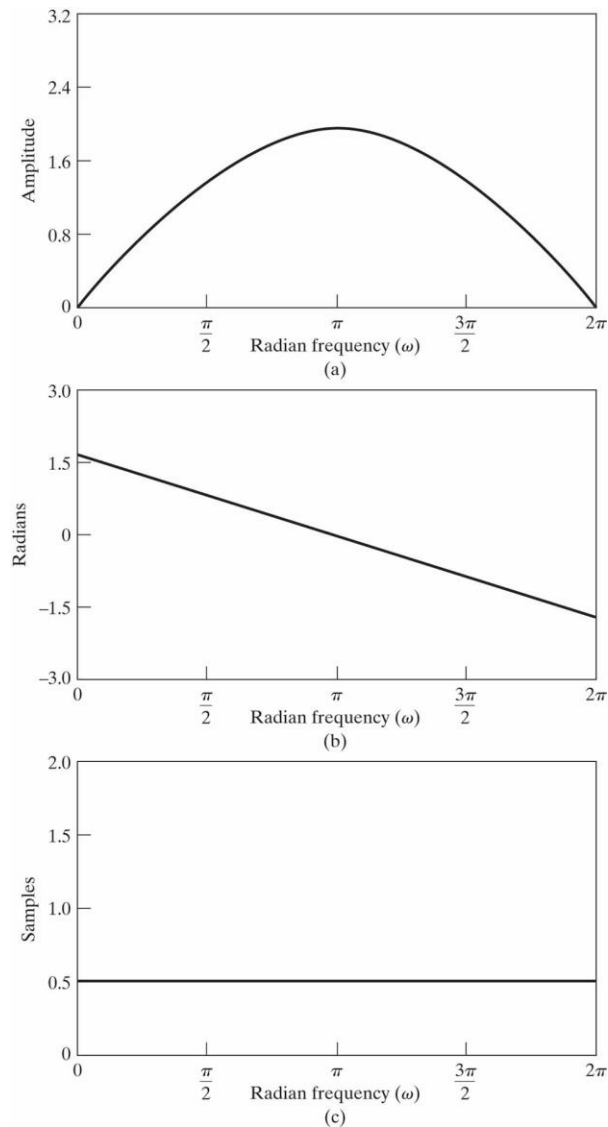


Figure 5.37 Frequency response of type IV system of Example 5.18. (a) Magnitude. (b) Phase. (c) Group delay.

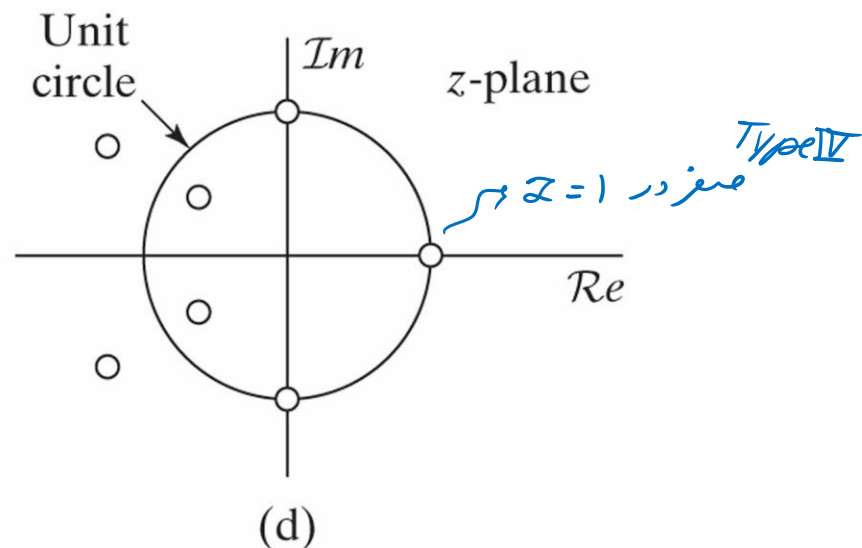
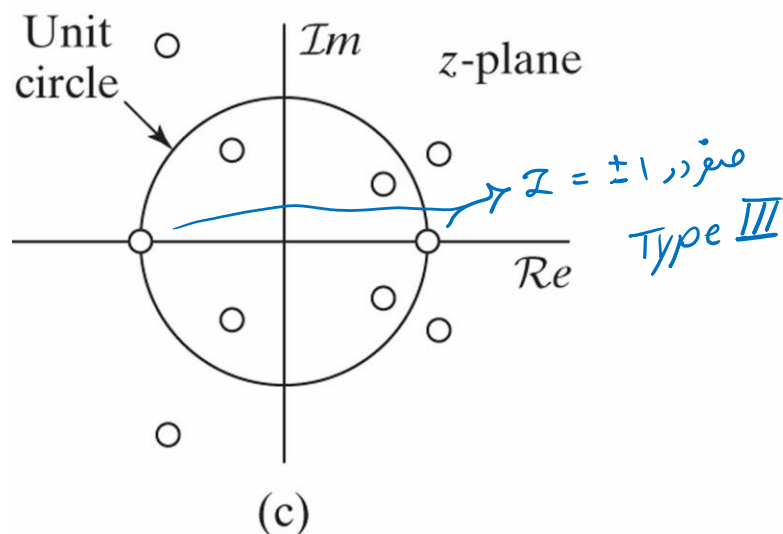
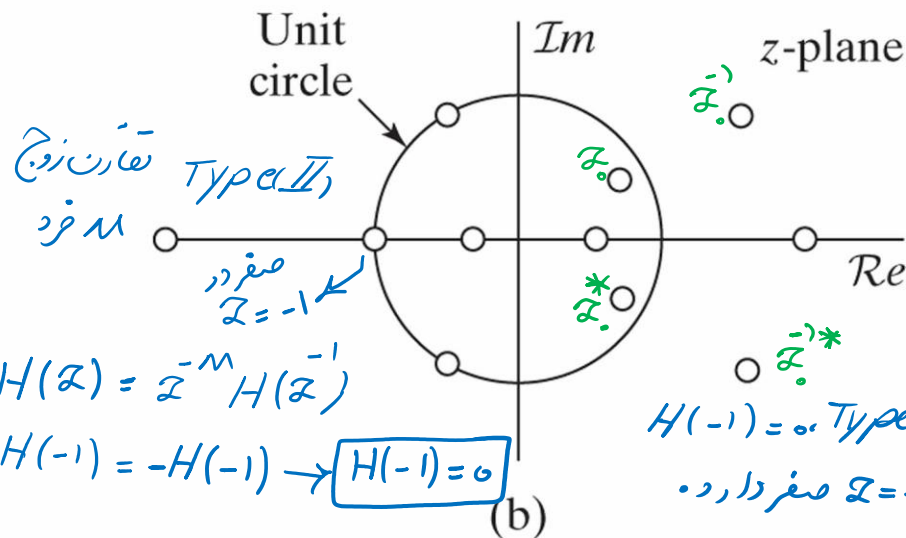
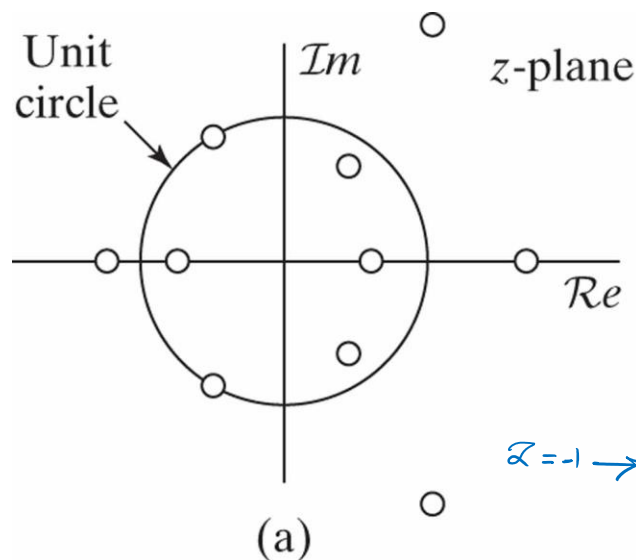


Type IV

قطبها در بیست قرار دارند و برای سازه شکل رسم نشده اند.

کل صفر و قطبها :

Figure 5.38 Typical plots of zeros for linear-phase systems. (a) Type I. (b) Type II. (c) Type III. (d) Type IV.



نکته:

با Type II و Type III نمی توان فیلتر HPF ساخت. زیرا در $\omega = \pi$ که متنفر با \cos فرقش یالا
 است مفرد دارد
 با Type III و Type IV نمی توان فیلتر LPF ساخت. زیرا در $\omega = 0$ که متنفر با \sin فرقش یالا
 است مفرد دارد.

در حالت کلی با عبارت فرکانس می توان LPF ساخت زیرا مولفه های DC را حذف می کند.

$$H(e^{j\omega}) = \sum h[n]e^{-j\omega n} \Rightarrow H(e^{j\omega})|_{\omega=0} = \sum h[n] = 0$$

7.4 رابطه بین سیستم‌های فازخفلی FIR و سیستم‌های کمینه فاز:

$$H(z) = H_{\min}(z) H_{uc}(z) H_{\max}(z)$$

کمینه فاز Unit Circle بیشینه فاز

$$H_{\max}(z) = H_{\min}(z^{-1}) z^{-M_i}$$

$$H_{\min}(z) : M_i \text{ قطب‌های } z^{-1}$$

$$H_{uc}(z) : M_0 \text{ قطب روی دایره واحد}$$

$$M = 2M_i + M_0 \text{ تعداد قطب‌ها}$$

مثال: تجزیه سیستم بانفاز خطی:

از مثال 13
جبران سازی

$$\rightarrow H_{max}(z) = (0.9)^2 (1 - 1.1111 e^{j0.6\pi} z^{-1}) (1 - 1.1111 e^{-j0.6\pi} z^{-1}) \\ \times (1 - 1.2 \omega e^{j0.8\pi} z^{-1}) (1 - 1.2 \omega e^{-j0.8\pi} z^{-1})$$

→ Fig 39

سیستم بانفاز، خطی $\underline{H(z)} = H_{min}(z) H_{max}(z)$

→ Fig 40

$$\text{grad } [H(e^{j\omega})] = M_i = 4$$

برای این مثال

Figure 5.39 Frequency response of maximum-phase system having the same magnitude as the system in Figure 5.25. (a) Log magnitude. (b) Phase (principal value). (c) Group delay.

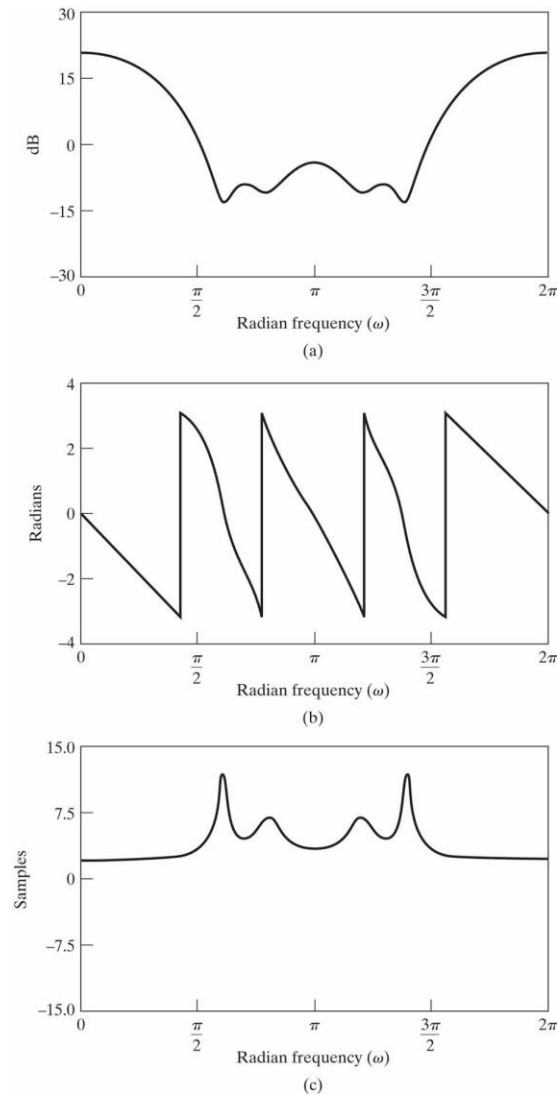
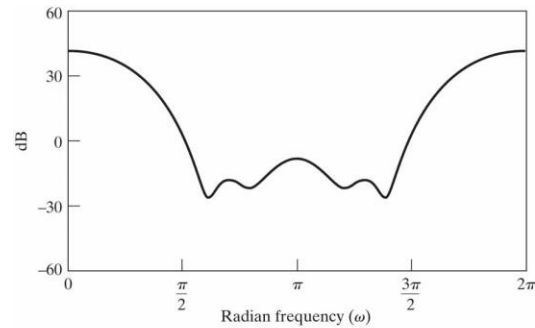
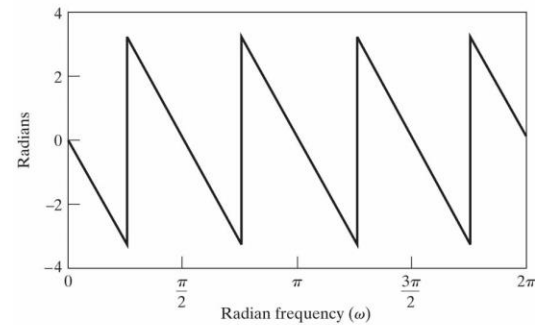


Figure 5.40 Frequency response of cascade of maximum-phase and minimum-phase systems, yielding a linear-phase system. (a) Log magnitude. (b) Phase (principal value). (c) Group delay.



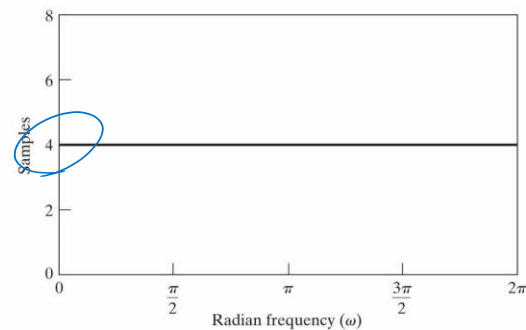
(a)

فاز خطی



(b)

تأخیر



(c)

Figure P5.1-1

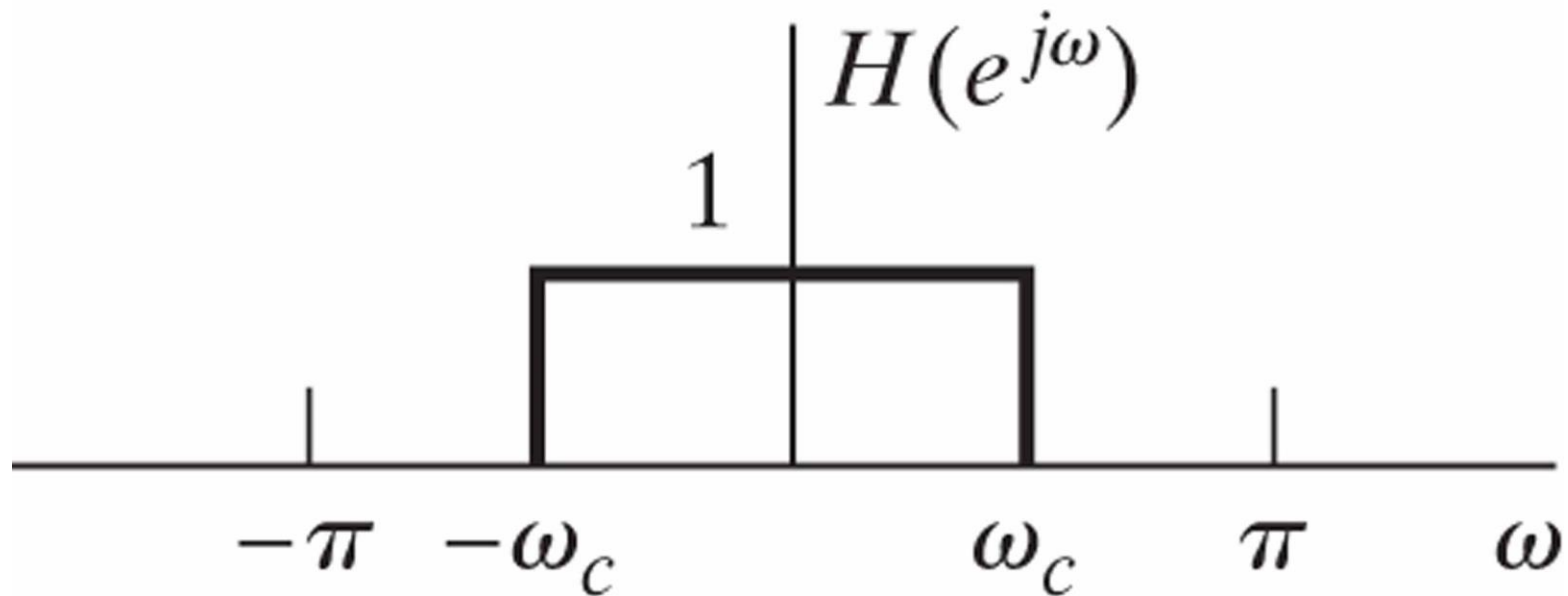
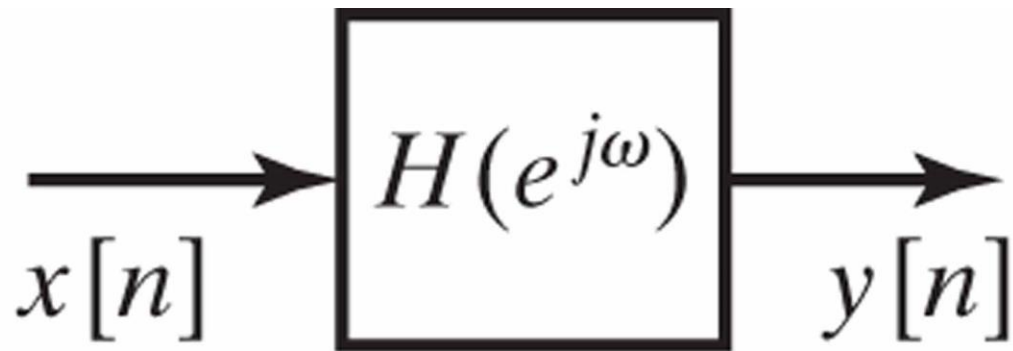


Figure P5.1-2

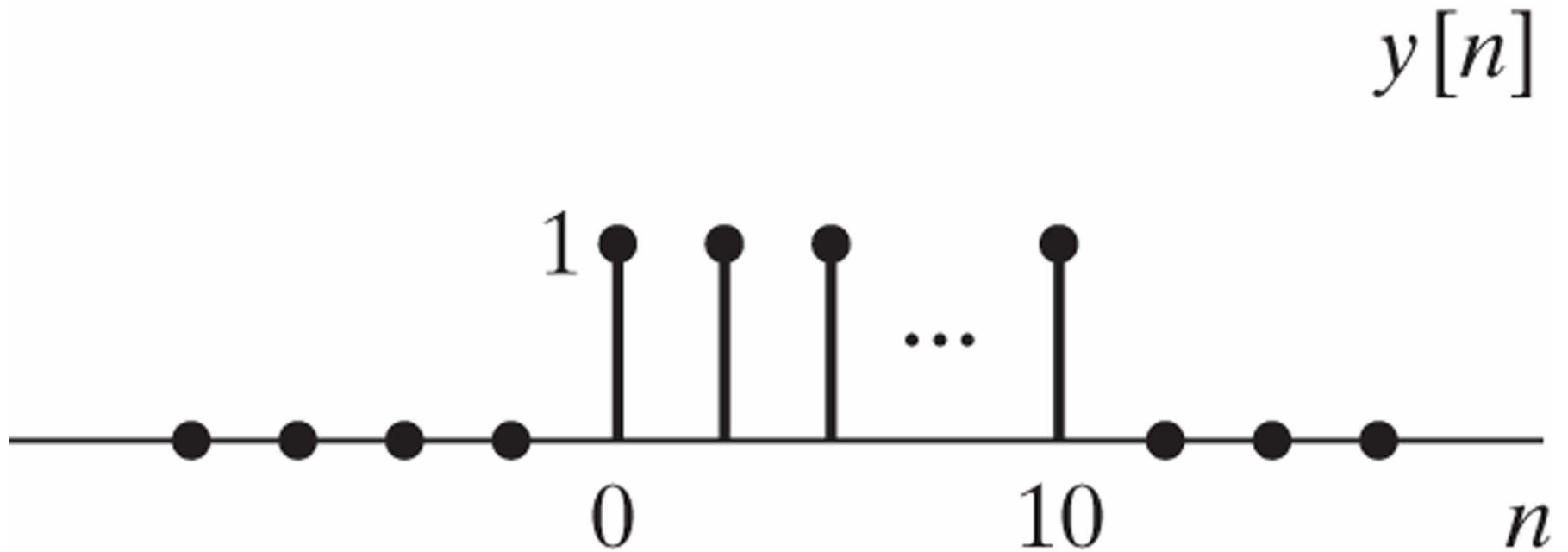


Figure P5.10

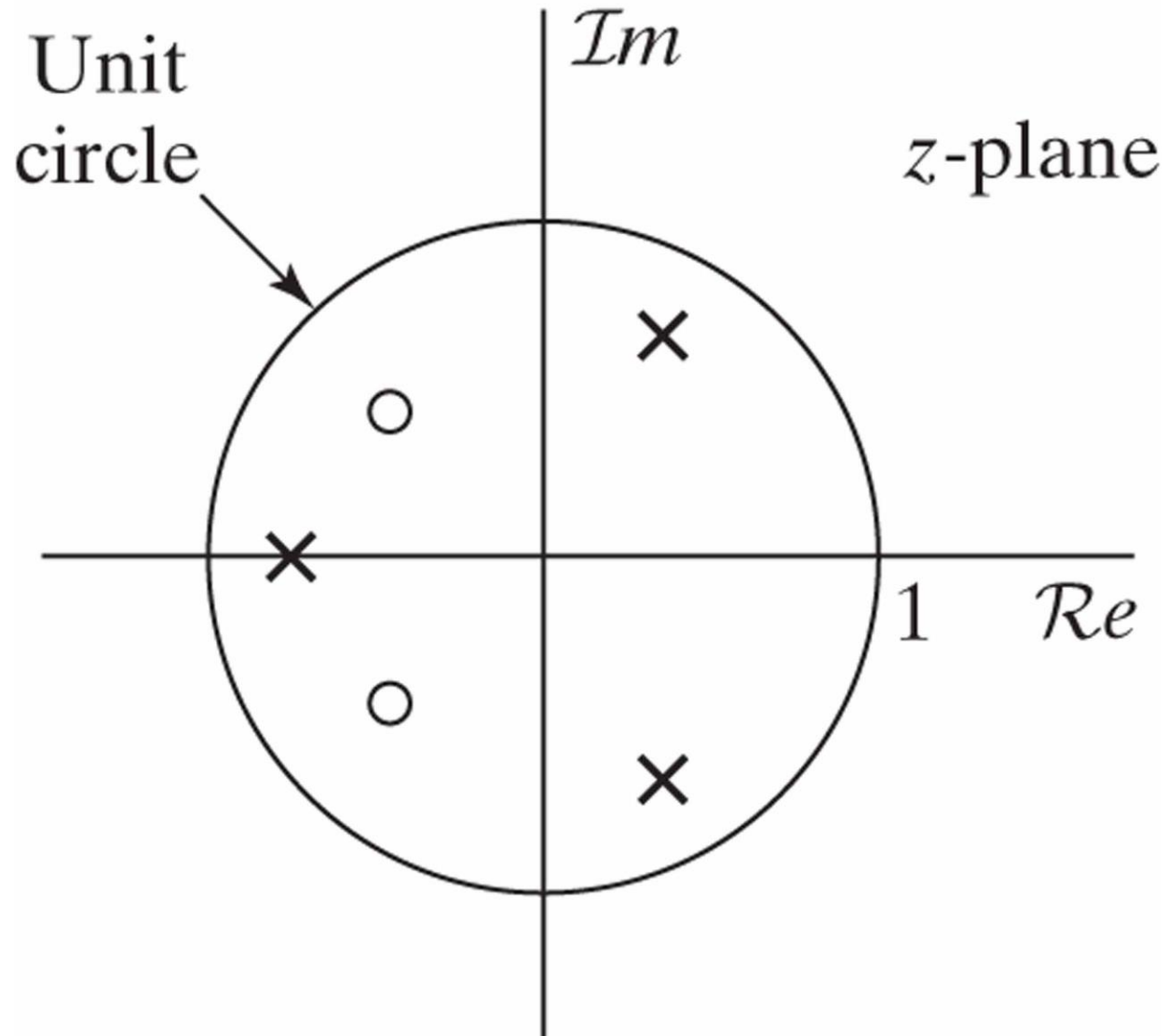


Figure P5.11

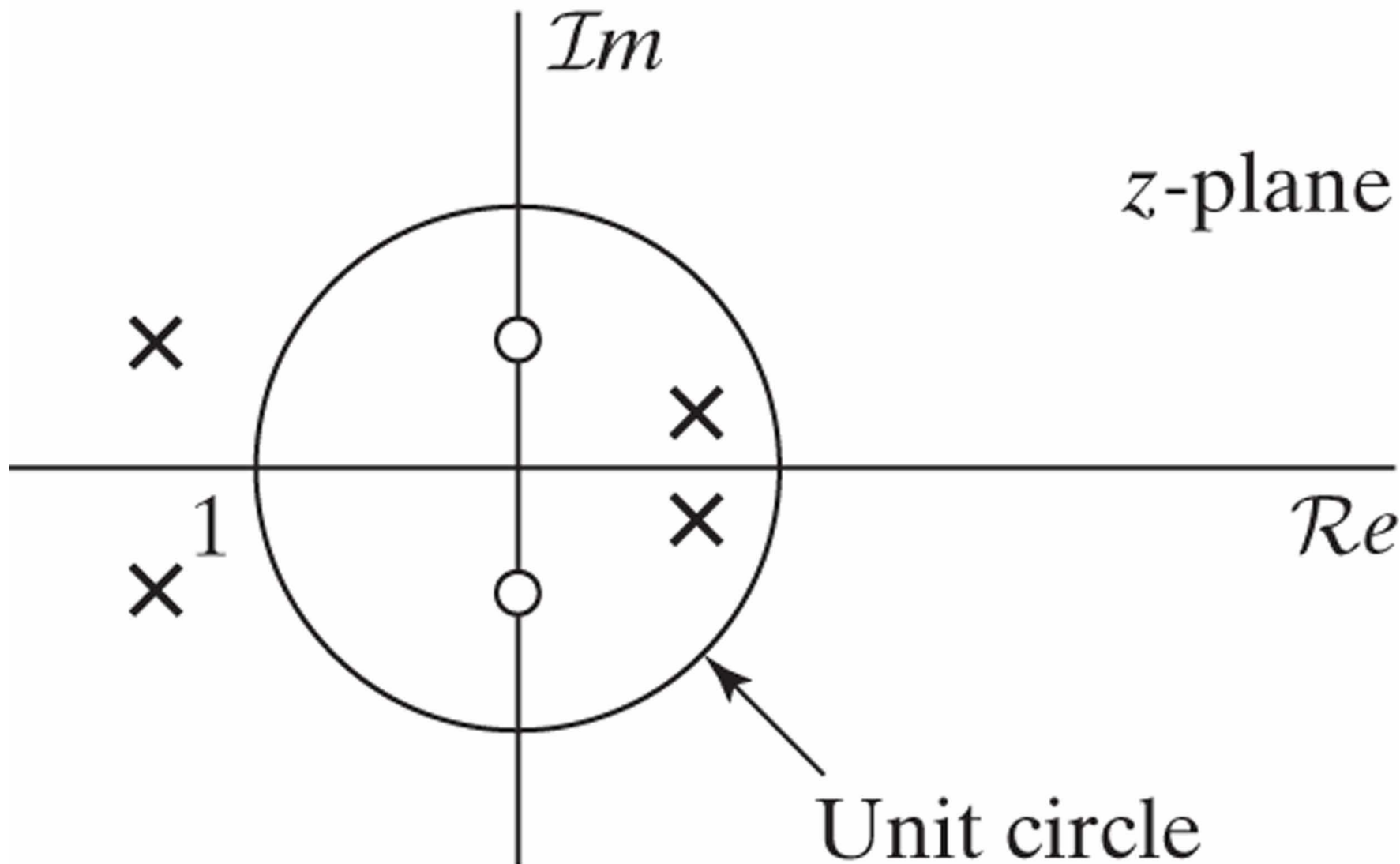


Figure P5.13

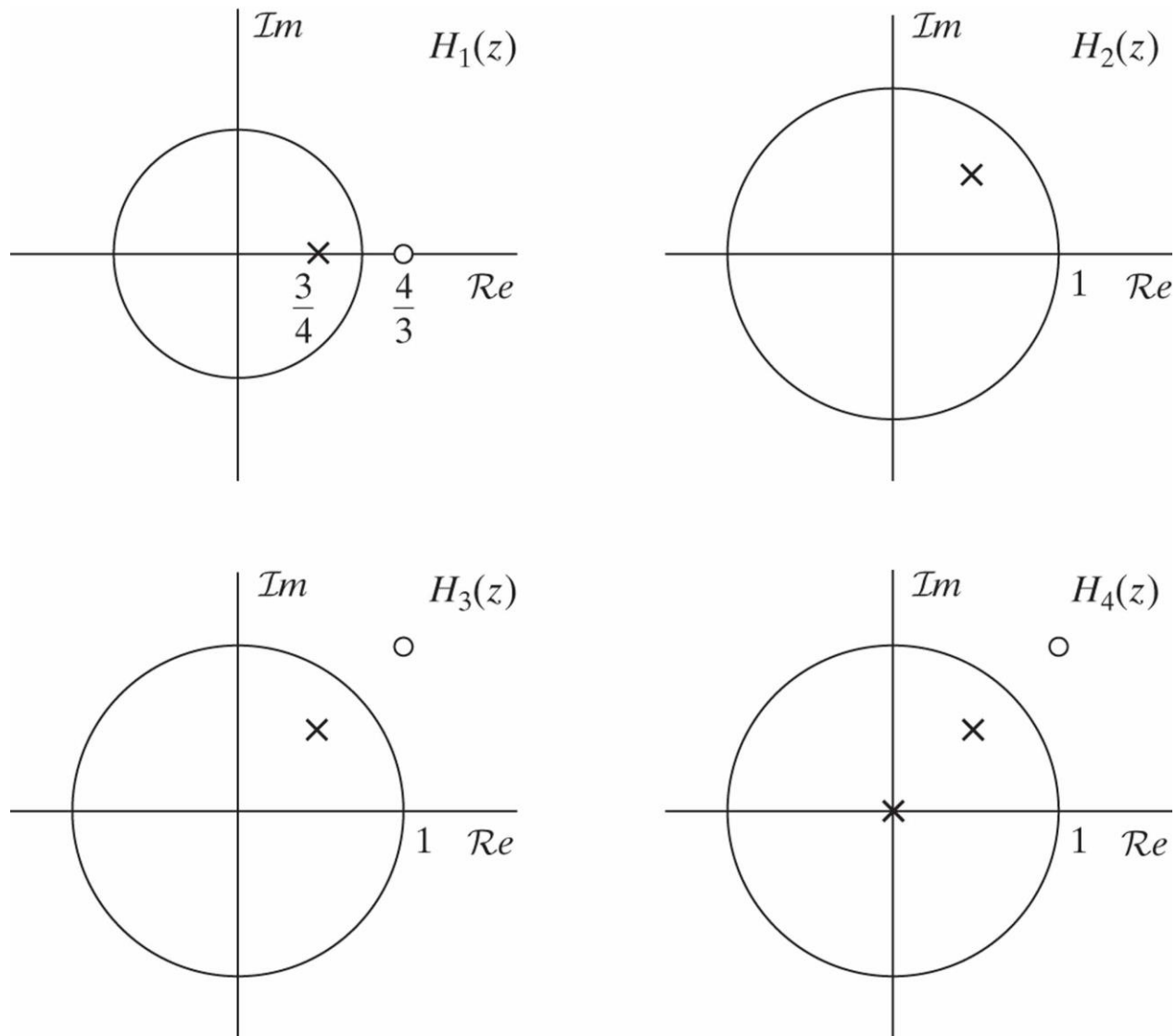


Figure P5.15

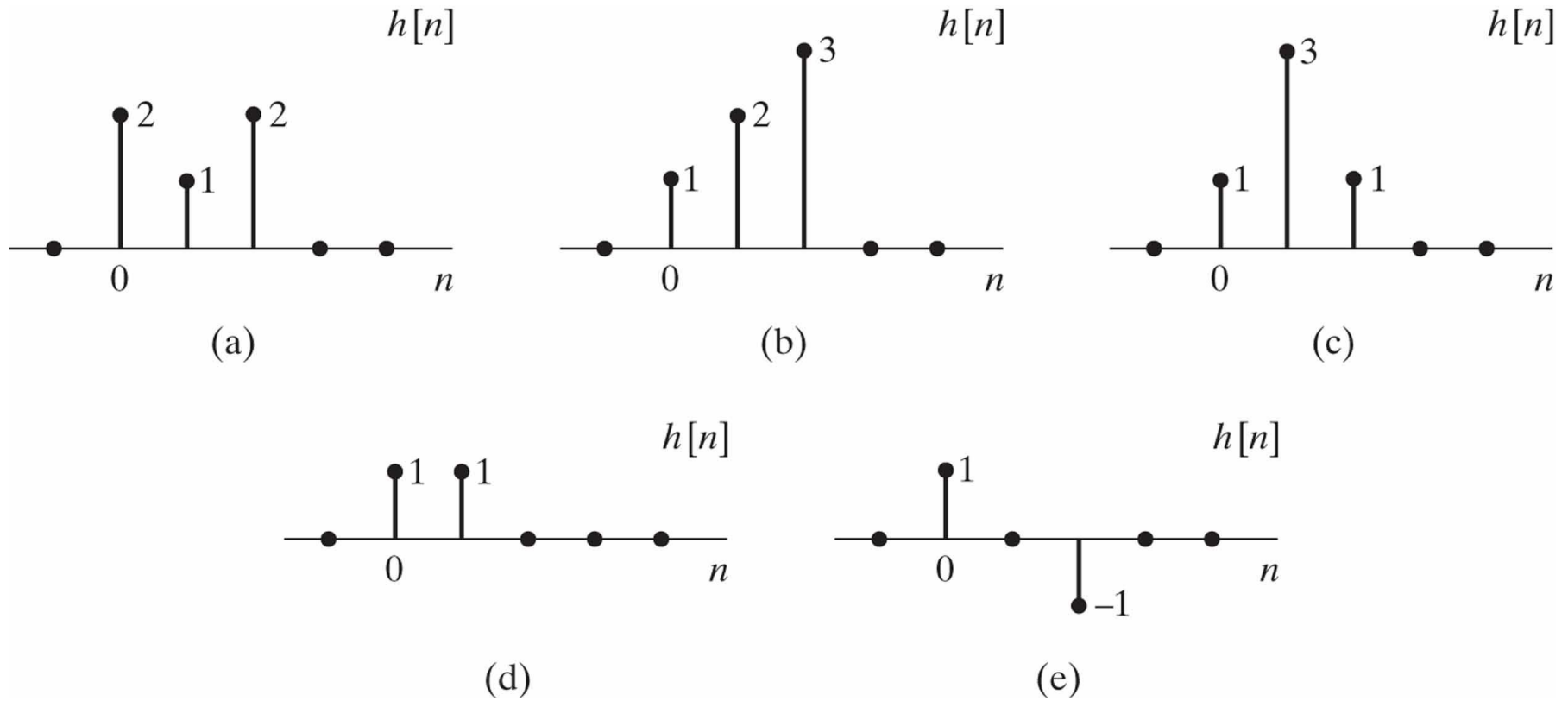


Figure P5.16

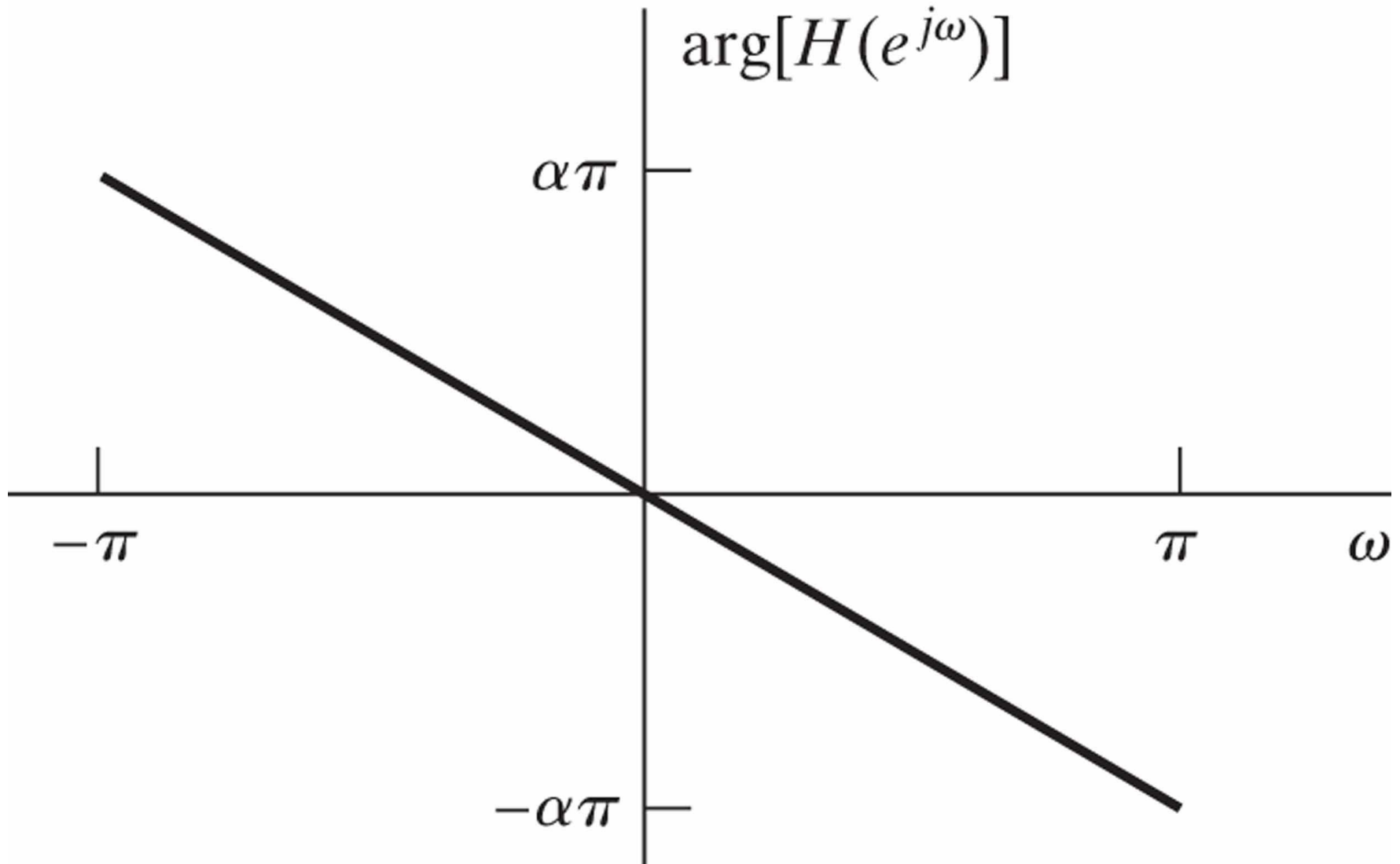


Figure P5.19

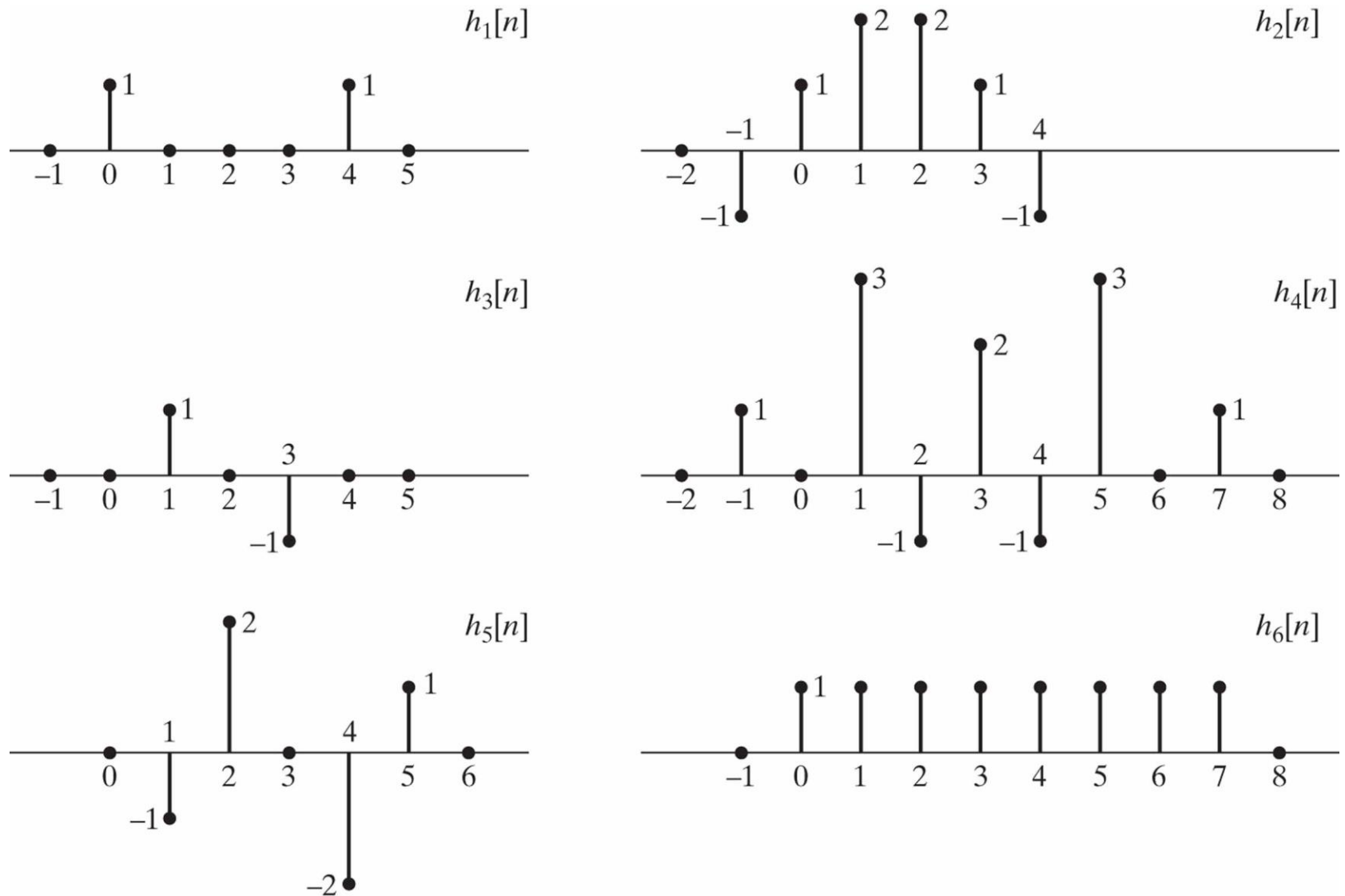


Figure P5.20

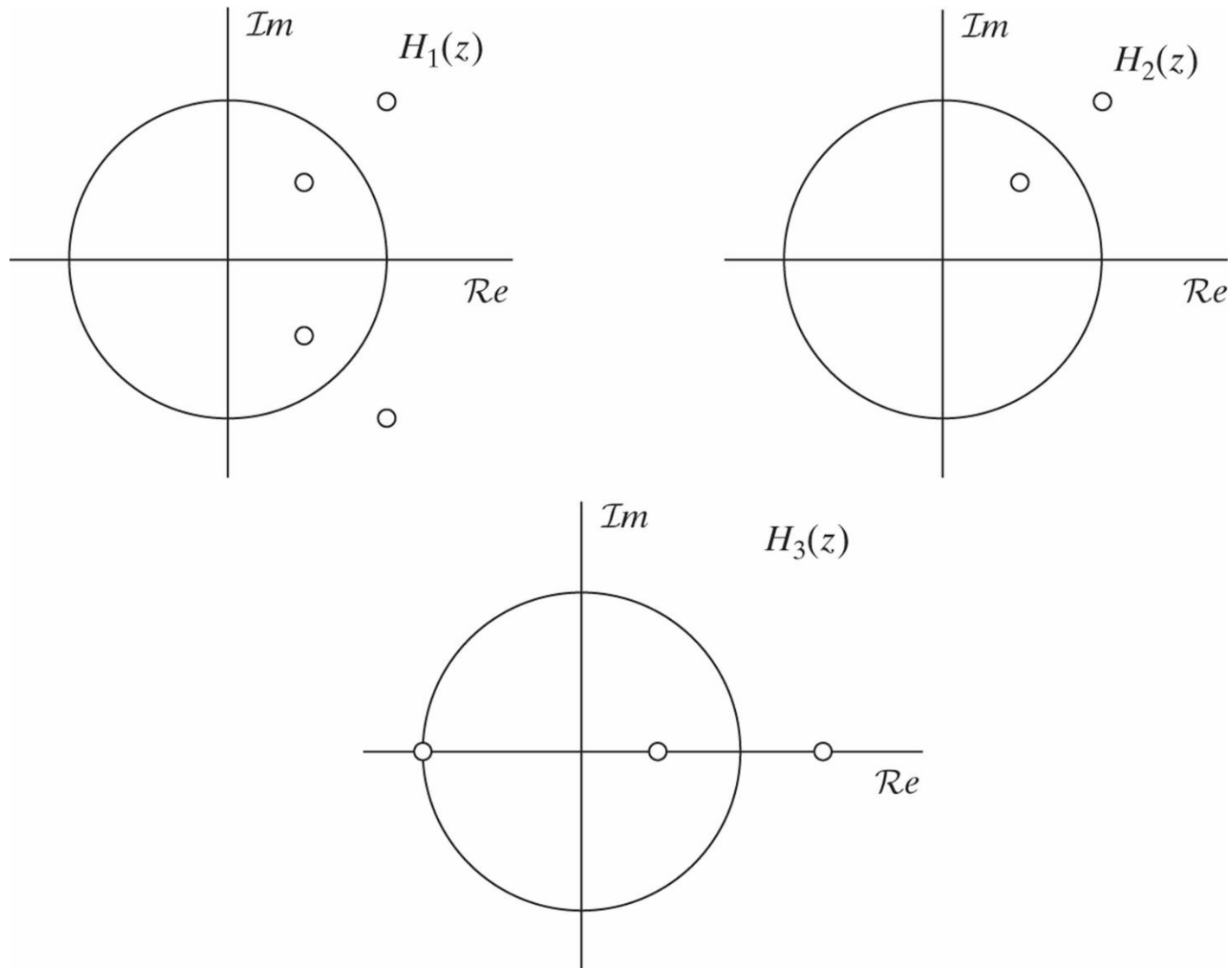
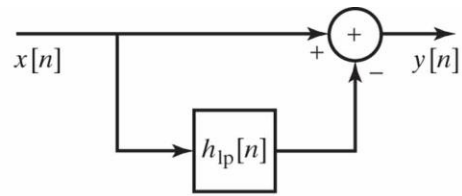
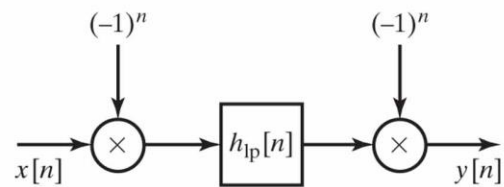


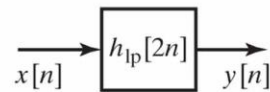
Figure P5.21



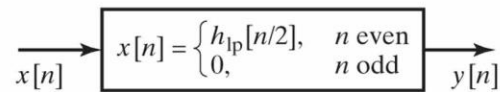
(a)



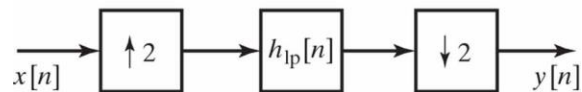
(b)



(c)



(d)



(e)

Figure P5.24 Pole-zero diagram for $H(z)$.

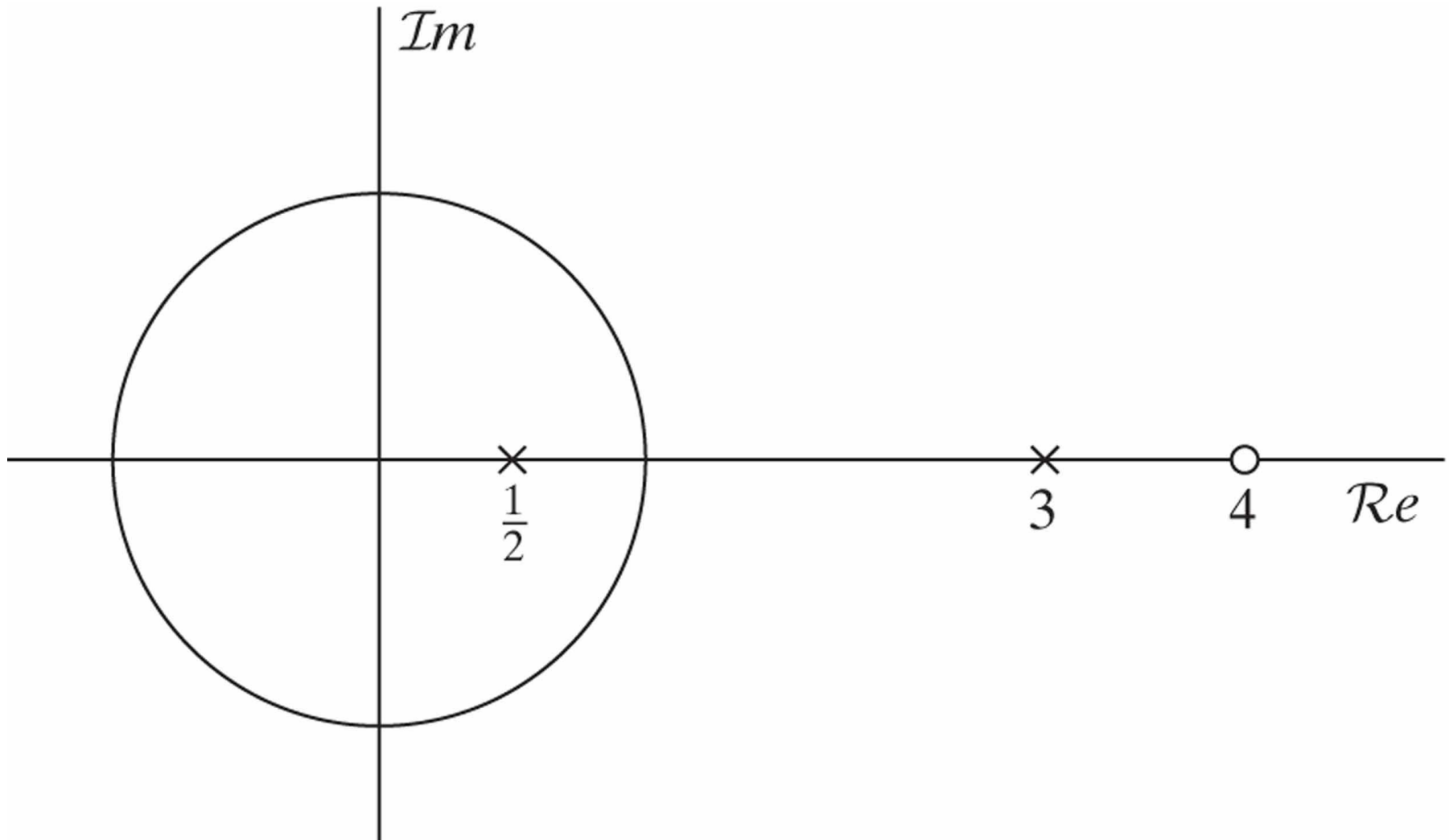


Figure P5.25

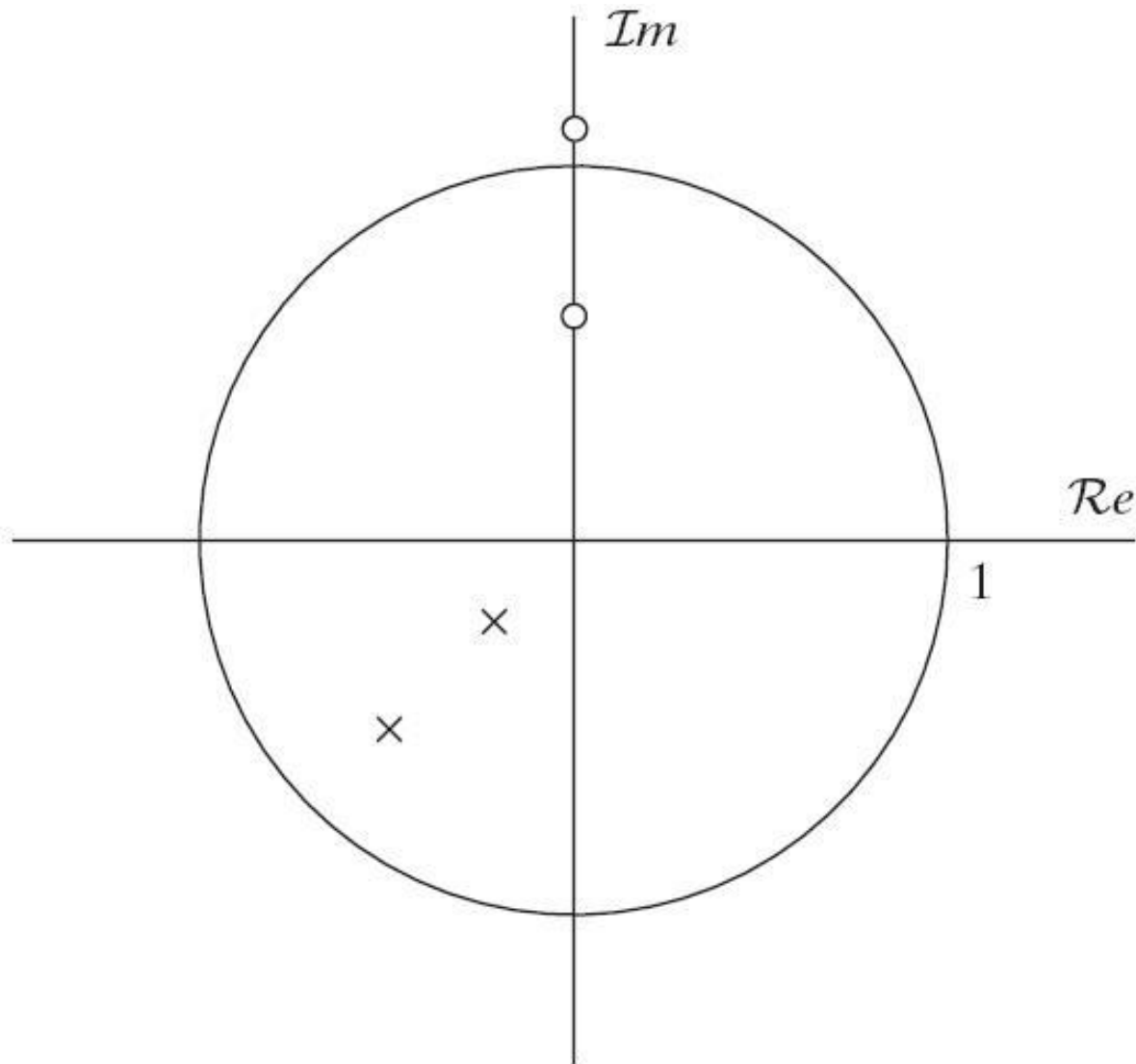


Figure P5.29

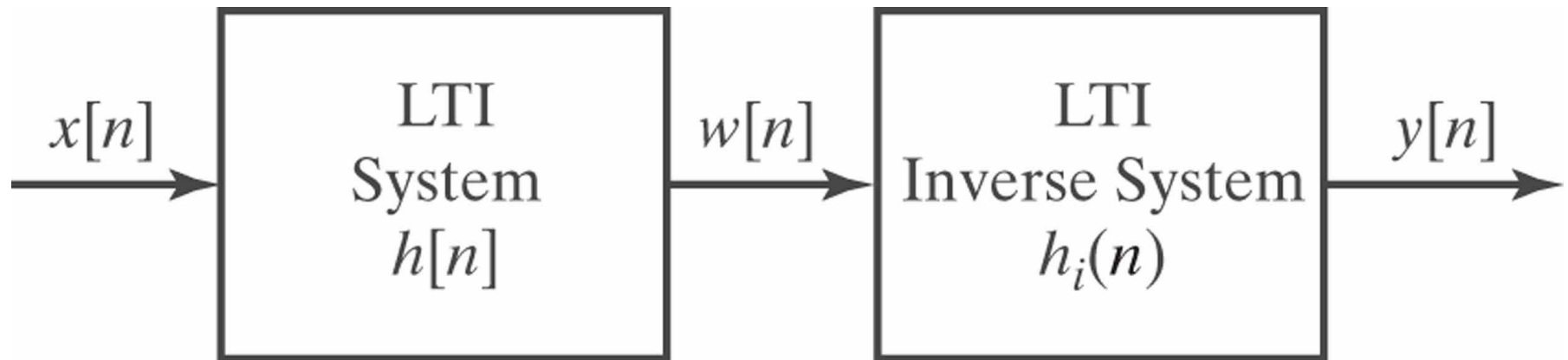


Figure P5.32

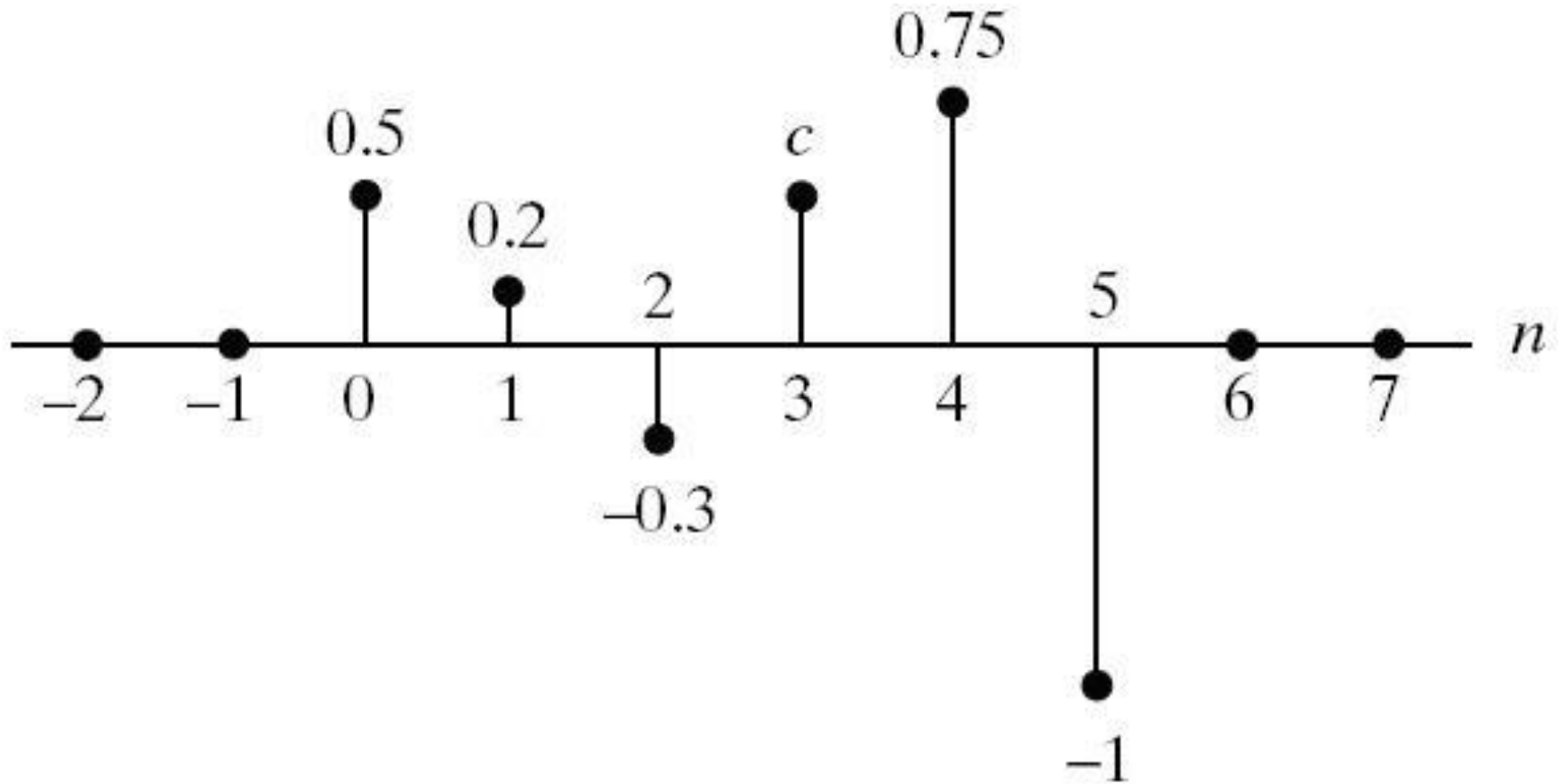


Figure P5.34-1 The input signal and the filter frequency response

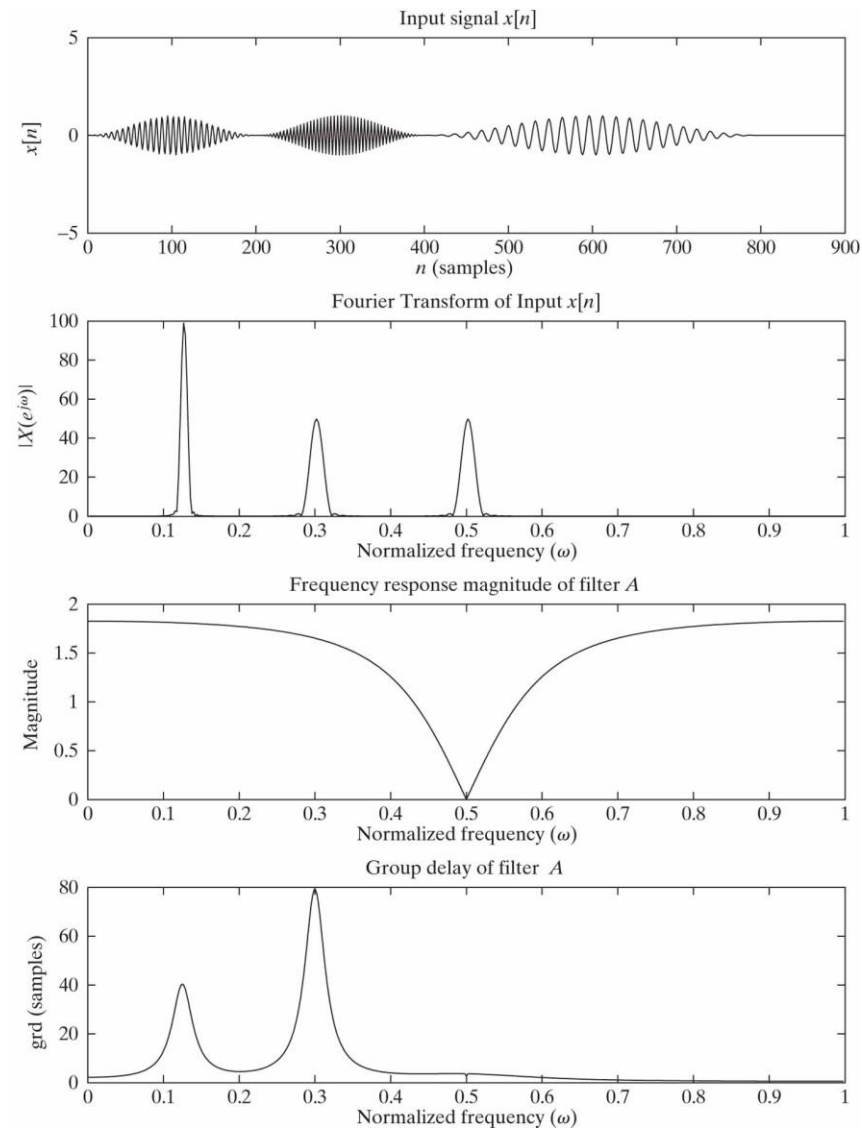


Figure P5.34-2 Possible output signals

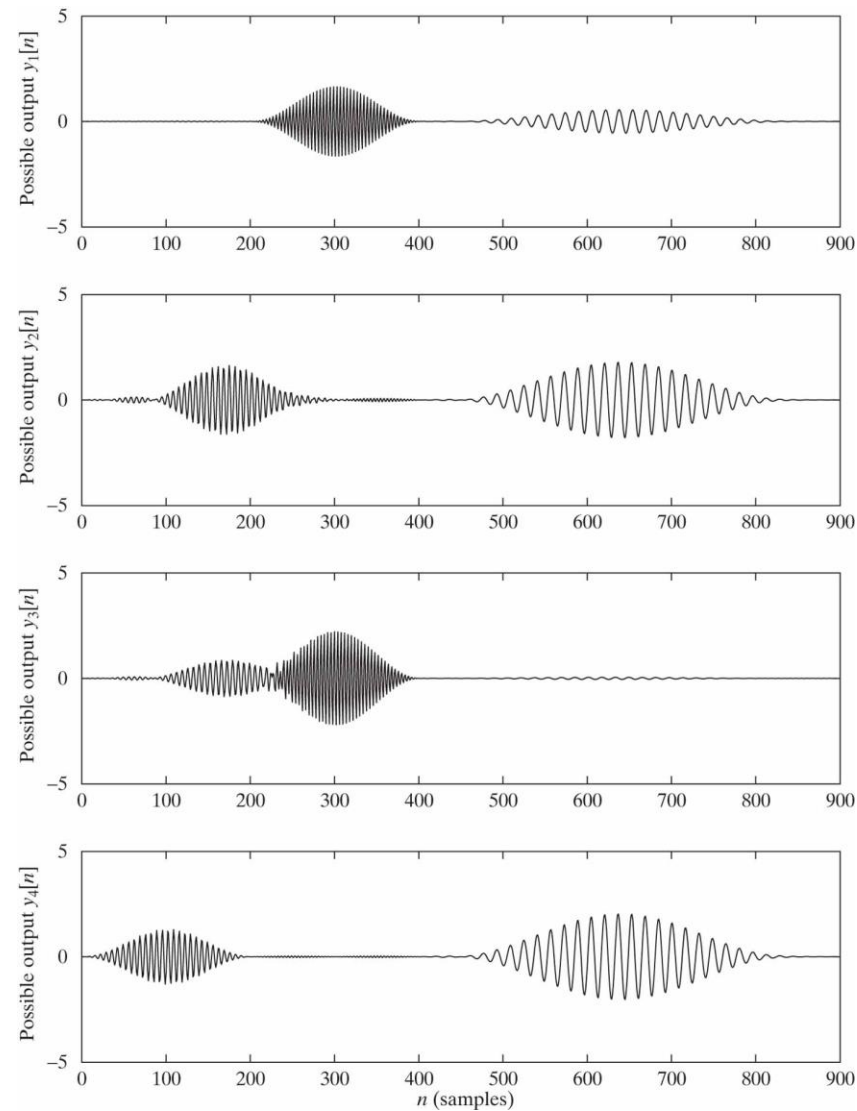


Figure P5.42

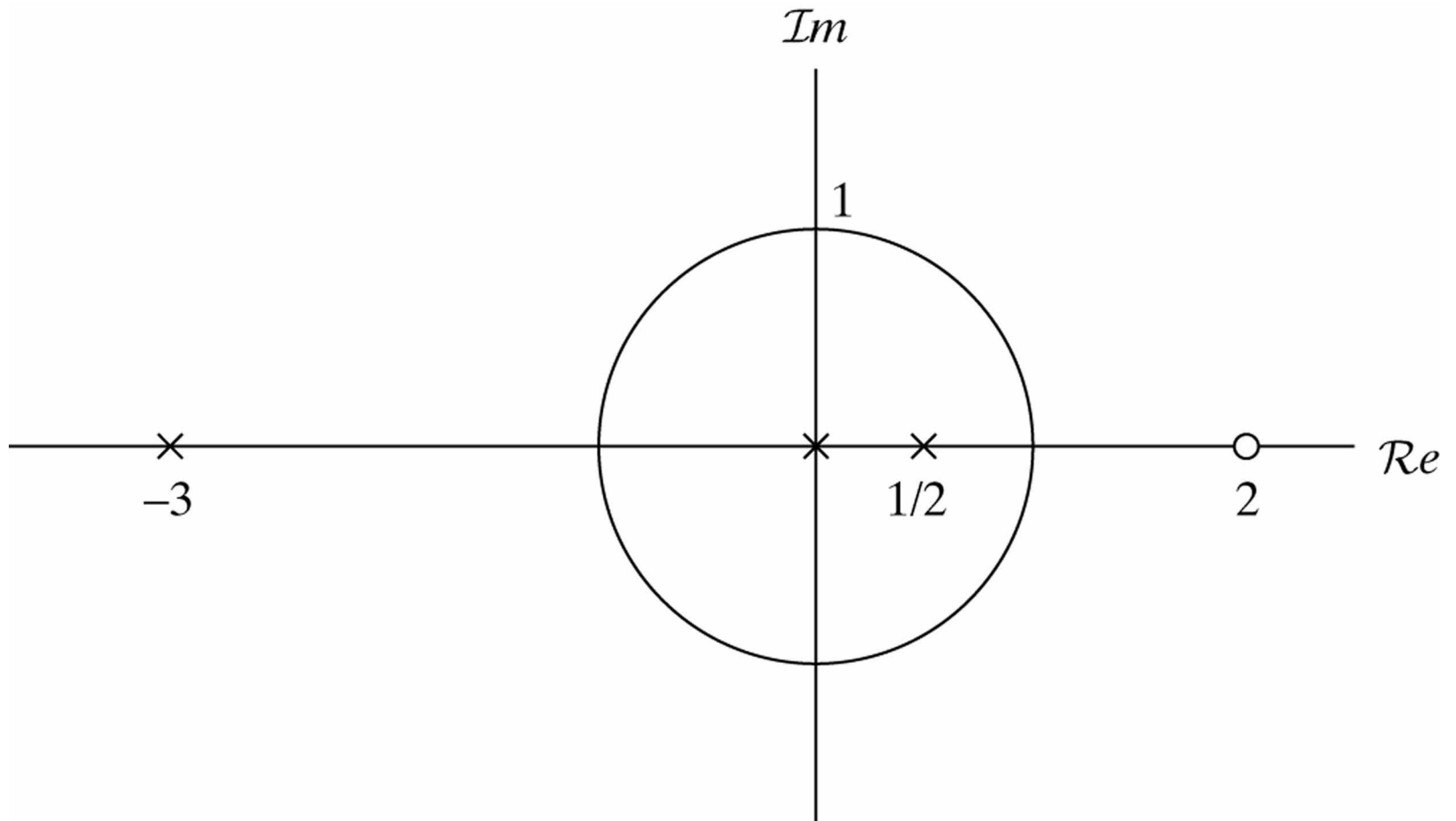


Figure P5.44

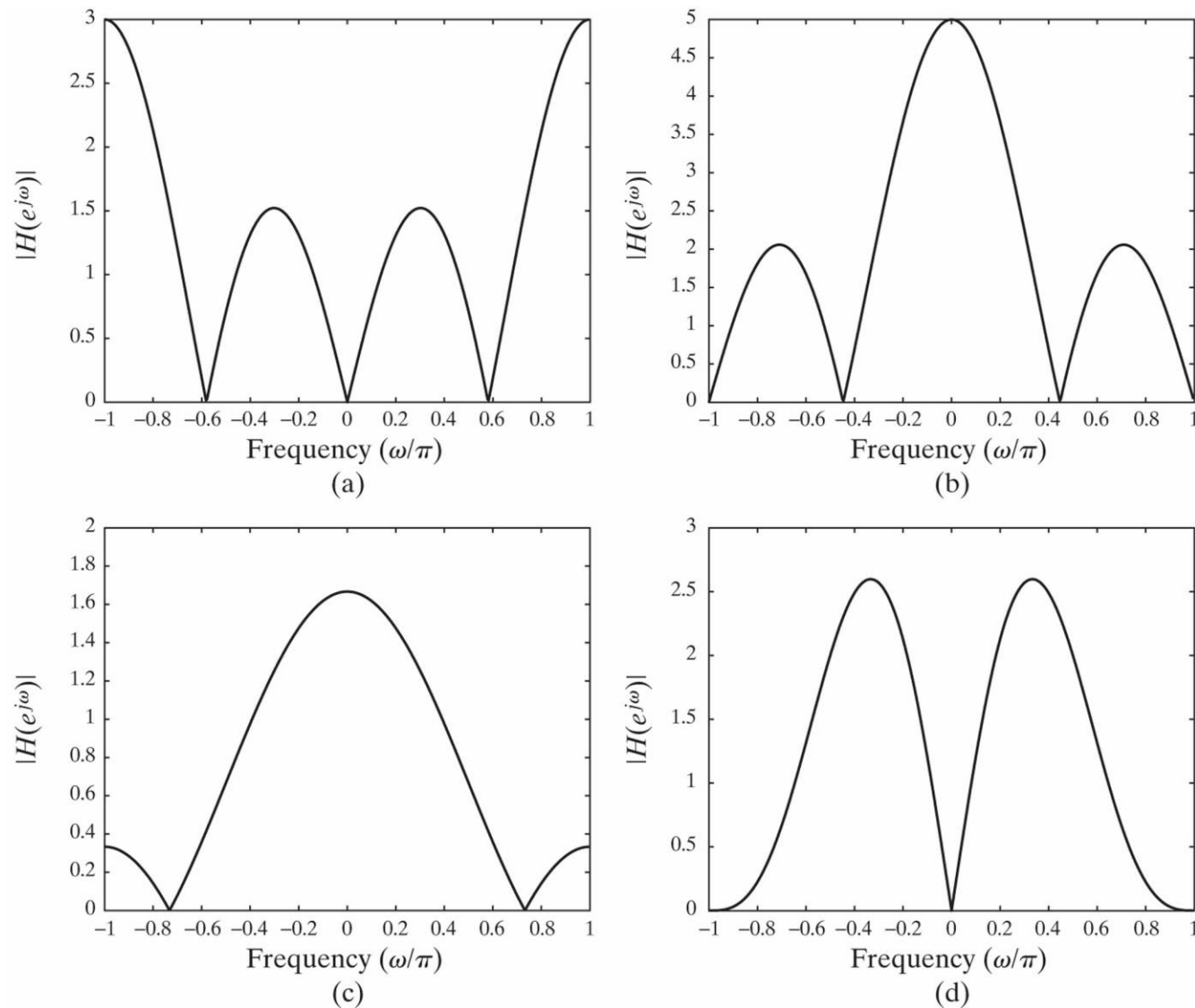


Figure P5.45

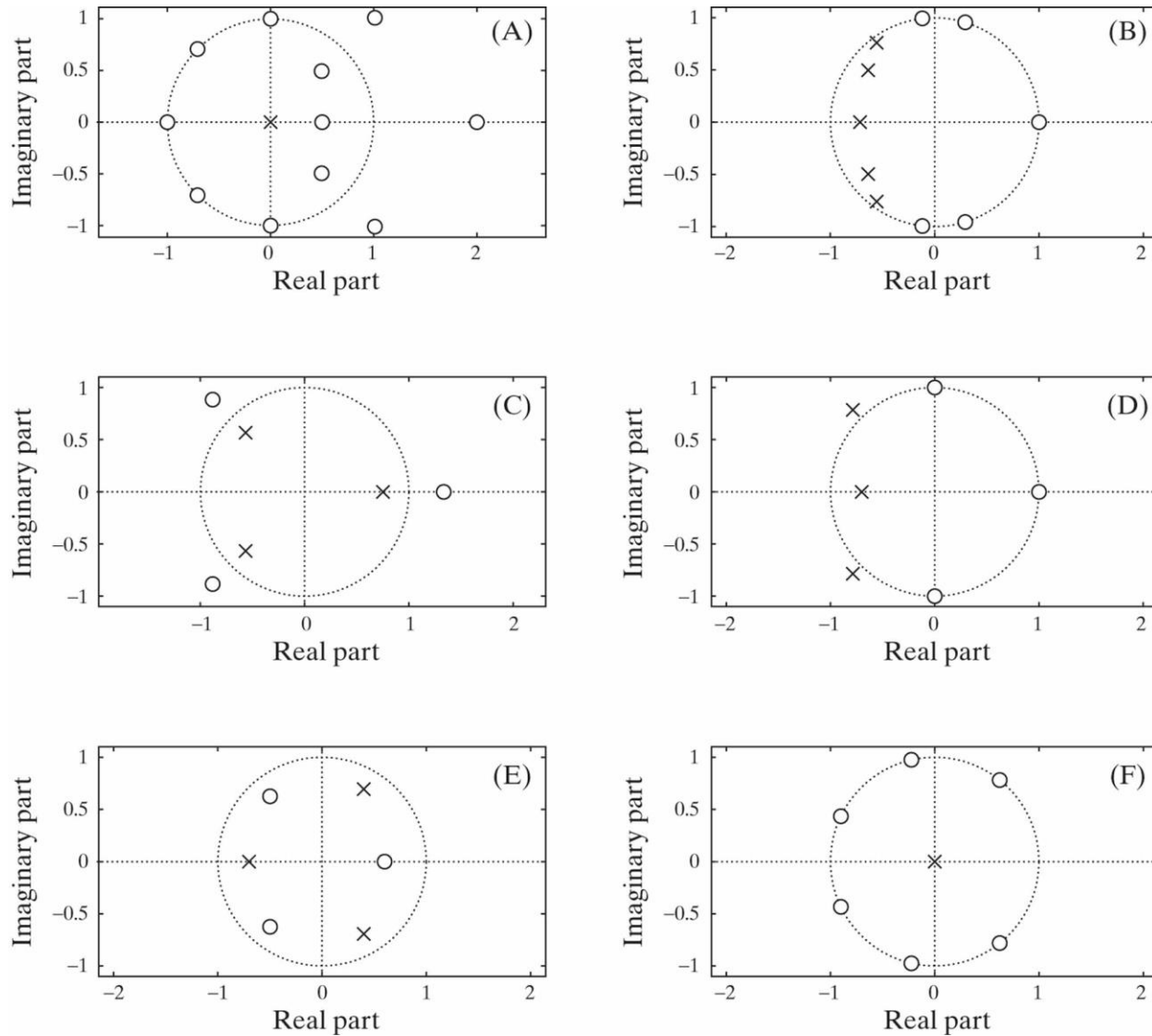


Figure P5.46

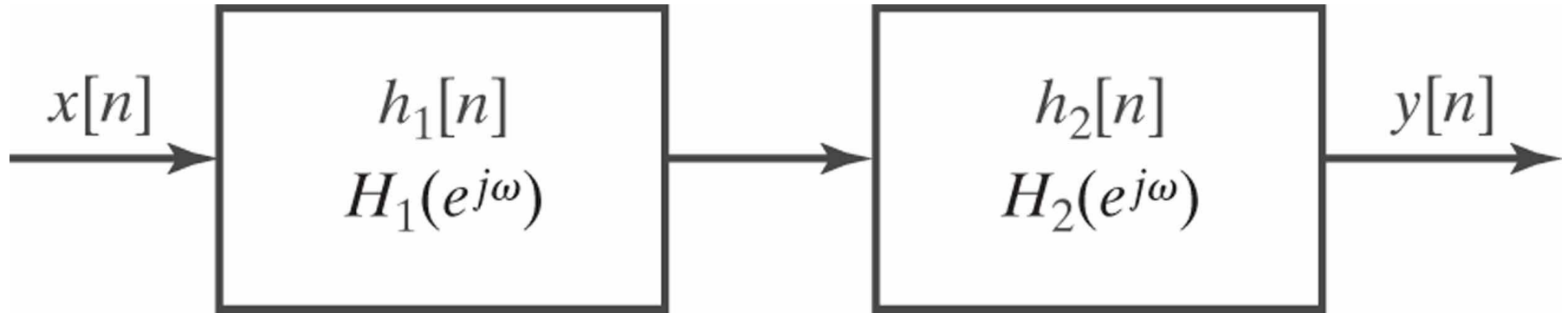


Figure P5.48

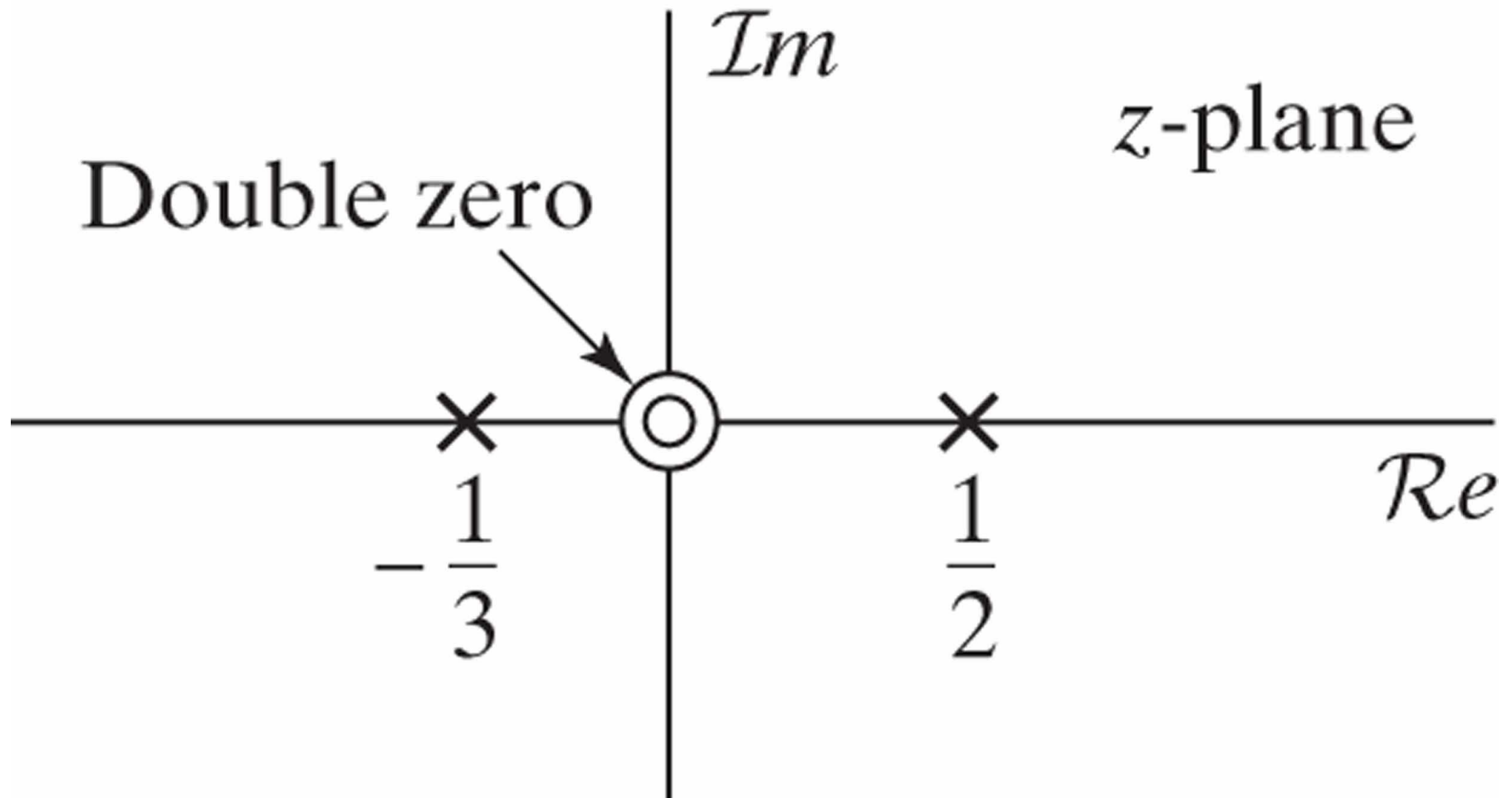


Figure P5.50

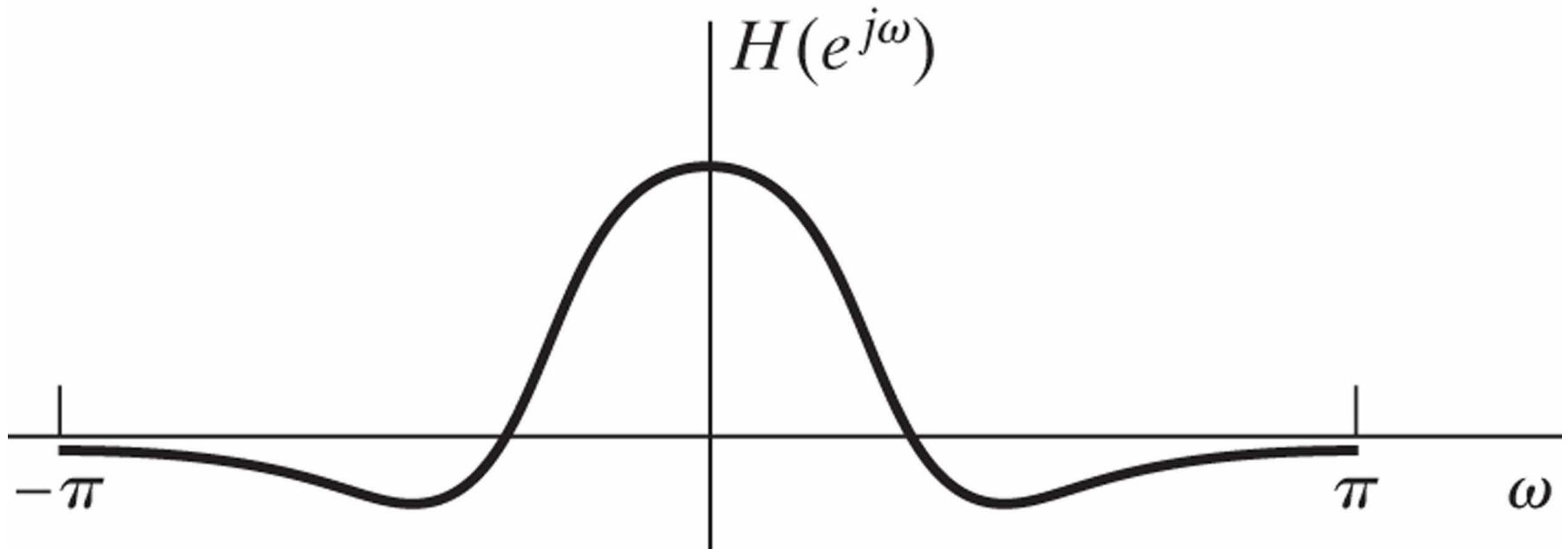


Figure P5.54

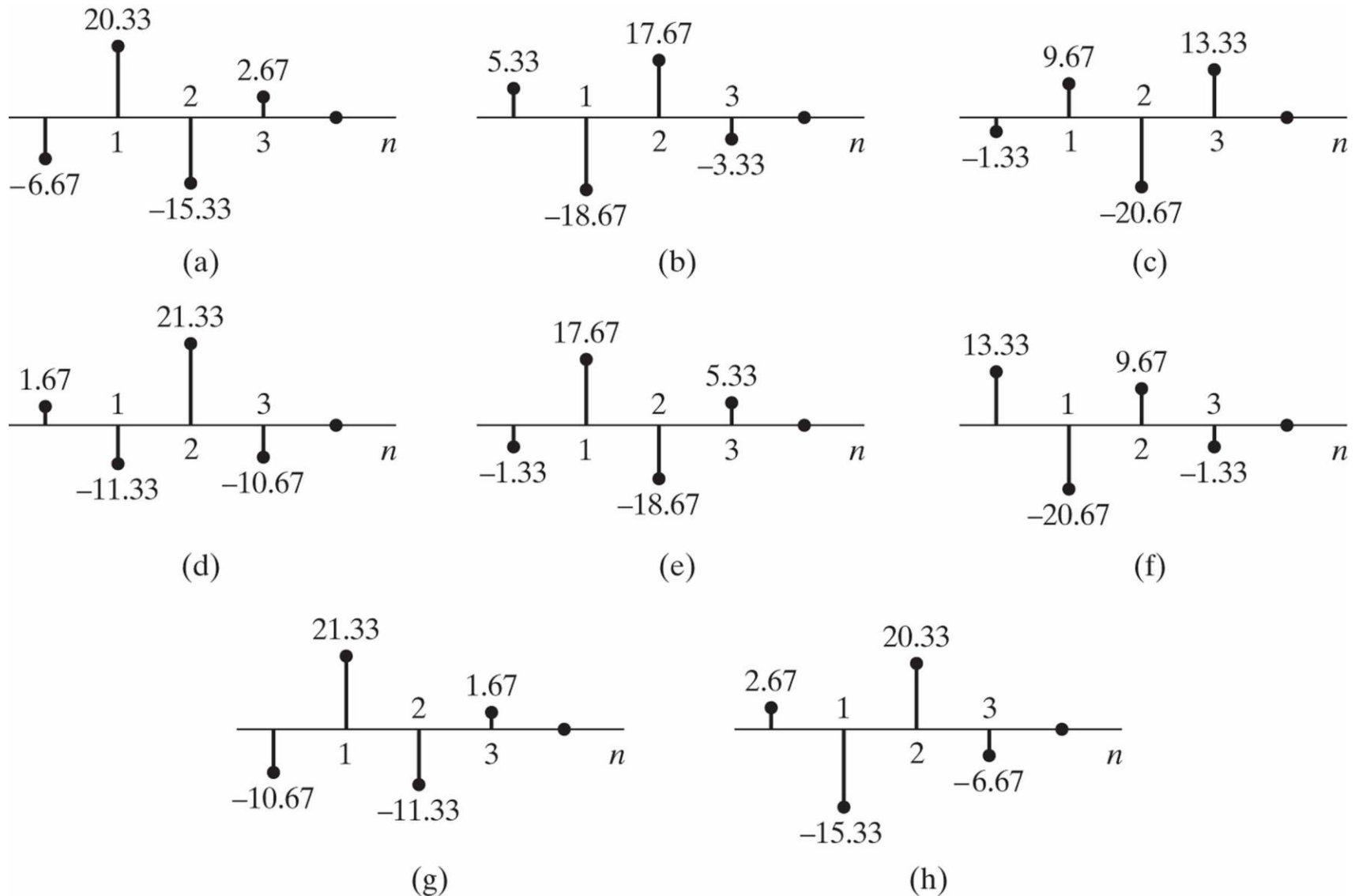
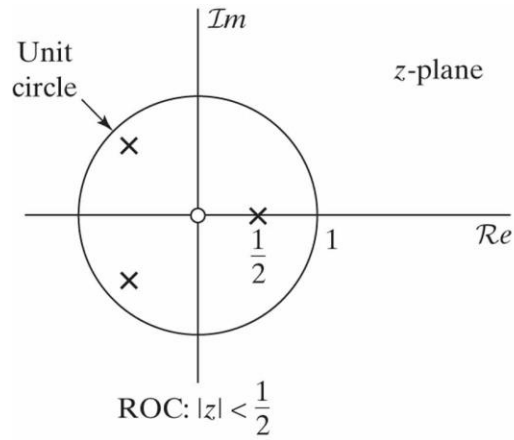
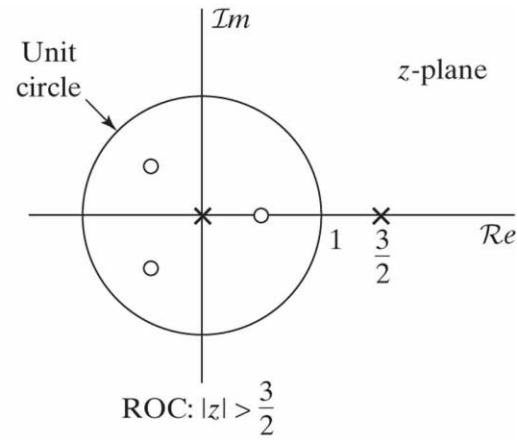


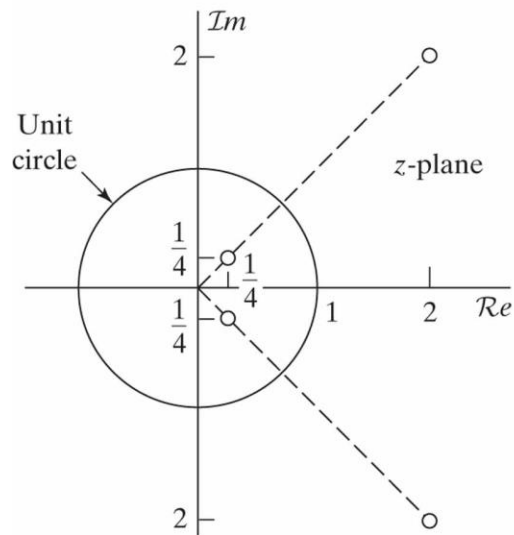
Figure P5.55



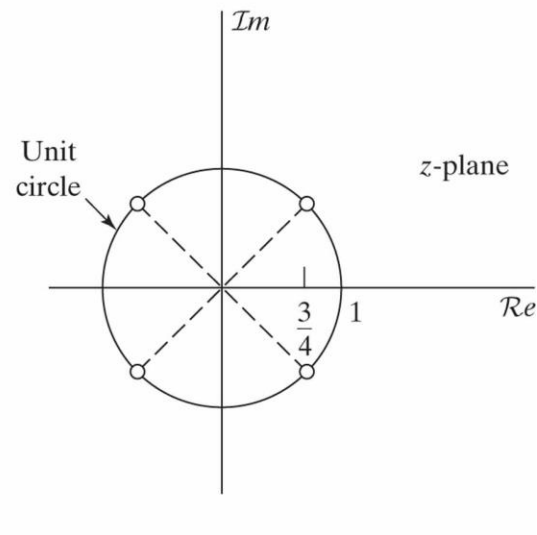
(a)



(b)



(c)



(d)

Figure P5.56

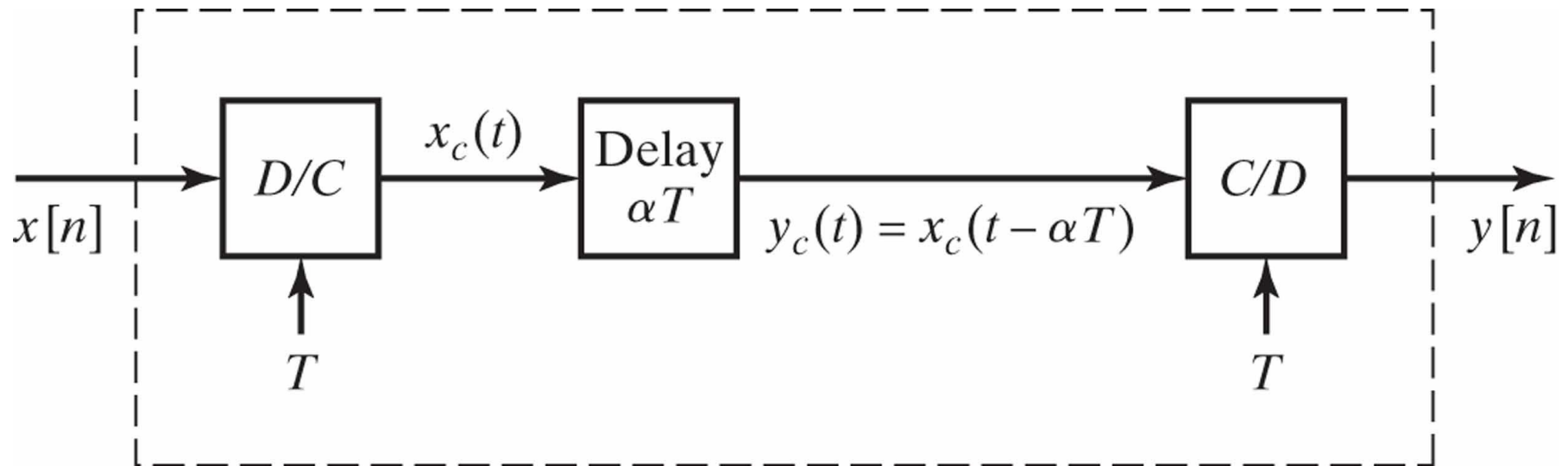


Figure P5.63-1

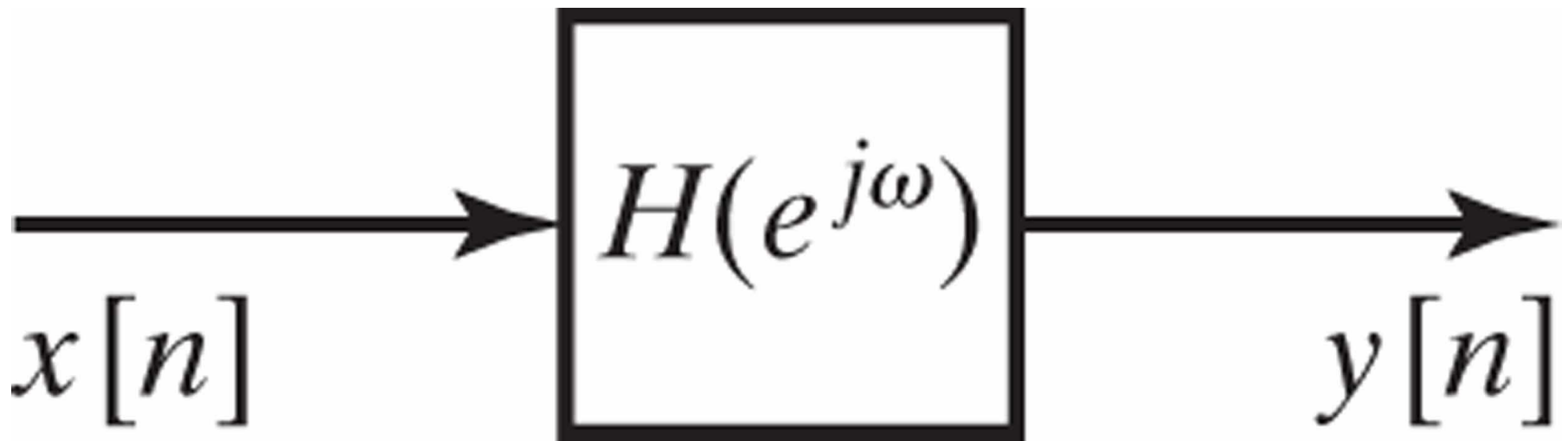


Figure P5.63-2

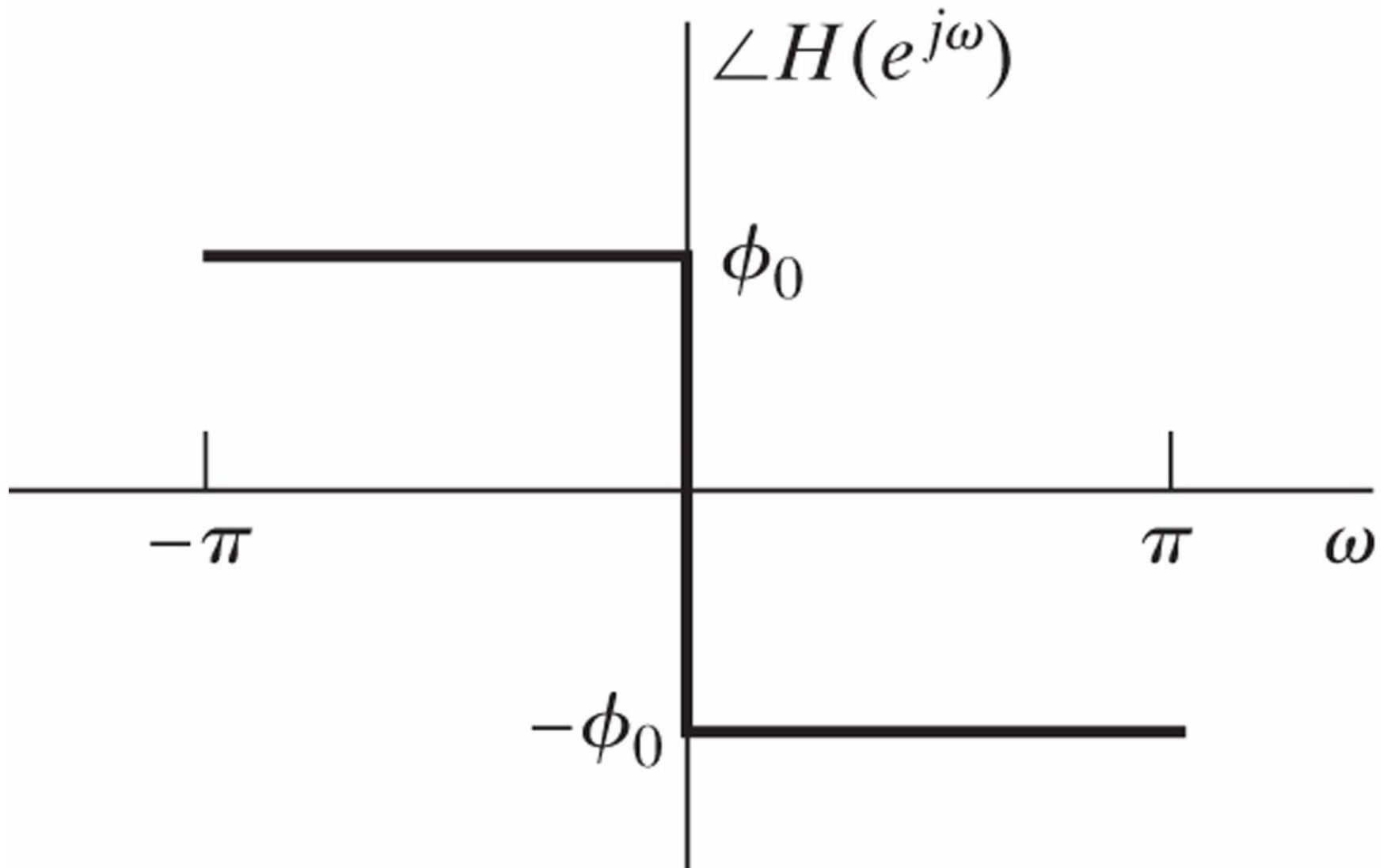


Figure P5.63-3

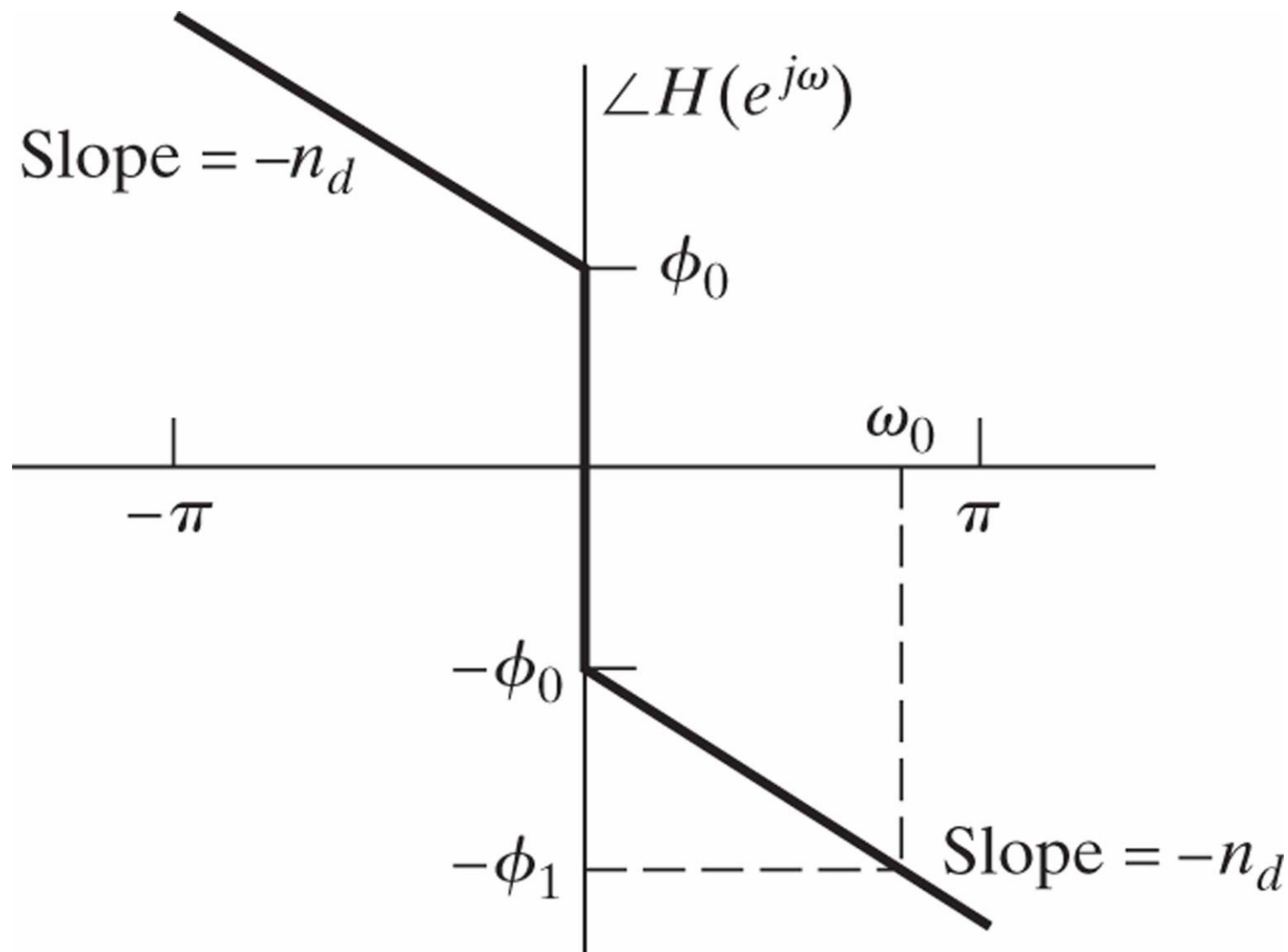


Figure P5.65-1

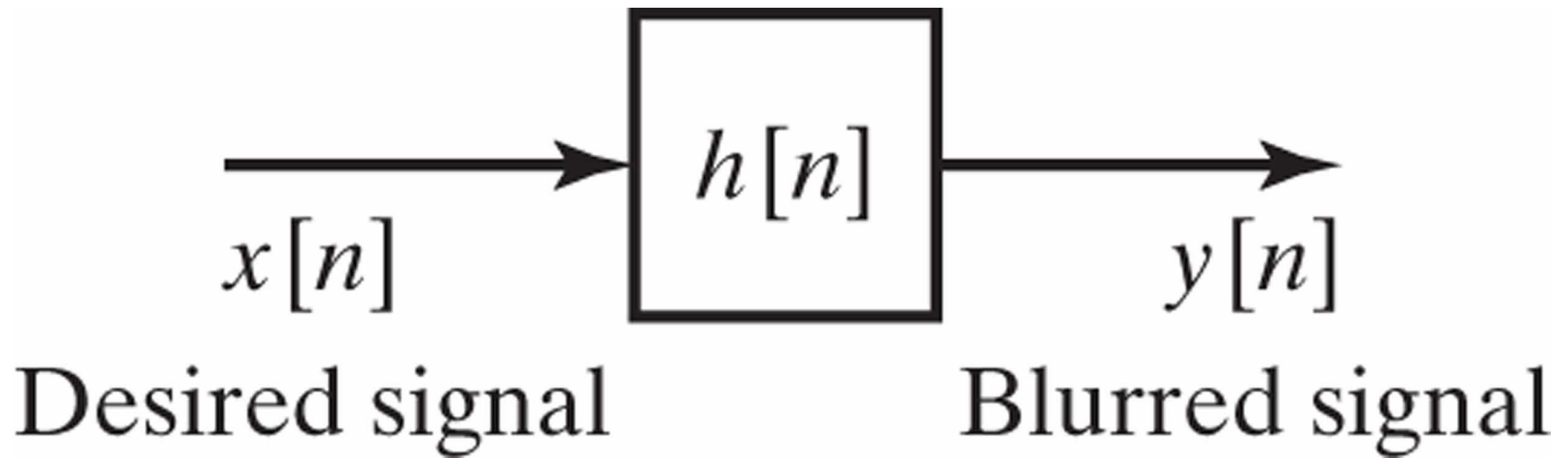


Figure P5.65-2

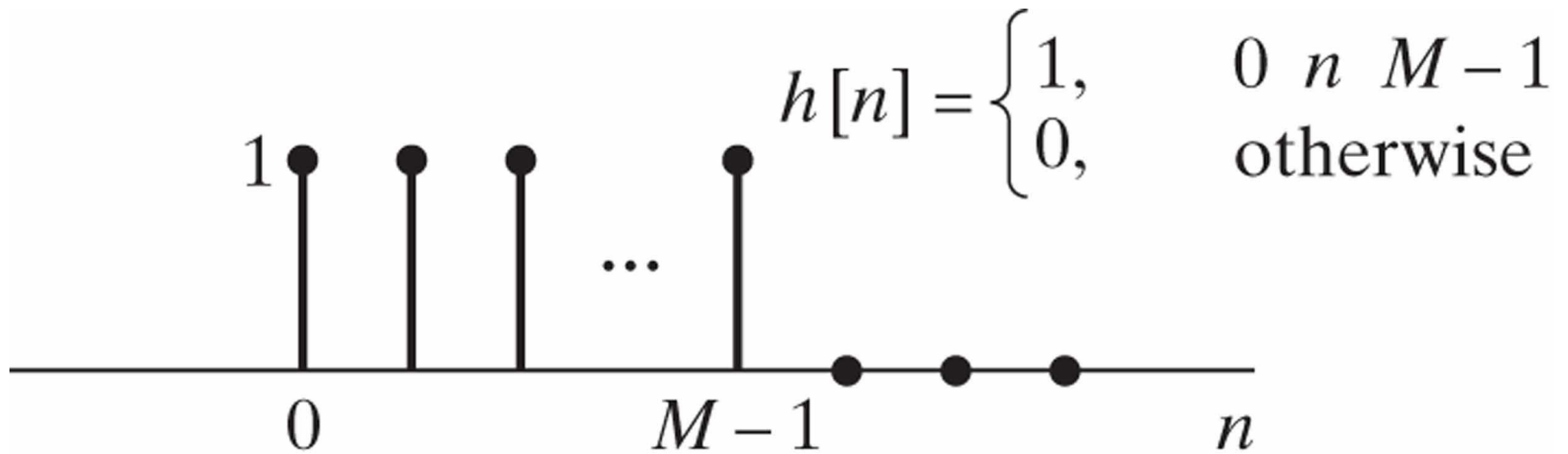


Figure P5.65-3

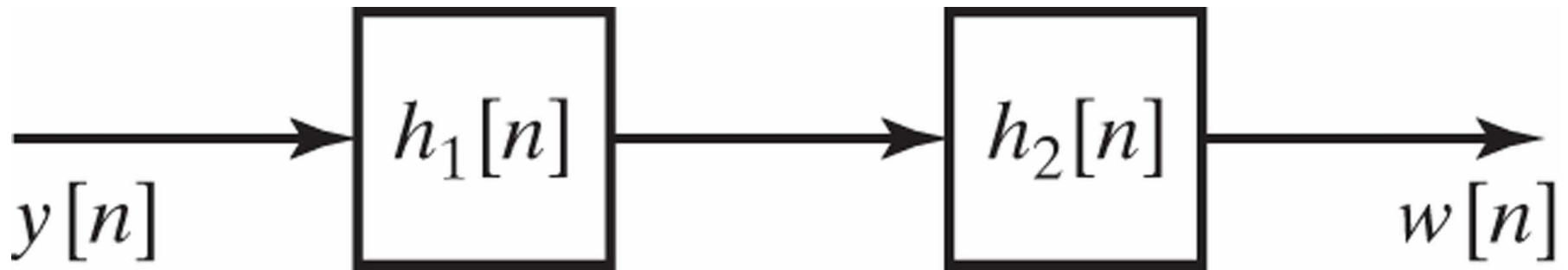
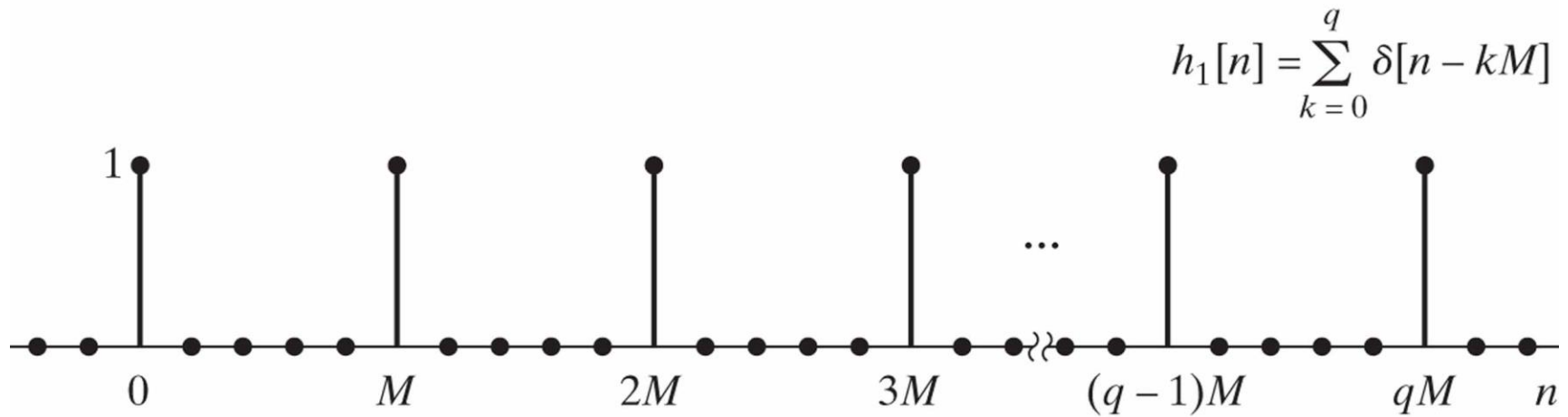


Figure P5.65-4



$$h_2[n] = \delta[n] - \delta[n - 1]$$

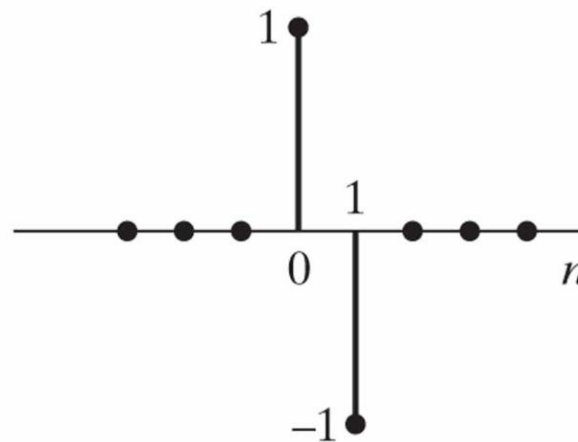


Figure P5.70

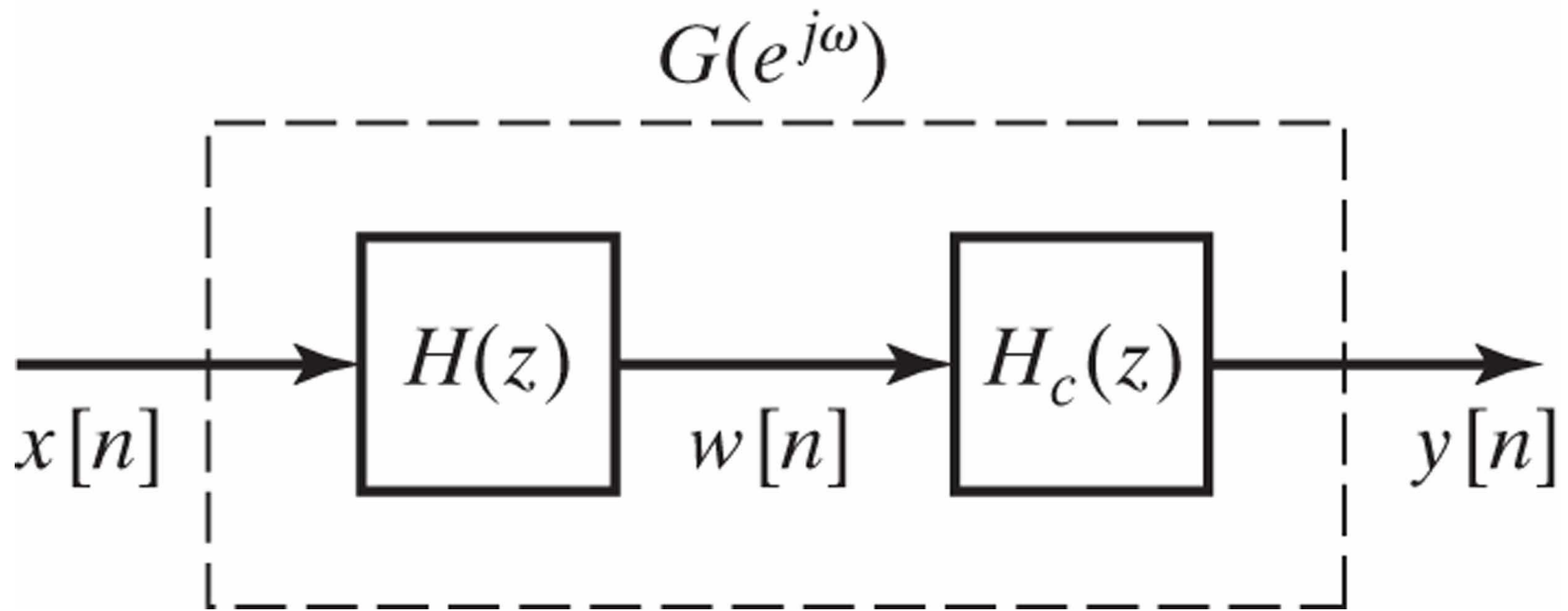
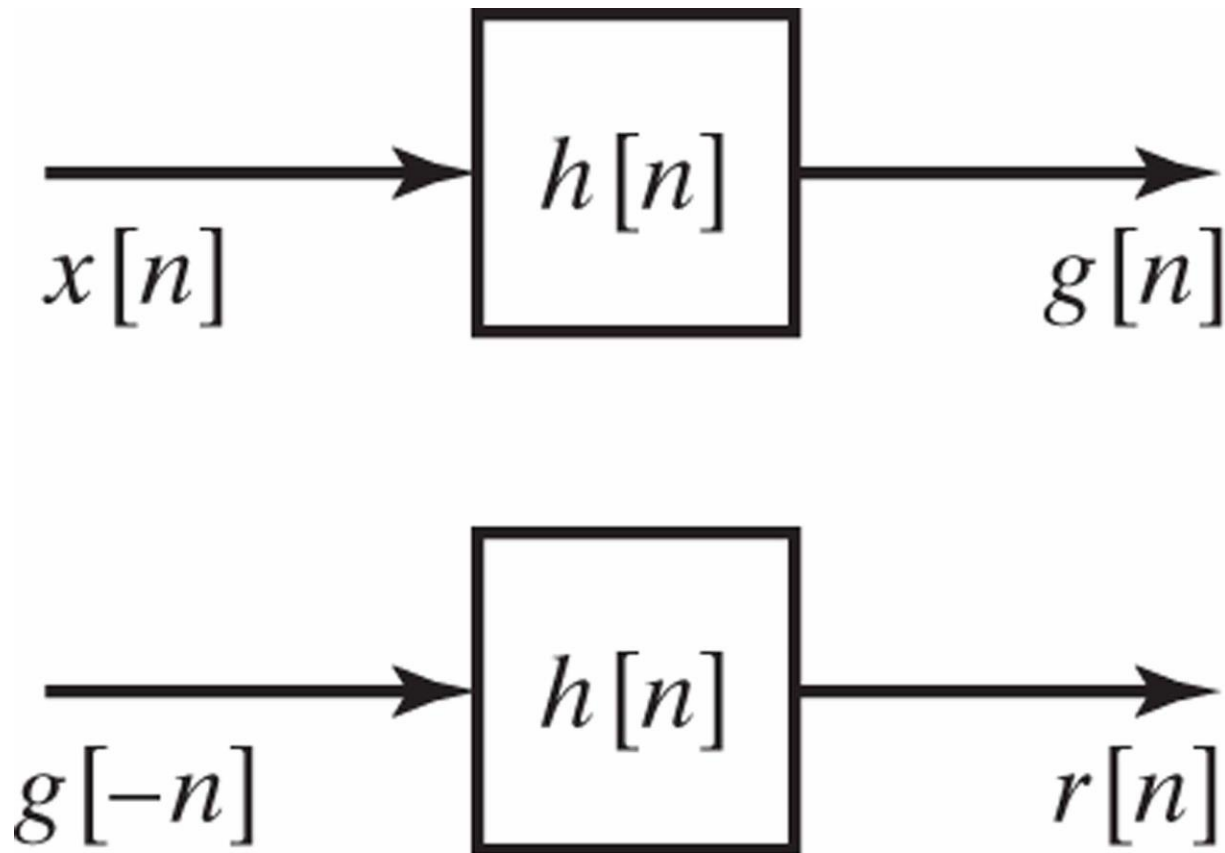
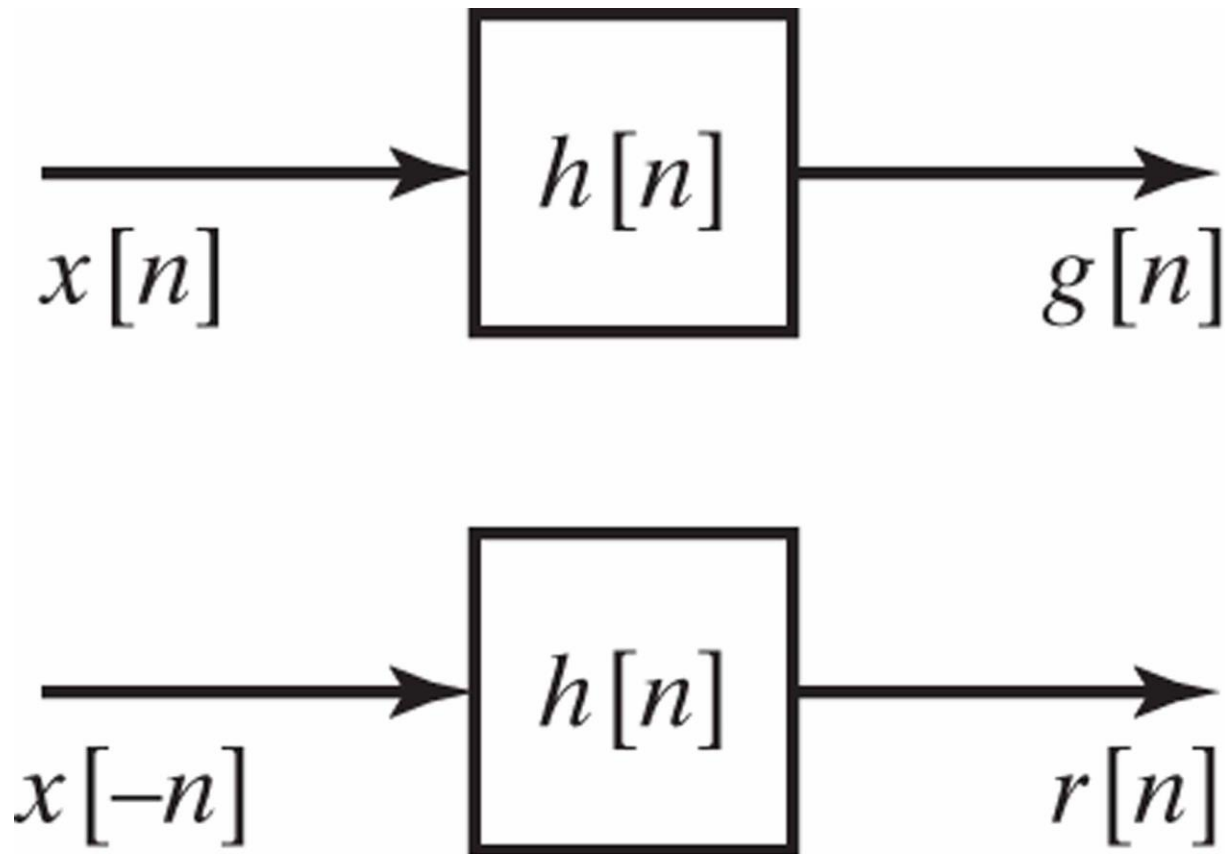


Figure P5.74-1



$$s[n] = r[-n]$$

Figure P5.74-2



$$y[n] = g[n] + r[-n]$$

Figure P5.74-3

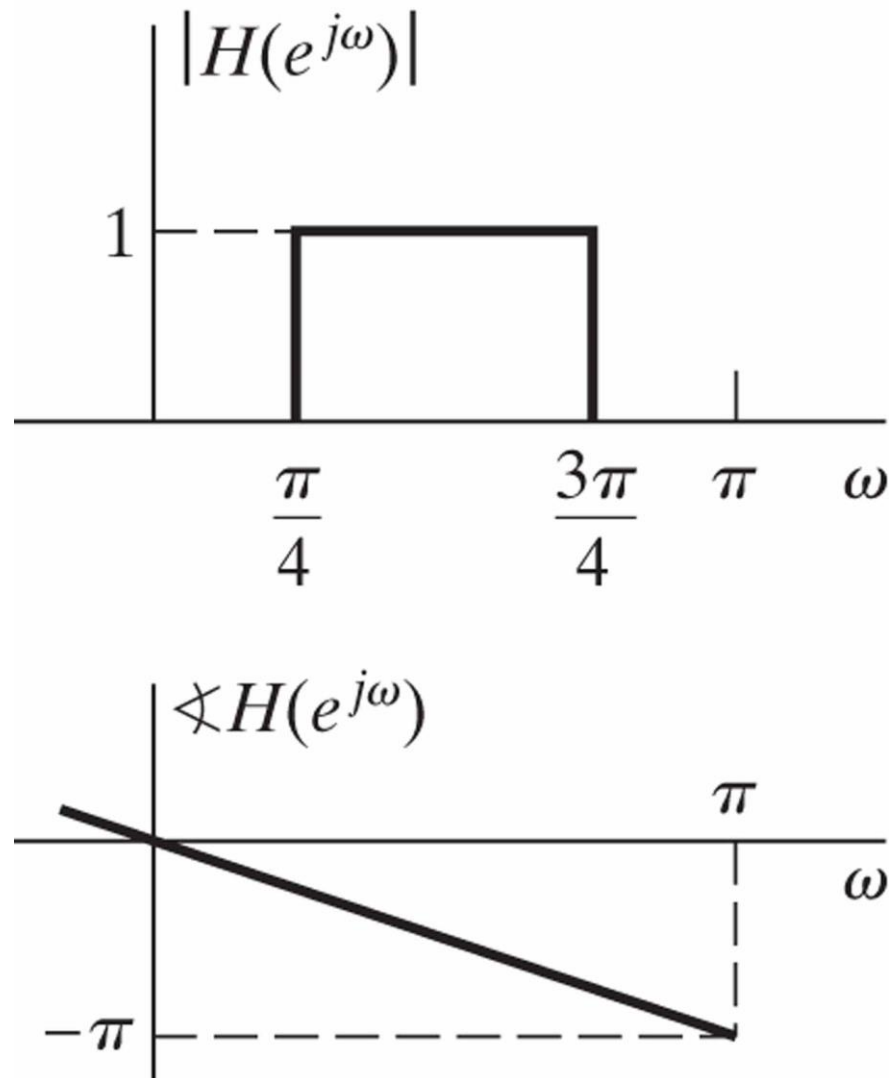


Figure P5.76

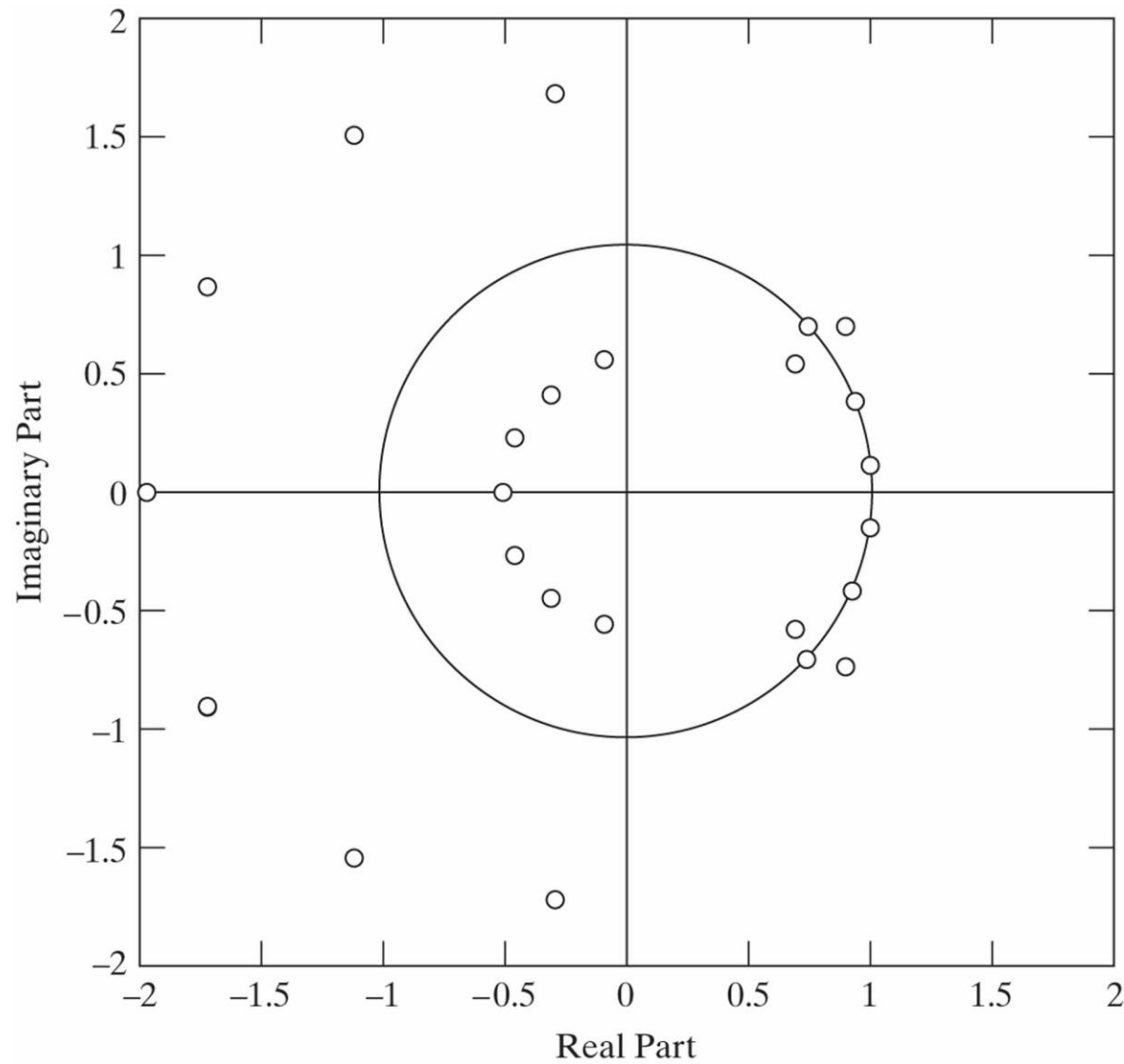


Figure P5.77

